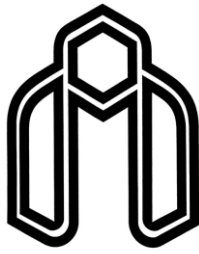


بِسْمِ اللّٰهِ الرَّحْمٰنِ الرَّحِيْمِ
الْحٰمِدُ لِلّٰهِ رَبِّ الْعٰالَمِينَ



دانشگاه صنعتی شهرود

دانشکده : علوم پایه

گروه: شیمی

گرایش شیمی تجزیه

پیش تغليظ و اندازه گيري پيوسته مقادير کم کادميوم (II) به روش اسپکترومتری جذب اتمی

دانشجو: سمية طالب زاده فاروجی

استاد راهنما:

دکتر منصور عرب چم جنگلی

استاد مشاور:

دکتر ناصر گودرزی

پایان نامه ارشد جهت اخذ درجه کارشناسی ارشد

۱۳۸۷ بهمن

دانشجو تایید می نماید که مطالب مندرج در این پایان نامه (رساله) نتیجه تحقیقات خودش می باشد و در صورت استفاده از نتایج دیگران مرجع آنرا ذکر نموده است.

کلیه حقوق مادی مرتبط از نتایج مطالعات ، آزمایشات و نوآوری ناشی از تحقیق موضوع این پایان نامه (رساله) متعلق به دانشگاه صنعتی شاهرود می باشد.

۱۳۸۷ بهمن

سپاسگزاری:

سپاس بی کران خداوند یکتا را که باع وجود ما را به ضیاء دنایی و پرتو روشنایی بخش آگاهی، زینت و طراوت بخشد.

خداوند متعال را شاکرم که با لطف و عنایات بی پایان خویش تحمل سختیها و مرارتها را در مسیر تحقیق برایم آسان ساخت و امید به موفقیت را در من زنده نگه داشت و انجام این تحقیق را برایم ممکن ساخت.

من در نوشتتن این اثر تحقیقی ، مدیون همه آموزگاران، دبیران و استادان بزرگواری هستم که در مقاطع مختلف تحصیلی از خرمن دانش ایشان خوشه چینی کردم و بیش از همه بر خود لازم می دانم مراتب سپاس و قدردانی خویش را از خدمات استاد گرانقدرم جناب آقای دکتر منصور عرب چم جنگلی ابراز دارم که از ابتدا تا انتهای این پژوهش همواره مرا با راهنماییهای ارزشمند خود هدایت نمودند.

از جناب آقای دکتر ناصر گودرزی بخاطر کمکهایشان در امر مشاوره پایان نامه تشکر می نمایم. از جناب آقای دکتر قدملی باقریان دهقی و جناب آقای دکتر بهرام بهرامیان که زحمت داوری و بازخوانی این پایان نامه را تقبل فرمودند بی نهایت سپاسگزارم.

همچنین از خدمات کارشناسان محترم آزمایشگاه شیمی، آقایان وحید کلی، حسین قربانی و سرکار خانم برنجی تشکر می کنم. همچنین از دوستان عزیزم خانمها کثیری، نبی زاده، غیور، صدیقی، شیرپور، و سایر دوستان در گروه تجزیه کمال قدردانی را دارم.

پیش تغليظ و اندازه گيري پيوسته مقادير بسيار کم کادميوم به روش اسپکترومتری

جذب اتمی

چکیده:

در اين پايان نامه يك روش ساده و حساس برای پیش تغليظ بر-خط و اندازه گيري مقادير بسيار کم کادميوم (II) با استفاده از روش تزريق در جريان پيوسته کوپل شده با اسپکترومتری جذب اتمی شuele ارائه شده است. ستون پر شده با پلی استيرن کلرومتيله اصلاح شده با N,N-بيس (نفتيليدين ايمينو) دى اتيلن ترى آمين (PS-NAPdien) برای پیش تغليظ بر- خط کادميوم (II) در نمونه هاي با محيط بافری (pH=7/0)، مورد استفاده قرار گرفت. شويش کادميوم بازداری شده در ستون بوسيله نيتريک اسيد ۱/۰ مولار صورت گرفت. به منظور بررسی پیش تغليظ کمي و اندازه گيري کادميوم (II) متغيرهای شيميائي و دستگاهی موثر در سيستم طراحی شده بهينه سازی شدند. تحت شرایط بهينه، منحنی کالibrاسيون در ناحيه غلظتی ۳۰/۰-۱۰۰ ميكروگرم بر لیتر خطی است. مقدار حد تشخيص برای پیش تغليظ ۱۰ ميلی لیتر، از نمونه ۲۵/۰ ميكروگرم بر لیتر به دست آمد. فاكتور پیش تغليظ روش در حجم پیش تغليظ ۱۰ ميلی لیتر، ۵۰ می باشد. انحراف استاندارد نسبی برای ۷ اندازه گيري تكراري کادميوم (II) در سطح غلظتی ۲۰۰، ۲۰/۰، ۵/۰، ۱۰/۰ و ۲۰/۰ ميكروگرم بر لیتر، به ترتيب، ۵/۰٪، ۴/۰٪، ۳/۰٪ و ۲/۰٪ است. تأثير ساير گونه هاي مزاحم موجود در بيشتر نمونه هاي حقيقي مورد بررسی قرار گرفت. صحت روش پيشنهاد شده بوسيله آناليزنمونه هاي آبی مختلف مورد بررسی قرار گرفت.

لغات کليدي: اسپکترومتری جذب اتمی، پیش تغليظ بر- خط، پلی استيرن، کادميوم(II).

فهرست

فصل اول

مقدمه

۱	-۱- کادمیوم
۱	-۲- خواص فیزیکی و شیمیایی کادمیوم
۲	-۳- کاربرد های کادمیوم
۳	-۴- ثرات کادمیوم بر روی انسان
۴	-۵- اثرات زیست محیطی کادمیوم
۱	-۶- مروری بر روش‌های اندازه گیری کادمیوم به کمک تکنیک پیش تغليظ و اسپکترومتری جذب
۶	اتمی شعله

فصل دوم

تئوری

۱۹	-۱- استخراج فاز جامد (SPE)
۲۰	-۱-۱- معرفی روش SPE
۲۲	-۲-۱- بازداری عناصر در سطح غلظتی بسیار پایین بر روی جاذب
۲۲	-۱-۲- جذب
۲۲	-۲-۱- کلیت شدن
۲۴	-۳-۱- شویش عناصر از سطح جاذب
۲۴	-۴-۱- انواع فازهای جامد
۲۵	-۱-۴-۱- میکروستون ها
۲۶	-۲-۴-۱- کارتریج ها و لوله های سرنگی مصرفی
۲۶	-۳-۴-۱- دیسکها
۲۷	-۵-۱- مزایای SPE
۲۷	-۱-۵-۱- پیش تغليظ
۲۸	-۲-۵-۱- نگه داری و ذخیره سازی گونه ها
۲۹	-۳-۵-۱- گرینش پذیری بالا
۲۹	-۴-۵-۱- اتماسیون و امکان اتصال بر خط به تکنیک های تجزیه ای
۳۰	-۶-۱- اتصال بر خط به اسپکترومتری جذب اتمی
۳۱	-۲- آنالیز با تزریق در جریان (FIA)

۳۱	۱-۲-۲- تاریخچه
۳۲	۲-۲-۲- دستگاهوری
۳۳	۳-۲-۲- اجزای اساسی در سیستم FIA
۳۳	۱-۳-۲-۲- وسایل انتقال دهنده نمونه و واکنشگرها
۳۵	۲-۳-۲-۲- مارپیچ واکنش
۳۵	۳-۳-۲-۲- سیستمهای تزریق نمونه
۳۶	۴-۳-۲-۲- آشکار سازها
۳۶	۴-۲-۲- وسیله‌ای برای انتقال دقیق و تکرارپذیر نمونه FIA
۳۸	۵-۳-۲- روش پیش تغليظ بر - خط نمونه به روش FIA
۴۱	۳-۲- طیف جذب اتمی
۴۱	۱-۳-۲- تاریخچه طیف سنجی جذب اتمی
۴۱	۲-۳-۲- دستگاهوری جذب اتمی
۴۲	۳-۳-۲- منابع تابش اولیه
۴۳	۴-۳-۲- اتم سازها در جذب اتمی
۴۴	۱-۴-۳-۲- اتم سازهای شعله ای
۴۵	۲-۴-۳-۲- مه پاش
۴۶	۳-۴-۳-۲- مه پاش بادی
۴۶	۵-۳-۲- فرآیندهای لازم برای تشکیل گونه های اتمی
۴۷	۶-۳-۲- اصول اندازه گیری در اسپکتروسکوپی جذب اتمی

فصل سوم

تجربی

۴۹	پیش تغليظ و اندازه گیری پيوسته مقادير بسيار کم کادميوم به روش جذب اتمي
۴۹	۳-۱- مواد شيميايی و محلول هاي مورد استفاده و طرز تهيه اى آنها
۵۰	۳-۲- تهيه ليگاند N,N-بيس (نفتيليدن ايمينو) دى اتيلن ترى آمين
۵۰	۳-۳- واکنش ليگاند N,N-بيس (نفتيليدن ايمينو) دى اتيلن ترى آمين با پلی استيرن
۵۳	۳-۴- تهيه ستون پیش تغليظ

۳-۵	- وسایل و دستگاه های لازم	۵۳
۳-۶	- طراحی سیستم پیش تغليظ جريان پيوسته	۵۴
۳-۷	- روش بهينه سازی عوامل مؤثر بر سیستم	۵۶
۳-۸-۱	- بررسی و بهینه سازی pH محیط	۵۷
۳-۸-۲	- بررسی و بهینه سازی حجم بافر	۵۸
۳-۸-۳	- بررسی و بهینه سازی نوع شويinde	۵۹
۳-۸-۴	- بررسی و بهینه سازی غلظت شويinde	۶۰
۳-۸-۵	- بررسی و بهینه سازی سرعت جريان نمونه	۶۱
۳-۸-۶	- بررسی و بهینه سازی سرعت جريان شويinde	۶۳
۳-۸-۷	- بررسی و بهینه سازی حجم پیش تغليظ	۶۴
۳-۸-۸	- بررسی و بهینه سازی طول ستون (مواد پرکننده ستون)	۶۶
۳-۸-۹	- بررسی قدرت یونی (اثر نمک)	۶۷
۳-۸-۱۰	- شرایط بهینه	۶۹
۳-۸-۱۱	- کالibrاسيون	۶۹
۳-۱۰	- دقت و صحت روش	۷۱
۳-۱۱	- حد تشخيص روش	۷۲
۳-۱۲	- بررسی اثر مزاحمت یونها	۷۳
۳-۱۳	- فاكتور پیش تغليظ	۷۴
۳-۱۴	- درصد بازيابي روش	۷۶
۳-۱۵	- بررسی ظرفيت ستون	۷۷
۳-۱۶	- سرعت نمونه گيري، ضريب مصرف و غلظت موثرروش	۷۸
۳-۱۷	- اندازه گيري کادميوم در نمونه هاي سنتزى	۷۸

فصل چهارم

بحث و نتیجه گيري

۴-۱	- سیستم شیمیایی مورد استفاده	۸۰
۴-۲	- بهينه سازی متغير های تجربی	۸۱
۴-۳	- ارقام شايستگی روش	۸۵
۴-۴	- مقايسه روش با ساير روشهاي انجام شده	۸۶
۴-۵	- آينده نگري	۸۸

فصل اول

مقدمہ

۱-۱- کادمیوم

کادمیوم عنصری فلزی و سمی است که یکی از اجزای موجود در پوسته زمین می باشد. این عنصر اولین بار در آلمان و در سال ۱۸۱۷ توسط فردریش استرومیر^۱ کشف شد و نام آن از نام لاتین کادمیا^۲ مشتق شده است . کادمیوم موجود در طبیعت حاصل فرسایش و ساینده‌گی صخره ها و یا وقایع نادری مثل فوران آتشفشارهاست. جدول (۱-۱) میزان کادمیوم را به طور طبیعی در هوا ، آب و پوسته زمین نشان می دهد [۱].

جدول (۱-۱) - میزان کادمیوم در محیط زیست

اتمسفر	۰/۵-۰/۱ نانوگرم بر متر مکعب
پوسته زمین	۰/۱-۰/۰ میکروگرم بر گرم
رسوب کف دریا	۱ میکروگرم بر گرم
آب دریا	۰/۱ میکروگرم بر لیتر

۱-۲- خواص فیزیکی و شیمیایی کادمیوم

کادمیوم در گروه IIb جدول تناوبی بین عناصر روی و جیوه قرار داشته و از نظر خواص شیمیایی عمدتا خواصی بین جیوه و روی از خود نشان می دهد. کادمیوم مانند روی در اثر هوای مرتبط شفافیت خود را از دست می دهد. این عنصر به وسیله ی گاز آمونیاک و دیواکسید گوگرد خورد دو می شود و به آسانی تحت تاثیر اغلب اسیدها قرار می گیرد. کادمیوم در کلیه ترکیبات پایدار خود دو ظرفیتی بوده و در این حالت به رنگ نقره ای براق با ته رنگی از آبی که کمی هم خاصیتی مفتول شدن را دارد مشاهده می شود.

این عنصر بیشتر در سنگ معدن روی یافت می شود و از این رو در بسیاری از جهات شبیه روی می باشد ولی نسبت به روی نرمتر بوده و دارای خاصیت چکش خواری بیشتری است. کادمیوم دارای

^۱ - Friedrich Stromeyer

^۲ - Cadmia

هشت ایزوتوب طبیعی و بسیاری رادیو ایزوتوبهای مصنوعی است که تا کنون سنتز شده است [۲].

جدول (۱-۲) خواص فیزیکی و شیمیایی کادمیوم نشان می دهد.

جدول (۱-۲) - ویژگی های فیزیکی و شیمیایی کادمیوم

نشانه شیمیایی	Cd
شكل	فلزی نرم و سفید رنگ
ویژگیها	چکش خوار ، مفتول شونده ، انعطاف پذیر
نقطه ذوب	۳۲۱ درجه سانتی گراد
نقطه جوش	۷۶۷ درجه سانتی گراد
چگالی	۸/۶۴ گرم بر سانتیمتر مکعب
عدد اتمی	۴۸
وزن اتمی	۱۱۲/۴۱

۱-۳-۱- کاربرد های کادمیوم

تقریبا سه چهارم کادمیوم مصرفی در باطربهای، به ویژه باطربهای نیکل – کادمیوم استفاده می گردد و بیشتر یک چهارم باقی مانده عمدتا جهت رنگها، پوششها، آبکاری و بعنوان مواد تثبیت کننده در پلاستیکها بکار می رود. برخی از کاربرد های دیگر کادمیوم به صورت زیر می باشد:

۱- در بعضی از آلیاژهای زود ذوب به کار می رود.

۲- به علت ضریب اصطکاک پائین و مقاومت بسیار خوب در برابر خستگی ، در آلیاژهای بلبرینگ از آن استفاده می شود.

۳- ۶۰٪ از کادمیوم یافت شده در آبکاری الکتریکی به کار می رود.

۴- انواع بسیاری از لحیم ها حاوی این فلز هستند.

۵- ترکیبات حاوی کادمیوم در مواد درخشان تلویزیونهای سیاه و سفید و نیز در مواد درخشان آبی و سبز در لامپ تصویر تلویزیونهای رنگی بکار می روند.

۶- کادمیوم نمکهای مختلفی را بوجود می آورد که معمول ترین آنها سولفات کادمیوم است. از سولفید آن بعنوان رنگدانه زرد استفاده می شود.

۷- در برخی نیمه هادی ها کاربرد دارد.

۸- بعضی از ترکیبات کادمیوم بعنوان ثبیت کننده در پلی وینیل کلراید^۳ بکار می رود[۲].

۱-۴-۱ اثرات کادمیوم بر روی انسان

کادمیوم در پوسته زمین و عموماً در ترکیب با روی یافت می شود. به علاوه کادمیوم در صنعت به عنوان محصول فرعی و اجتناب ناپذیر دراستخراج روی، سرب و مس می باشد.

کادمیوم عمدتاً از راه غذا وارد بدن انسان می شود. غذاهایی که میزان کادمیوم موجود در آنها بالاست، باعث می شوند که غلظت کادمیوم در بدن انسان به شدت افزایش یابد. از جمله این غذاها،

چگر، قارچ، صدف، صدفهای رودخانه ای، پودر کاکائو و جلبک دریایی خشک شده هستند.

سیگار کشیدن هم باعث می شود که میزان کادمیوم در بدن انسان افزایش می یابد. دود توتون، کادمیوم را وارد ریه می کند. خون این کادمیوم را در بقیه بدن به گردش در می آورد و اثرات آن را در بدن افزایش می دهد.

در سایر موارد افزایش میزان کادمیوم در افرادی مشاهده می شود که در نزدیکی محل دفع زباله های خطرناک و یا در نزدیکی کارخانه هایی زندگی می کنند که کادمیوم را وارد هوا می کنند.

در افرادی که در صنعت تصفیه فلز کار می کنند نیز افزایش میزان کادمیوم مشاهده می شود. تنفس کادمیوم به ریه آسیب شدیدی وارد می کند و حتی ممکن است باعث مرگ شود.

کادمیوم در ابتدا توسط خون به کبد می رود. در کبد کادمیوم به پروتئین ها متصل می شود و کمپلکسی را تشکیل می دهد که به کلیه می رود. کادمیوم در کلیه تجمع یافته و باعث اختلال فرآیند تصفیه می شود. این امر باعث دفع پروتئینهای ضروری و قند از بدن می شود و به کلیه آسیب

^۳ - Polyvinyl chloride

می رساند. دفع کادمیوم تجمع یافته در کلیه مدت زیادی طول می کشد. عوارض دیگری که به وسیله کادمیوم ایجاد می شود عبارتند از:

۱- اسهال، شکم درد و استفراغ شدید

۲- شکستگی استخوان

۳- عقیم شدن و نازایی

۴- آسیب سیستم عصبی مرکزی

۵- آسیب سیستم ایمنی

۶- نا هنجاریهای روانی

۷- آسیب احتمالی DNA یا سرطان [۲].

۱-۵- اثرات زیست محیطی کادمیوم

به طور طبیعی سالانه مقدار بسیار زیادی کادمیوم، حدود ۲۵۰۰۰ تن در سال، وارد محیط زیست می شود. حدود نیمی از این کادمیوم از طریق هوازدگی سنگها وارد رودخانه ها می شود و بخشی از کادمیوم از طریق آتش سوزیهای جنگل و آتشفسانها وارد هوا می شود. بقیه کادمیوم از طریق فعالیتهای بشری مانند کارهای صنعتی وارد محیط زیست می شود.

کادمیوم موجود در شیرابه زباله های صنعتی وارد خاک می شود. عامل ایجاد این شیرابه ها، تولید روی، کانسار فسفات و کود بیوشیمیایی است. شیرابه های حاوی کادمیوم از طریق سوزاندن زباله و سوختهای فسیلی وارد هوا می شود. به خاطر قوانین جدید، در حال حاضر تنها مقدار اندکی کادمیوم از طریق زباله های خانگی یا صنعتی وارد آب می شود.

یکی دیگر از منابع اصلی منتشر کننده کادمیوم تولید کودهای فسفاته مصنوعی است. بعد از این که این کود در مزارع مورد استفاده قرار گرفت، بخشی از کادمیوم وارد خاک می شود و بقیه آن، در حین انهدام زباله های حاصل از تولید کود توسط شرکتهای تولید کننده، وارد آبهای سطحی می شود.

وقتی کادمیوم توسط گل و لای جذب شود، می‌تواند مسافت زیادی را طی کند. این گل و لای حاوی کادمیوم آبهای سطحی را هم مانند خاک آلوده می‌کنند. کادمیوم جذب مواد آلی موجود در خاک می‌شود. وقتی در خاک کادمیوم وجود داشته باشد، بسیار خطرناک است و جذب آن از طریق غذا افزایش می‌یابد. در خاکهای اسیدی، گیاهان کادمیوم بیشتری را جذب می‌کنند. در نتیجه زندگی و بقای جانورانی که از این گیاهان تغذیه می‌کنند به خطر می‌افتد. به همین علت میزان کادمیوم در کلیه گاوها افزایش می‌یابد.

کرمهای خاکی و دیگر ارگانیسمهای خاک به سم کادمیوم بسیار حساسند. غلظت بسیار کم این ماده هم آنها را از بین می‌برد و در نتیجه ساختار خاک تغییر می‌کند. هنگامی که غلظت کادمیوم در خاک بالا باشد، فرآیندهایی که میکرووارگانیسمها در خاک انجام می‌هند، مختل می‌شود و کل اکوسیستم خاک در معرض خطر قرار می‌گیرد.

در اکوسیستمهای آبی، کادمیوم در صدفهای رودخانه‌ای، صدفها، میگوها، خرچنگها و ماهی‌ها تجمع می‌یابد. حساسیت جانداران مختلف آبزی نسبت به کادمیوم متفاوت است. جانداران آب شور نسبت به سم کادمیوم مقاومتر از جانداران آب شیرین هستند. جانورانی که کادمیوم را می‌خورند یا می‌نوشند، دچار فشار خون بالا، بیماریهای کبد و صدمات مغزی و نخاعی می‌شوند [۲].

۱-۶- مروری بر روش‌های اندازه‌گیری کادمیوم به کمک تکنیک پیش تغليظ و

اسپکترومتری جذب اتمی شعله

استخراج فاز جامد^۴ (SPE)، به عنوان یک روش پیش تغليظ-جداسازی کوپل شده با تکنیک‌های مختلف اسپکترومتری اتمی شامل اسپکترومتری جذب اتمی شعله (FAAS) اسپکترومتری جذب اتمی با کوره الکتروترمال (ETAAS) [۳ - ۹]، پلاسمایی القایی جفت شده با اسپکترومتری نشری نوری (ICP-OES) [۱۰-۱۴]، و پلاسمای القایی جفت شده با اسپکترومتری جرمی (ICP-MS) [۱۵-۱۸]، کوپل شده و به صورت وسیعی در اندازه‌گیری عناصر سنگین از جمله کادمیوم در نمونه‌های مختلف آبی (آب شهر و دریا، پساب‌های صنعتی)، خاک، غذا، دارو، رسوبات دریایی و نمونه‌های بیولوژیکی مورد استفاده قرار می‌گیرد. از میان تکنیک‌های جذب اتمی، اسپکترومتری جذب اتمی شعله بدلیل داشتن مزایایی نظیر امکان وارد سازی بالای نمونه، هزینه پایین، دقت و انتخاب پذیری بالا از روش‌های متداول در اندازه‌گیری این دسته از عناصر است. اما بواسطه میزان بسیار کم این عناصر و پیچیدگی بافت نمونه‌های حقیقی و محدودیتهای اسپکترومتری جذب اتمی شعله که حد تشخیص بالا و مزاحمت شیمیایی بافت نمونه می‌باشد مقادیر خیلی کم این عناصر با استفاده از این روش قابل تعیین نیستند. این مشکل با بکارگیری یک مرحله پیش تغليظ قابل حل است. زیرا در پیش تغليظ همزمان با جداسازی آنالیت از بافت نمونه غلظت آنالیت افزایش می‌یابد. روش‌های زیادی به صورت دستی^۵ یا بر-خط^۶ شامل همرسوبی، استخراج مایع-مایع، استخراج فاز جامد و استخراج نقطه ابری^۷ برای پیش تغليظ این عناصر بکار برده می‌شود. از میان این روش‌ها استخراج فاز جامد به دلیل داشتن مزایایی نظیر سادگی روش، گستره وسیع انتخاب فاز جامد، فاکتور پیش تغليظ بالا، زمان استخراج کوتاه، و توانایی جداسازی چند عنصری بیشتر مورد استفاده قرار می‌گیرند. مزیت مهم این

⁴ - Solid phase extraction

5 - Batch

3 - On – line

4 - Cloud point extraction

روش پیش تغليظ اين است که به آسانی می‌تواند با سیستم‌های تزریق پیوسته بکارگرفته شود و بنابراین از آن می‌توان در پیش تغليظ و اندازه گیری بر- خط عناصر استفاده کرد. امروزه یافتن مواد جدید به عنوان استخراج کننده فاز جامد به عنوان یک زمینه تحقیقاتی مهم در سیستم‌های پیش تغليظ مطرح می‌باشد.

با توجه به اينکه سیستم بکارگرفته شده در اين پروژه پیش تغليظ کادمیوم و اندازه گیری بر- خط آن با اسپکترومتری جذب اتمی شulle با استفاده از يك نوع جاذب جديد سنتزی می باشد، دراين قسمت توضیح مختصری درباره گزارش‌های موجود در اندازه گیری کادمیوم به روش پیش تغليظ بر- خط با FAAS ارائه می شود.

در سال ۱۹۹۱ فانگ^۸ و همکارانش برای اندازه گیری کادمیوم و مس در نمونه های آب دریا و آب شرب در مقادیر میکرو گرم بر لیتر از سیستم استخراج فاز جامد تزریق پیوسته با FAAS استفاده کردند. در فرایند پیش تغليظ عنصر بر روی سیلیکا با گروه عاملی اکتادسیل به صورت کمپلکس دی اتیل دی تیو کربامات در میکروستون با ظرفیت ۱۰۰ میکرولیتر در مدت ۲۰ دقیقه با سرعت جريان ۳/۳ میلی لیتر بر دقیقه تغليظ می شود. فاكتور پیش تغليظ در محدوده ۱۹ تا ۲۵ قرار دارد و فرکانس نمونه برداری ۱۲۰ نمونه بر ساعت به دست آمده است. مقدار RSD برای ۱۱ اندازه گیری تکراری و حد تشخیص کادمیوم به ترتیب ۱/۴٪ و ۰/۳۰٪ میکرو گرم بر لیتر و دامنه بازیابی ۱۰۲٪ - ۹۵٪ گزارش شده است [۱۹].

در سال ۱۹۹۹، علی^۹ و همکارانش برای پیش تغليظ کادمیوم از يك میکروستون پر شده توسط C با عامل کی لیت دهنده ۱۰،۱ - فانترولين^{۱۰} استفاده کردند. در شرایط بهینه $pH = 6/0 - 5/0$ زمان ثبیت ۳۰ ثانیه و زمان شویش ۱۵ ثانیه با ۱ تانول، مقادیر حد تشخیص، فاكتور غنی سازی و

¹ - Fang

² - Ali

³ - 1,10 -Phenanetroline

RSD برای کادمیوم به ترتیب ۰/۵۰ میکروگرم بر لیتر، ۳۲ و ۳/۰ گزارش شدند. در این روش فرکانس نمونه برداری ۹۰ نمونه بر ساعت است. این روش برای اندازه‌گیری کادمیوم در صفحه‌های دریایی و رودخانه‌ای و نمونه‌های برنج بکار گرفته شده است [۲۰].

در سال ۱۹۹۹، کارلوس بورن^{۱۱} و همکارانش با استفاده از ستون پر شده از سیلیکای پیوند شده با گروههای اکتا دسیل، پیش تغليظ فاز جامد و اندازه‌گیری بر خط کادمیوم با FAAS را گزارش دادند. در این گزارش بهینه سازی به روش چند متغیره انجام شده است. حد تشخیص روش ۷/۰ میکروگرم بر لیتر و فرکانس نمونه برداری روش ۴۰ نمونه در ساعت است. این روش برای اندازه‌گیری کادمیوم در نمونه‌های مختلف خون مورد استفاده قرار گرفته است [۲۱].

در سال ۲۰۰۰، لموس^{۱۲} و همکارانش از اسفنج پلی اورتان^{۱۳} اصلاح شده با ۲-بنزو لیدازو) - ۲-پارا-سرزول^{۱۴}(BTAC) به عنوان پرکننده ستون پیش تغليظ در استخراج فاز جامد استفاده کردند. در این گزارش محدوده خطی برای اندازه‌گیری کادمیوم با شوینده هیدروکلریک اسید ۰/۱۰ مولار، ۰/۱۴۰ - ۰/۳۰۰ میکروگرم بر لیتر بوده و pH مناسب در محدوده ۹/۰ - ۶/۵ = است. فاکتور پیش تغليظ و حد تشخیص روش به ترتیب ۴۱ و ۰/۲۷ میکروگرم بر لیتر به دست آمده است. این روش برای اندازه‌گیری کادمیوم در نمونه‌های بیولوژیکی مختلف استفاده شده است [۲۲].

در گزارش دیگری در سال ۲۰۰۰، ملو^{۱۵} و همکارانش با استفاده ستون پر شده با آمبرلیت XAD-۲^{۱۶} که با لیگاند ۲- (تیازو لیل آزو) - ۵- دی متیل آمین فنل^{۱۷} پیوند داده شده است عمل پیش تغليظ و اندازه‌گیری بر خط کادمیوم با FAAS را انجام داده اند. با استفاده از شوینده هیدروکلریک اسید ۰/۵ مولار، حد تشخیص روش در محدوده خطی ۰/۰۰ - ۲۰۰ میکروگرم بر لیتر کادمیوم، ۱/۲ میکروگرم بر لیتر به دست آمده است. فاکتور پیش تغليظ روش ۱۰۸ گزارش شده و

۱ - Carlose Bruhn

۱۲- Lemos

۱۳ - Polyurethane foam

۱۴ - 2-(2-Benzothiazolylazo)-2-p-cresol

۱۵- Melo

۱۶ - Amberlit XAD-2

۱۷ - 2-(2-Thiazolylazo)-5 dimethylaminephenol

فرکانس نمونه برداری آن ۴۰ نمونه در ساعت است. این روش برای اندازه‌گیری کادمیوم در نمونه‌های برنج و صدفهای دریایی مورد استفاده قرار گرفته است [۲۳].

در سال ۲۰۰۱ دی پنا^{۱۸} و همکارانش از پلی (اکتادسیل دی تاکونات) PDI-۱۸^{۱۹} (۱۸) اصلاح شده با آمونیوم پیروولیدین دی‌تیوکربامات^{۲۰} (ADPC) برای پیش تغليظ مقادير ناچيزکادميوم استفاده نموده اند. با استفاده از شوينده ايزوبوتيل متيل كتون^{۲۱} (IBMK) حد تشخيص و فاكتور پیش تغليظ به ترتيب ۵/۵۸ ميكروگرم بر ليترو ۱/۵ به دست آمده است. فرکانس نمونه برداری روش ۲۴ نمونه بر ساعت به دست آمده است. کادمیوم موجود در جانداران دریایی با اين روش اندازه‌گيری شد [۲۴].

در سال ۲۰۰۲ يبرا^{۲۲} و همکارانش با استفاده از ستون پر شده با آمبرليت XAD-۴ پيوند شده با عامل کمپلکس دهنده ۱-۲-پيريديل آزو-۲-نفتول^{۲۳} (PAN)، کادمیوم را پیش تغليظ نموده اند. از مخلوط اتانول و هيوروکلريك اسيد به عنوان شوينده استفاده شده است. فاكتور پیش تغليظ ۱۰۵۰ و حد تشخيص ۳/۸ نانوگرم بر ليتر را به دست آمده است. با اين سيسitem خطاب برای مقادير مختلف کادمیوم در محدوده غلظتی ۲۵/۰-۱۰۰ نانو گرم بر ليتر کادمیوم، ۴/۱٪ تا ۶/۵٪ گزارش شده است. فرکانس نمونه برداری روش ۷/۰ نمونه در ساعت است. اين روش بر روی نمونه‌های آب دريا از جمله آب دريای گاليسيا در اسپانيا مورد استفاده قرار گرفته است [۲۵].

در ۲۰۰۳ دگودوي^{۲۴} و همکارانش با استفاده از هيوميك اسيد^{۲۵} به عنوان پر کننده ستون پیش تغليظ، اندازه گيری کادمیوم را گزارش كرده اند. در اين روش فاكتور پیش تغليظ و حد تشخيص به ترتيب، ۴۶ و ۰/۸۰ ميكرو گرم بر ليتر بدست آمده است. فرکانس نمونه برداری اين روش در نمونه‌های مختلف آب، ۱۵ نمونه در ساعت است [۲۶].

¹⁸ - De pena

¹⁹ - Poly(octadecyl ditaconate)

²⁰ - Amoniumpyrrolidinedithiocarbamate

²¹ - Methylisobutylketone

²² - Yebra

²³ - 1-(2-Pyridylazo) 2-naphtol

²⁴ - De godoi

²⁵ - Humic acide

در سال ۲۰۰۳، ابراهیم^{۲۶} و همکارانش رزین دی وینیل بنزن پلی استایرن^{۲۷} پیوند داده شده با ۱- (۲- پیریدیل آزو) ۲- نفتول (PAN) را به عنوان یک ماده جدید که توانایی تشکیل کمپلکس با کادمیوم را دارد به عنوان پر کننده ستون پیش تغليظ سنتز نموده و برای پیش تغليظ کادمیوم استفاده کرده اند. بازیابی کادمیوم در اين روش بيشتر از ۹۵٪ بوده و فاكتور پیش تغليظ روش ۲۰۰ و حد تشخيص کادمیوم کاملاً ۰/۰۵۶ میکروگرم بر لیتر است. ميزان خطای روش در اين اندازه‌گيری کمتر از ۸٪ به دست آمده است [۲۷].

در سال ۲۰۰۴ مارتینز^{۲۸} و همکارانش از رزین کمپلکس دهنده جدید که از اصلاح کيتین دی استیله^{۲۹} با ۵- سولفونیک اسید ۸ هیدروکسی کینولین^{۳۰} تهیه شده است، برای پیش تغليظ کادمیوم و مس و اندازه گيری بر خط آن با FAAS استفاده نموده اند. در اين روش بيشترین بازداری کادمیوم بر روی رزین در $pH = 7/0$ اتفاق افتاده و بهترین شوينده نيتريک اسید و بهترین سرعت جريان عبور نمونه از ستون $7/2$ ميلی لیتر بر دقیقه است. انحراف استاندارد نسبی روش برای ۷ بار اندازه گيری تکراری در غلظت ۱۵ میکرو گرم بر لیتر ۶۰٪ به دست آمده است. حد تشخيص، فاكتور پیش تغليظ و فرکانس نمونه برداری روش به ترتیب $20/0$ میکرو گرم بر لیتر، $19/1$ و 26 گزارش شده است. درصد بازیابی کادمیوم بين ۹۷٪ تا ۱۰۷٪ می باشد [۲۸].

در سال ۲۰۰۴، تارلی^{۳۱} و همکارانش از جاذب طبیعی سبوس برنج^{۳۲} برای پیش تغليظ کادمیوم و سرب استفاده کردند. در اين روش و در شرایط بهينه (۴ دقیقه پیش تغليظ در سرعت جريان ۶۰ ميلی لیتر بر دقیقه نمونه و حجم ۲۰۰ میکرو لیتر از شوينده نيتريک اسید ۱۰ مولار) حد تشخيص، فاكتور پیش تغليظ و سرعت نمونه برداری کادمیوم به ترتیب $11/1$ میکرو گرم بر لیتر، 72 و 14

²⁶ - Ibrahim

²⁷ - Divynile benzen polystyrene

²⁸ - Martins

²⁹ - Chitosan-

³⁰ - 5- Sulfonic acid 8 – hidroxyquinoline

³¹ - Tarley

³² - Rice husk

نمونه در ساعت به دست آمده است. این روش برای اندازه گیری کادمیوم در نمونه های آب بکار گرفته شده است.^[۲۹]

در سال ۲۰۰۴ پور رضا و همکارانش یک روش بسیار حساس و ساده برای پیش تغلیظ کادمیوم با فاز جامد ارائه داده اند. این روش بر اساس جذب کادمیوم به صورت CdI_4^{2-} بر روی نفتالن - متیل تری اکتیل آمونیوم کلراید^{۳۳} به عنوان فاز جامد پایه گذاری شده است. در این روش نیتریک اسید به عنوان شوینده مورد استفاده قرار گرفته است و در شرایط بهینه فاکتور پیش تغلیظ ۴۰ بوده و منحنی کالیبراسیون در محدوده غلظت $100 - 1/00$ نانوگرم بر میلی لیتر خطی است. حد تشخیص روش 0.160 نانوگرم بر میلی لیتر و RSD برای دو غلظت $5/0$ و 40 نانوگرم بر میلی لیتر به ترتیب $3/9\%$ و $1/5\%$ به دست آمده است. این روش به خوبی برای اندازه گیری کادمیوم در آب شهر و آب رودخانه مورد استفاده قرار گرفته است.^[۳۰]

در سال ۲۰۰۴ مارتینز و همکارانش بر روی پیش تغلیظ کادمیوم توسط کیتین دی استیله که با عامل کمپلکس دهنده ۸-هیدروکسی کینولین^{۳۴} و اندازه گیری بر خط آن با FAAS تحقیقاتی انجام داده اند. در این روش در محیط با $pH = 7/0$ و با شوینده نیتریک اسید $0/50$ مولار، فاکتور پیش تغلیظ و حد تشخیص روش به ترتیب $24/2$ و $10/0$ میکرو گرم بر لیتر بدست آمده است. RSD برای 7 اندازه گیری تکراری 20 میکرو گرم بر لیتر کادمیوم، $1/5\%$ بوده و فرکانس نمونه برداری 26 نمونه بر ساعت می باشد. این روش برای اندازه گیری کادمیوم در نمونه های مختلف آب مورد استفاده قرار گرفته است.^[۳۱]

در گزارش دیگری در سال ۲۰۰۴ دا سیلوا^{۳۵} و همکارانش با استفاده از میکروستون پر شده با سیلیکاژل که با تثبیت نیوبیوم (Nb₅O₅-SiO₂) بر روی آن، اصلاح شده است کادمیوم را پیش تغلیظ و اندازه گیری کرده اند. با استفاده از نیتریک اسید به عنوان شوینده مقادیر حد

¹ - Naphthalene-methyltriocetylammmonium chloride

³⁴ - 8-hydroxyquinolin

³⁵ - Da silva

تشخیص ۱۰/۰ میکروگرم بر لیتر و فاکتور پیش تغليظ ۳۳ و فرکانس نمونه برداری ۲۰ نمونه در ساعت به دست آمده است. اين سيسitem برای اندازه گيري کادميوم نمونه هاي مختلف آب استفاده شده است [۳۲].

در سال ۲۰۰۵ سویلک مصففى^{۳۶} و همكارانش يك روش بسيار حساس، ساده و کم هزينه برای اندازه گيري کادميوم ارائه دادند. روش بر اساس بازداری کادميوم بر روی ميني ستون پر شده با کيلكس-۱۰۰^{۳۷} می باشد. پس از بررسی تاثير پارامترهای مختلف شيميايی و دستگاهی بر روی سيسitem حد تشخیص، درصد بازيابی و فاکتور پیش تغليظ روش به ترتیب ۱۷/۰ نانو گرم بر لیتر، ۱۰۴٪ - ۱۰۰٪ و ۵۰ گزارش شده است. در بررسی اثر ساير یونها، آهن (II) و کروم (III) در محیط مزاحم می باشند. اين روش در اندازه گيري کادميوم در نمونه هاي آب دریا مورد استفاده قرار گرفته است [۳۳].

در سال ۲۰۰۵ توزن مصففى^{۳۸} و همكارانش با استفاده از ستون استخراج فاز جامد با ماده پر کننده کروموزوب ۳۹۱۰۸ و عامل کيليت دهنه کوپروئين دى سولفونيك اسيد^{۴۰} در محدوده ۲۰۰-۲۰۰۰ pH=۸/۰ پیش تغليظ کادميوم را گزارش داده اند. در محدوده خطی غلظت، ۹/۵ میکرو گرم بر لیتر است. فاکتور پیش تغليظ و حد تشخیص روش به ترتیب ۸ و ۰/۲۴ میکرو گرم بر لیتر به دست آمده است. در بررسی اثر ساير یونها گونه هاي منگنز (II)، مس (II)، آهن (III)، آلومينيوم (III)، کروم (III)، سرب (II)، کبات (II)، نيكل (II)، روی (I)، در اندازه گيري کادميوم مزاحم می باشند. اين روش برای اندازه گيري کادميوم در نمونه هاي آب شهر، رودخانه، چای، برنج، مشروب، عسل به کار گرفته شده است [۳۴].

³⁶- Soylak Mustafa

³⁷ - Celex-100

³⁸ - Tuzen Mustafa

³⁹ - Chromosorb 108

⁴⁰ - Bathocuproinedisulfonic acid

در سال ۲۰۰۵، دو سانتوس^{۴۱} و همکارانش یک روش جدید برای پیش تغییض بر خط کادمیوم بر اساس تشکیل کمپلکس آن با نمک آمونیوم ۰,۰-اتیل دی تیو فسفات^{۴۲} (DDTP) با استفاده از آمبرلیت ۴ - XAD به عنوان پر کننده میکرو ستون پیشنها د کرده اند. در این روش فاکتور پیش تغییض و حد تشخیص روش به ترتیب ۲۰ و ۱/۵ میکروگرم بر لیترمی باشند. این روش برای اندازه گیری کادمیوم در نمونه های مختلف بیولوژیکی استفاده شده است [۳۵].

در سال ۲۰۰۵، دینزیو^{۴۳} و همکارانش با استفاده از دی تیازون به عنوان پر کننده ستون برای استخراج فاز جامد کادمیوم استفاده کردند. دی تیازون با تشکیل کمپلکس با کادمیوم عمل پیش تغییض را انجام می دهد. محدوده خطی منحنی کالیبراسیون ۳۰۰-۶/۰ میکروگرم بر لیتر می باشد. حد تشخیص روش ۵/۴ میکرو گرم بر لیتر بوده، RSD روش برای ۱۱ اندازه گیری تکراری ۳/۷٪ و فرکانس نمونه برداری ۱۱/۴ نمونه بر ساعت می باشد. این روش برای اندازه گیری کادمیوم در چند نمونه آب شرب مورد استفاده قرار گرفته است [۳۶].

در سال ۲۰۰۵، لموس و همکارانش با استفاده از آمبرلیت ۲-XAD که با ۲-آمینوتیو فنول^{۴۴} (AT-XAD) به عنوان عامل کمپلکس دهنده با کادمیوم پیوند داده شده است پیش تغییض کادمیوم و اندازه گیری بر خط آن با FAAS را گزارش داده اند. در این کار هیدروکلریک اسید یا نیتریک اسید ۱۰ مولار به عنوان شوینده مورد استفاده قرار گرفته است. فاکتور پیش تغییض روش در زمان پیش تغییض ۶۰ و ۱۸۰ ثانیه به ترتیب ۲۸ و ۷۴۰ به دست آمده است. حد تشخیص روش در زمان پیش تغییض ۱۸۰ ثانیه ۰/۱۴ میکروگرم بر لیتر می باشد. کارایی روش در تجزیه نمونه های مختلف آب شرب و آب شهر بررسی شده است [۳۷].

⁴¹ - Dos santos

⁴² - O, O - diethyldithiophosphate

⁴³ - De nezio

4 - 2-Aminothio phenol

در گزارش دیگری در سال ۲۰۰۵، توزن مصطفی و همکارانش با استفاده از کروموزوب ۱۰۶ که با عامل کمپلکس دهنده ۱ - (۲-پیریدیل آزو) ۲ - نفتول (PAN) پیوند داده شده است، پیش تغليظ کادمیوم را انجام داده اند و با استفاده از نیتریک اسید به عنوان شوینده مقادیر حد تشخيص ۰/۱۹ میکروگرم بر لیتر، فاكتور پیش تغليظ ۲۵۰ و فرکانس نمونه برداری ۱/۷ نمونه برساعت به دست آمده است. در بررسی اثر سایر یونها گونه های منگنز (II)، مس (II)، نیکل (II)، کبالت (II)، روی (II)، آلومینیوم (III)، آهن (III)، و کروم (III) به عنوان مزاحم گزارش شده اند. کادمیوم موجود در نمونه های مختلف آب با اين روش اندازه گيري شده است.^[۳۸]

در سال ۲۰۰۶ والتر^{۴۵} همکارانش در گزارشی از میکروستون پر شده با اسفنج پلی اورتان بارگذاري شده با ۴ - (۲ - پیریدیل آزو) - رزورسینول^{۴۶} (PAR) برای اندازه گيري کادمیوم در آب شرب و آبهای طبیعی استفاده نموده اند. در شرایط بهینه به دست آمده به صورت $pH = ۸/۲$ و سرعت جريان نمونه ۸/۵ ميلی لیتر در دقیقه) حد تشخيص روش ۲۰ نانوگرم در لیتر به دست آمده است. انحراف استاندارد نسبی برای غلظتهاي ۵/۰ و ۴۰ میکروگرم بر لیتر به ترتیب ۵/۰٪ و ۴/۷٪ می باشد. در حجم پیش تغليظ ۲۰ ميلی لیتر فاكتور پیش تغليظ ۱۵۸ گزارش شده است.^[۳۹]

در گزارشی در سال ۲۰۰۶ پراساد^{۴۷} و همکارانش با استفاده از عامل کیلیت دهنده ۵/۷ - دی بروم کینولین ۸-آل^۴ (DBQ) و جاذب بنزوفنون، پیش تغليظ کادمیوم رادر محدوده $pH = ۶/۰ - ۸/۰$ گزارش کرده اند. محدوده خطی غلظت برای اين روش ۵۰-۰/۱۰ میکرو گرم بر لیتر است. فاكتور پیش تغليظ و حد تشخيص روش به ترتیب ۲۰۰ و ۱۰/۰ میکرو گرم بر لیتر گزارش شده است. اين روش برای اندازه گيري کادمیوم در نمونه های آب دریا و پساب های صنعتی و نمونه های خاک استفاده شده است.^[۴۰]

⁴⁵ - Walter
2- 4-(2-Pyridyl azo)-resorcinol
3 - Prasad
4 - 7, 5 - Diboromo quinoline 8-ol

در سال ۲۰۰۶ موریرا^{۴۷} همکارانش با استفاده از ۲-متیل-۲-بنزوتیازولیل آزو) کلروموتروپیک اسید^{۴۸} (Me-BTANC) به عنوان عامل کیلیت دهنده و اسفنج پلی اورتان به عنوان ماده جاذب، پیش تغليظ کادمیوم و سرب و اندازه گيری بر خط آن با FAAS را انجام داده اند. حد تشخيص روش برای کادمیوم ۳/۷۵ میکرو گرم بر لیتر به دست آمده و دقت روش برای غلظت ۱۰ میکرو گرم بر لیتر کادمیوم ۳/۱٪ گزارش شده است. در زمان پیش تغليظ ۱۸۰ ثانية فاكتور پیش تغليظ روش ۳۷ است. در بررسی اثر یونها آهن (II) به عنوان مزاحم گزارش شده است. اين روش برای اندازه گيری کادمیوم در نمونه های آب شهر، اسفنج و چای مورد استفاده قرار گرفته است.[۴۱]

در سال ۲۰۰۶ هو ونگ^{۴۹} و همکارانش ازاکریلیک اسید پیوند داده شده با پلی تترا فلوئورواتیلن^{۵۰} (PTFE) به عنوان یک ماده جدید پر کننده ستون، برای پیش تغليظ و اندازه گيری بر- خط کادمیوم و سرب با FAAS در نمونه های بیولوژیکی و محیطی استفاده نموده اند. در این روش پیش تغليظ که در ناحیه $pH = ۳/۵ - ۶/۵$ انجام شده است، هیدروکلریک اسید ۰/۵۰ مولار به عنوان شوینده استفاده شده است و در سرعت جريان ۲۰ میلی لیتر بر دقیقه برای نمونه حد تشخيص، فاكتور پیش تغليظ و فرکانس نمونه برداری روش به ترتیب ۰/۱۰ میکرو گرم بر لیتر، ۷۳، ۵۵ نمونه در ساعت گزارش شده است. RSD روش برای ۱۱ اندازه گيری تكراري در غلظت ۱۰ میکرو گرم بر لیتر کادمیوم ۰/۹٪ گزارش شده است [۴۲].

در گزارش ديگری در سال ۲۰۰۶ کندزلر^{۵۱} و همکارانش يك روش ساده و قابل اطمینان برای پیش تغليظ و اندازه گيری بر خط کادمیوم با FAAS در نمونه های مختلف آب شهر، آب شرب و خاک ارائه نموده اند. روش بر اساس جذب کادمیوم بر روی رزین تعويض کاتيونی آمبرليت ۳۶ و شويش آن با ۰/۵ ميلی لیتر از هيدرو گلریک اسید ۳/۰ مولار استوار است. در اين روش حد تشخيص

⁴⁷ - Moreira
2 - 2-(6-Methyl 2-benzothiazolyl azo)cloromotropic acid

3 - Hui wang

4 - Polytetrafluoroethylene

⁵¹ - Kenduzler

اندازه گیری کادمیوم $0/51$ میکرو گرم بر لیتر، RSD روش $2/9$ ٪ و فاکتور پیش تغليظ 200 و ظرفیت ستون 192 میلی گرم کادمیوم به ازای هر گرم از رزین می باشد [۴۳].

در گزارشی در سال 2006 ، بورگس^{۵۲} و همکارانش با استفاده از تفاله های نیشکر^{۵۳} به عنوان جاذب در پیش تغليظ فاز جامد مقادیر کم کادمیوم و اندازه گیری بر- خط آن با FAAS استفاده کرده اند. در اين روش کادمیوم پس از تشکيل کمپلکس با آمونيوم دى اتيل تيو فسفات و عبور از روی جاذب ذكر شده در بالا بوسيله آن بازداری می شود. در زمان پیش تغليظ 120 ثانие فاکتور پیش تغليظ روش $20/5$ و فرکانس نمونه برداری روش 25 نمونه در ساعت به دست آمده است. منحنی كالibrاسيون روش در ناحيه $40 - 10$ میکرو گرم بر لیتر خطی می باشد و حد تشخيص روش $0/697$ میکرو گرم بر لیتر می باشد. انحراف استاندارد نسبی روش برای غلظت $30/0$ میکرو گرم بر لیتر برای 12 اندازه گیری $96/0$ ٪ به دست آمده است. اين روش برای اندازه گیری کادمیوم در نمونه های بیولوژیکی مختلفی مورد استفاده قرار گرفته است [۴۴].

سال 2007 على انصافی و همکارانش با استفاده از جذب سطحی کادمیوم برروی کربن اصلاح شده با متيل تيمول آبی^{۵۴} پیش تغليظ کادمیوم را انجام دادند. در اين روش از نيتريک اسيد $0/50$ مولار به عنوان شويinde استفاده شده است. در pH بهينه $9/0$ ، حد تشخيص روش $1/0$ نانو گرم بر ميلی لیتر و فاکتور پیش تغليظ 1000 می باشد. اين روش برای اندازه گیری کادمیوم در نمونه های آب دريا و پساب کارخانجات مورد استفاده قرار گرفته است [۴۵].

در سال 2008 ، لموس و همکارانش برای اندازه گيری ميزان کادمیوم در نمونه های تنباکو، از ستون پرشده با رزین آمبرليت XAD-4 که بوسيله ليگاند ۲- آمينوتيوفنول^{۵۵} اصلاح شده است، استفاده کرده اند. هيdroكليرك اسيد به عنوان شويinde مورد استفاده قرار گرفته است. مقادير حد تشخيص $0/30$ میکرو گرم بر لیتر، فاکتور پیش تغليظ 99 و فرکانس نمونه برداری 18 نمونه بر ساعت

⁵² - Borges

⁵³ - Sugar cane bagasse

⁵⁴ - Methyl thymol blue

⁵⁵ - 2-Aminothio phenol

گزارش شده است. در این روش گونه های روی (II)، سرب (II)، آهن (III)، مس (II) و کبالت (II) مراحم گزارش شده اند [۴۶].

در گزارش دیگری سال ۲۰۰۸ سیلوا^{۵۶} و همکارانش یک روش جدید برای اندازه گیری کادمیوم در محلول های آبی ارائه کرده اند. در این روش کادمیوم بر روی ستون پر شده از Al_2O_3 بازداری می شود. دامنه خطی روش ۱۰۰ تا ۱۰۰۰ میکرو گرم است. حد تشخیص روش ۰/۰۸ میکرو گرم بر لیتر و فاکتور پیش تغليظ ۲۱/۹ به دست آمده است. RSD روش بین ۰/۵ تا ۰/۲۶٪ گزارش شده است [۴۷].

در سال ۲۰۰۸ طیبه مدرکیان و همکارانش روشی برای پیش تغليظ تعدادی از عناصر واسطه در مقادیر ناچیز شامل نیکل، کبالت، روی و کادمیوم پیشنهاد کردند. در این روش یون های فلزی بر روی ۲، ۴، ۶، ۲، ۵ - تری مورفولینو^{۵۷} که برای اصلاح سیلیکاژل به عنوان ماده پر کننده ستون بکار رفته است جذب می شود. کادمیوم بازداری شده بوسیله هیدروکلریک اسید ۱/۰ مولار از روی جاذب شسته شده و برای اندازه گیری وارد FAAS می شود. این روش که حد تشخیص آن برای اندازه گیری کادمیوم ۰/۲۳ نانو گرم بر میلی لیتر می باشد، برای اندازه گیری همزمان این عناصر نیز بکار برد شد. این روش برای تعیین میزان کادمیوم در نمونه های آب شهر، آب رودخانه و ادرار مورد استفاده قرار گرفته است [۴۸].

در سال ۲۰۰۸ آنتیمیدیس^{۵۸} و همکارانش در گزارشی، روشی برای پیش تغليظ و اندازه گیری بر - خط کادمیوم با FAAS ارائه دادند که در آن کمپلکس بدون بار کادمیوم با دی اتیل - دی تیو فسفات بر روی جاذب پلی کلرو تری فلوئو رو اتیلن^{۵۹} (PCTFE) بازداری می شود. در این روش ایزو بوتیل کتون به عنوان شوینده مورد استفاده قرار گرفته است. در این روش و در سرعت جريان ۲/۴ میلی لیتر بر دقیقه نمونه فاکتور پیش تغليظ ۳۹ و فرکانس نمونه برداری ۵۰ نمونه در ساعت به

^{۵۶} - Silva

^{۵۷} - 2,4,6-Trimorpholino-1,3,5-triazin

^{۵۸} - Anthemidis

^{۵۹} - Poly-chlorotrifluoroethylene

دست آمده است. در زمان پش تغليظ ۳۰ ثانیه حد تشخيص روش $3/3$ ميكرو گرم بر ليتر می باشد.
دامنه خطی اين روش در ناحيه $40/0-80/0$ ميكرو گرم بر ليتر قرار دارد و انحراف استاندارد نسبی در
غلظت $0/50$ ميكرو گرم بر ليتر برای کادميوم $2/9$ ٪ به دست آمده است. اين روش برای اندازه گيري
کادميوم در نمونه های مختلف آب مورد استفاده قرار گرفته است [۴۹].

فصل دوم

تئوري

۱-۲- استخراج فاز جامد (SPE)

با وجود اینکه تکنیک‌های تجزیه‌ای همانند اسپکترومتری جذب اتمی و اسپکترومتری پلاسمای جفت شده القایی دارای گزینش پذیری و حساسیت خوبی هستند ولی برای آنالیز مقادیر بسیار کم آنالیت‌ها در نمونه‌های مختلف (بیویژه نمونه‌های آبی) به یک مرحله پیش تغليظ نیاز است. علاوه بر این از آنجاییکه معمولاً غلظت بالایی از ترکیبات مزاحم همراه آنالیت‌ها وجود دارند لذا یک مرحله تمیز سازی^{۶۰} قبل از اندازه گیری لازم است.

استخراج مایع- مایع^{۶۱} (LLE) یک روش کلاسیک برای پیش تغليظ یونهای فلزی و یا حذف مزاحمت‌های بافتی است. استخراج با فاز جامد (SPE) یکی دیگر از روش‌های پیش تغليظ است که مزیتهای مهمی نسبت به روش‌های استخراج مایع- مایع دارد. در این روش مصرف حلالهای آلی سمی و گران قیمت به حداقل رسیده و زمان لازم برای آماده سازی نمونه کاهش می‌یابد. همچنین فاکتور پیش تغليظ روش SPE بالاتر از روش LLE است.

استخراج با فاز جامد یکی از روش‌های آماده سازی نمونه است که در آن آنالیت‌ها از طریق جذب بر روی فاز جامد تغليظ و خالص سازی شده و سپس آنالیت‌های جذب شده با استفاده از یک حلal مناسب شسته می‌شوند. در سال‌های اخیر SPE بطور موفقیت آمیزی برای جداسازی و اندازه گیری یونهای فلزی در غلظتهاهی بسیار پایین استفاده شده است.^[۵۰]

سالیان زیادی از کشف خاصیت پیوند شدن مولکول‌های ترکیبات آلی به سطوح جاذب می‌گذرد ولی اولین کاربردهای تجربی SPE از پنج دهه پیش شروع شده است. ایده استخراج با فاز جامد از سیستم‌های کروماتوگرافی کلاسیک گرفته شده است. این تکنیک به طور گسترده‌ای در پنجاه سال

^{۶۰} - Clean-up

^{۶۱} - Liquid-liquid extraction

پیش برای پیش تغليظ ريزآللينده های آلی، بویژه حشره کش ها، در نمونه های آبی به کار گرفته شد.

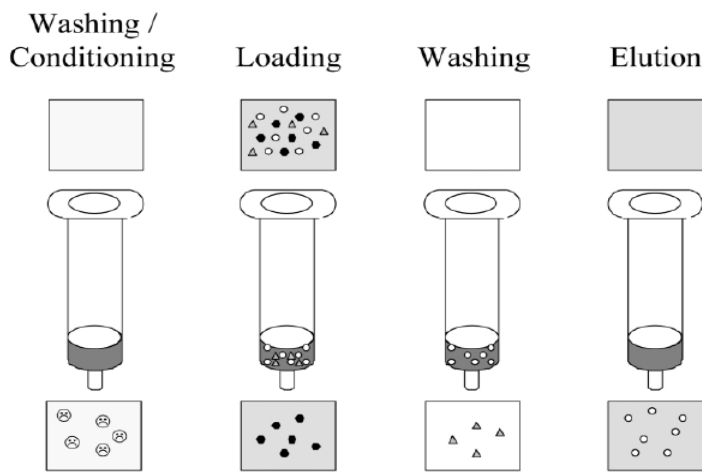
رشد چشمگیر SPE به عنوان یک روش آماده سازی نمونه از اواسط دهه ۱۹۷۰ شروع شده و تا کنون مقالات زیادی در زمینه توسعه و کاربردهای SPE در مجلات علمی به چاپ رسیده اند [۵۱].

اساس SPE مشابه روش استخراج مایع- مایع شامل توزیع نمونه ها بین دو فاز است، با این تفاوت که در LLE توزیع بین دو فاز مایع امتزاج ناپذیر است ولی در SPE توزیع بین فاز مایع (بافت نمونه) و فاز جامد(جادب) انجام می شود. این روش آماده سازی نمونه می تواند آنالیت های موجود در محلول را از طریق جذب بر روی فاز جاذب تغليظ و خالص سازی کند. در این روش نمونه از داخل یک کارتريج، یک لوله یا یک ديسك حاوی فاز جاذب عبور می کند و آنالیت ها بازداری می شوند سپس آنالیتهای جذب شده با استفاده از یک شوینده مناسب بازیافت می شوند [۵۰].

۲-۱-۱- معرفی روش SPE

روش SPE معمولاً از سه الى چهار مرحله متوالی به صورتيکه در شكل (۱-۲) نشان داده شده تشکيل شده است. ابتدا جاذب جامد توسط یک حلال مناسب آماده سازی^{۶۲} می شود. اين مرحله بسيار ضروري است زيرا سبب مرتبط شدن مواد پرکننده شده و گروه های عاملي را حلال پوشی می کند. به علاوه در اين مرحله ناخالصی های موجود در مواد جاذب حذف می شوند. همچنین حبابهاي هواي موجود در ستون خالي شده و فضاهاي خالي داخل ستون توسط حلال پر می شوند. نوع حلال آماده سازی به طبيعت جاذب بستگي دارد. بعد از عبور حلال، آب یا محلول بافری با pH و قدرت يونی مشابه نمونه از داخل فاز جامد عبور می کند. باید دقت شود تا فاز جاذب بین مرحله آماده سازی و مرحله عبور نمونه خشک نشود در غير اين صورت آنالیت ها به خوبی بازداری نشده و بازیافت های ضعيفی بدست می آيد. اگر جاذب برای بيش از چند دقيقه خشک شود باید مرحله آماده سازی مجدداً انجام شود.

⁶²-Conditioning



شکل(۱-۲) - مراحل مختلف استخراج با فاز جامد

مرحله دوم عبور نمونه از داخل فاز جامد است. بسته به نوع سیستم مورد استفاده، حجم های نمونه می تواند بین یک میلی لیتر تا یک لیتر تغییر کند. نمونه ممکن است با استفاده از نیروی جاذبه، پمپ کردن و یا ایجاد خلاء، از داخل ستون عبور نماید. سرعت جريان عبوری نمونه از داخل جاذب باید به اندازه کافی پایین باشد تا با بازداری موثر آناليت ها بر روی جاذب تغليظ شوند. اگر چه اجزای بافت می تواند توسط فاز جامد بازداری شود ولی اکثر آنها از داخل فاز جامد عبور می کنند و در نتیجه خالص سازی نمونه امکان پذیر می شود.

مرحله سوم ممکن است شستن جامد جاذب با یک حلال مناسب و دارای قدرت شویش پایین باشد. اجزای بافت جذب شده بر روی فاز جامد توسط حلال شسته می شوند بدون اينکه آناليت ها واجذاب شوند. همچنین اگر آب در آناليز آناليت استخراج شده مشکل ساز باشد آنگاه یک مرحله خشک کردن جهت حذف آب از سطح فاز جامد توصيه می شود.

مرحله نهايی شامل شستن آناليت های مورد نظر با حلال مناسب است بدون اينکه اجزای بافت بازداری شده واجذب شوند. حجم حلال شوينده باید طوری انتخاب شود تا بازيافت كمي آناليت ها همراه با حداقل رقيق سازی امکان پذير شود. بعلاوه سرعت جريان شوينده برای اطمینان از شویش كامل باید بدقت تنظيم شود [۵۰].

۲-۱-۲- بازداری عناصر در سطح غلظتی بسیار پایین بر روی جاذب

برای پیش تغییط عناصر در سطح غلظتی بسیار پایین باید آنها را بر روی فاز جاذب جذب نمود. مکانیسم جذب به طبیعت جاذب بستگی دارد و ممکن است شامل جذب ساده، کیلیت شدن یا مبادله یونی باشد. همچنین ممکن است از فرایند استخراج با فاز جامد زوج - یونی استفاده شود.

۲-۱-۲- جذب

عناصر در حد غلظتی بسیار کم معمولاً از طریق نیروهای واندروالسی و یا بر هم کنش های آبگریزی بر روی فاز جامد بسیار غیر قطبی (فاز معکوس) باشد. اکتا دسیل سیلیکا ($C_{18}\text{-silica}$) متداول‌ترین جاذب فاز معکوس است. اخیراً فازهای پلیمری معکوس بویژه کوپلیمر استیرن- دی وینیل بنزن ارائه شده است. هنگامی که الکترون های π در آنالیت موجود باشند، این نوع پلیمرها امکان برهم کنش‌های $\pi-\pi$ اضافی را فراهم می‌سازند. معمولاً چنین بر هم کنش‌هایی برای سیستم‌های بر- خط مناسب هستند، زیرا چندان قوی نیستند و به سرعت شکسته می‌شوند. با وجود این چون گونه‌های فلزی به شکل یونی هستند لذا بر روی چنین جاذب‌های بازداری نمی‌شوند. معمولاً در این نوع جاذب‌ها فرایند شستشو با استفاده از حللهای آلی همانند متانول یا استونیتریل انجام می‌شود.

۲-۲-۱-۲- کیلیت شدن

اتمهای گروههای عاملی توانایی کیلیت شدن با عناصر فلزی را دارند. اتمهایی که غالباً از آنها به عنوان عامل کیلیت دهنده استفاده می‌شود عبارتند از نیتروژن (N موجود در آمینها، گروههای آزو، آمیدها و نیتریلها)، اکسیژن (به عنوان مثال O موجود در گروههای کربوکسیل، هیدروکسیل، فنولیک اتر، کربونیل و فسفوریل) و گوگرد (مانند گوگرد موجود در تیولها، تیوکاربامتها و تیواترهای). طبیعت گروههای عاملی گزینش‌پذیری لیگاند نسبت به عناصر مختلف را تعیین خواهد کرد. عوامل کیلیت

دهنده ممکن است برای تشکیل کمپلکس مستقیماً به نمونه اضافی شده، سپس کمپلکس‌های تشکیل شده بر روی جاذب مناسب بازداری شوند. روش دیگر وارد کردن گروه‌های عاملی کی‌لیت دهنده به داخل جاذب است. برای این منظور سه روش وجود دارد:

- ۱- سنتز جاذب‌های جدید حاوی عوامل کی‌لیت دهنده
- ۲- پیوند شیمیایی گروه‌های عاملی بر روی جاذب (یا جاذب‌های عامل دار شده)
- ۳- پیوند فیزیکی گروه‌های عاملی بر روی جاذب از طریق اشباع‌سازی فاز جامد با محلولی از لیگاند کی‌لیت دهنده.

مشکل اصلی در استفاده از جاذب‌های نوع سه، کنده شدن عامل کی‌لیت دهنده از روی جاذب جامد در طی مراحل عبور نمونه و شویش است که سبب کاهش عمر جاذب تهیه شده می‌شود. روش‌های مختلف ثبت لیگاند بطور موفقیت‌آمیزی در پیش تغليظ، جداسازی مقدار یون‌های فلزی استفاده شده اند [۵۵ - ۵۶].

پیوند یون‌های فلزی به گروه‌های عاملی کی‌لیت دهنده به فاکتورهای متعددی وابسته است که این فاکتورها عبارتند از:

- ۱- طبیعت، بار و اندازه یون‌های فلزی
- ۲- طبیعت اتم‌های دهنده لیگاند
- ۳- شرایط بافری که در آن استخراج فلز و پیوند شدن به گروه‌های دهنده لیگاند صورت می‌گیرد.
- ۴- طبیعت فاز جامد (همانند درجه پیوند عرضی برای پلیمرها).

در بعضی از موارد با دانستن مقادیر ثابت‌های تشکیل کمپلکس فلز با عامل کی‌لیت دهنده می‌توان رفتار جاذب‌های اصلاح شده با عوامل کی‌لیت دهنده را در پیش تغليظ عناصر پیشگویی کرد. با وجود این نوع جامد جاذب نیز در فرایند کی‌لیت شدن موثر است و گاهی اوقات منجر به تشکیل کمپلکس‌هایی با استوکیومتری غیر از استوکیومتری مشاهده شده در واکنش همگن می‌شود

[۵۷ ، ۵۸]

۳-۱-۲- شویش عناصر از سطح جاذب

نوع شوینده بر اساس تمایل بیشتر عنصر جذب شده به حلال شوینده، در مقایسه با جامد جاذب انتخاب می شود تا از شکسته شدن بر همکنش با جاذب اطمینان حاصل شود. بنابراین اگر بازداری بر روی فاز جاذب در اثر کی لیت شدن باشد آنگاه حلال می تواند حاوی یک عامل کی لیت دهنده با ثابت تشکیل کمپلکس قویتر باشد. همچنین فرایند شویش ممکن است با استفاده از یک اسید انجام شود که به موجب آن کی لیت شکسته شده و یون های فلزی آزاد می شوند. اگر بازداری از طریق فرآیند مبادله یونی صورت گیرد آنگاه بدلیل وابسته بودن فرایند مبادله یونی به pH ممکن است از شوینده هایی با pH های مختلف همانند محلول های اسیدی استفاده شود. شویش گزینشی گونه مورد نظر بسیار حائز اهمیت است. بنابراین اگر یون های فلزی قوی تر از ترکیبات مزاحم بازداری شده باشند، باید از حلالی با قدرت شویش متوسط، قبل از شستشوی گونه های مورد نظر استفاده شود.^[۵۰].

۴-۱-۲- انواع فازهای جامد

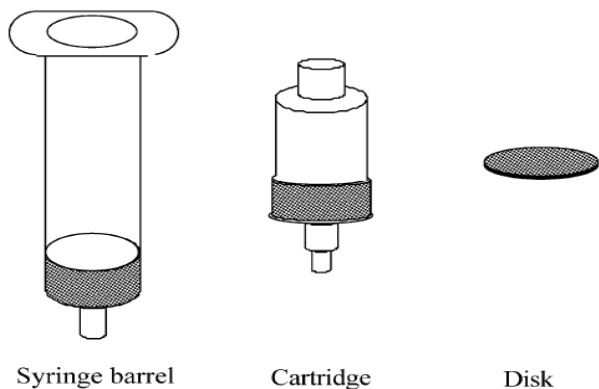
جاذب های جامد معمولاً به فرمهای تجاری مختلف همانند میکروستون^{۶۳} ، کارتريچ^{۶۴}، لوله سرنگی^{۶۵} و دیسک^{۶۶} وجود دارند [۵۸-۶۰]. سه نوع از پرکاربردترین جاذب ها در شکل (۲-۲) آورده شده است.

⁶³ - Micro -Column

⁶⁴ - Cartridge

⁶⁵ - Syringe barrel

⁶⁶ - Disk



شکل (۲-۲) - انواع مختلف فاز جامد مصرفی

۱-۴-۱-۲- میکروستون ها

معمول‌اً از میکروستون ها برای استخراج مقادیر بسیار کم عناصر از نمونه های مختلف استفاده می شود. امکان پر کردن میکروستون ها با جاذب های مختلف وجود دارد لذا محدوده وسیع تری از جاذب ها را می توان در مقایسه با کارتريج ها و ديسک های تجاری و مصرفی انتخاب نمود. همچنین اندازه ستون (يعني وزن جاذب) می تواند بر اساس حجم نمونه انتخاب شود. با توجه به اينکه اين ستون ها می توانند برای حجم زياد نمونه استفاده شوند، در نتيجه پيش تغليظ يون های فلزی با غلظت بسیار کم امكان پذير می گردد. از آنجائیکه چنین ستون هایی باید مجددا استفاده شوند لذا شستشوی كامل آنها بسیار مهم است. بعلاوه قطر داخلی میکروستون ها باریک است و کاربردشان به سرعت جريان هایی در حد ۱۰-۱ میلی لیتر بر دقیقه محدود می شود. در نتيجه برای حجم های زياد نمونه به زمان پيش تغليظ طولاني نياز است.

۲-۴-۱-۲- کارتريج ها و لوله های سرنگی مصرفی

امروزه کارتريج ها و لوله های سرنگی جزء پر کاربردترین طرح های مورد استفاده در استخراج با فاز جامد هستند و معمولاً از جنس پلی پروپيلن و پلی اتيلن هستند و از مواد پرکننده ای با گروه های عاملی مختلف پر شده اند.

جادب های جامد بین دو فیلتر پلی پروپيلن با منافذ ۲۰ میکرومتری قرار داده می شوند (گاهی اوقات از فیلترهایی از جنس شیشه استفاده می شود) وزن فاز جامد درون کارتريج ها از ۱۰۰ میلی گرم تا یک گرم و بیشتر تغییر می کند. حجم لوله های سرنگی بین ۱ تا ۲۵ میلی لیتر بوده و وزن پر کننده های آن بین ۱۰ میلی گرم تا ۵۰ گرم است. لوله های سرنگی دارای نوک استاندارد در قسمت انتهایی هستند که قابلیت اتصال به انواع پمپ های خلاء SPE را دارند.

کارتريج ها علاوه بر نوک تحتانی دارای نوک فوقانی نیز هستند. بنابراین در این طرح امکان استفاده از فشار مثبت و فشار منفی وجود دارد که از فشرده شدن فاز جاذب جلوگیری می کند. از مهمترین معایب کارتريج ها و لوله های سرنگی می توان به سرعتهای پایین آماده سازی نمونه و گرفتگی شان بوسیله ذرات و ترکیبات موجود در بافت نمونه به علت سطح مقطع پایین اشاره نمود. ایجاد کanal در داخل کارتريج، ظرفیت بازداری آنالیت ها را کاهش می دهد و سبب آلوده شدن آنالیت های پیش تغليظ شده به ناخالصی های موجود در مواد پر کننده می شود [۶۱-۶۲].

۳-۴-۱-۲- ديسكها

در صورت استفاده از ديسك های تخت با سطح مقطع بالا مشكلات مربوط به ستون ها، کارتريج ها و لوله ها را نخواهيم داشت [۶۰]. در تهيه ديسكها مواد پر کننده در يك بافت پلی ترافلورواتيلن (PTFE) با تركيب درصد ۹۰٪ وزني- وزني جاذب و ۱۰٪ وزني- وزني فيبرهای

جا داده می شوند[۶۳]. در انواع دیگر دیسکها از بافت فیبر شیشه ای برای نگه داری ذرات جاذب استفاده می شود که این ذرات عبور جریان های بالا را امکان پذیر می سازند.

دیسک ها در قطرهای مختلف بین ۴ تا ۹۰ میلی متر در دسترس هستند. دیسک هایی با قطر ۴۷ میلی متر جزء پر استفاده ترین نوع دیسک ها هستند. به علت فضای خالی کم، سطح مقطع بالا و اندازه کوچک ذرات، توزیع آنالیت ها در دیسک ها بهتر از کارتريج ها انجام می شود. بنابراین جرم کمتری از ماده جاذب برای حجم مشابه ای از نمونه لازم است. بنابراین دیسک ها به حجم کمتری از حلال هم در مرحله آماده سازی و هم در مرحله شویش نیاز دارند. بعلاوه فشار برگشتی پایین دیسکها امکان استفاده از آنها در سرعت جریان های بالا را فراهم می سازد و سطح گستردگی دیسک ها احتمال گرفتگی را به حداقل می رساند. همچنین تکنیک های جدید نشاندن فاز جاذب در داخل دیسک از ایجاد کanal در آن جلوگیری می کند و انتقال جرم را بهبود می بخشد.

یکی از معایب استفاده از دیسک ها کاهش حجم حد است (حجم حد بیشترین حجم عبوری نمونه از روی دیسک است بدون اینکه آنالیت مورد نظر از دیسک خارج شود). همچنین ظرفیت دیسک کمتر از کارتريج است بنابراین برای نمونه های حقیقی (همانند آب رودخانه یا دریا دارای مقادیر زیاد مواد آلی طبیعی) گونه های فلزی بطور کامل و کمی بازداری نمی شوند. دیسک ها برای آنالیت هایی توصیه می شوند که برهم کنش قوی با فاز جاذب داشته باشند.

۱-۵-۲- مزایای SPE

استخراج های مایع - مایع برای پیش تغليظ عناصر در غلظت های بسیار پایین معمولا وقت گیر و پر دردسر هستند. بعلاوه به کنترل شدید شرایط استخراجی همانند دما، pH و قدرت یونی نیاز است. در نتیجه امروزه روش SPE جایگزین روش های کلاسیک استخراج مایع- مایع شده است. این تکنیک به علت کاستن مصرف حلal آلی، قیمت و زمان استخراج بسیار جالب است[۶۴]. همچنین رسیدن به درصد های بازیافت و فاکتورهای تغليظ بالا در این روش امکان پذیر می باشد[۶۵]. SPE می تواند

بطور بر- خط به تکنیکهای تجزیه ای همانند کروماتوگرافی مایع، اسپکترومتری جذب اتمی و یا اسپکترومتری پلاسمای جفت شده القایی (ICP) متصل شود. کاربردهای SPE به علت وجود جاذب های جامد متعدد وسیع تر از روش LLE هستند. مزایای SPE در قسمت ذیل آورده شده است.

۱-۵-۱-۲- پیش تغليظ

چون در روش LLE از حجم های بالای حلال آلی استفاده می شود، لذا فاکتور های پیش تغليظ در این روش پایین است. فرآیند SPE امکان پیش تغليظ همزمان عناصر با غلظت کم همراه با حذف مزاحمت های بافتی را فراهم می سازد و مصرف حلالهای آلی سمی و آلاینده محیط زیست در این روش به حداقل می رسد. تغليظ بالای آنالیت استخراج شده به سادگی از طریق شستن ترکیبات جذب شده با حجمی بسیار کمتر از حجم نمونه حاصل می شود. بنابراین دسترسی به فاکتور تغليظ در حد هزار امکان پذیر می شود.

۲-۵-۱-۲- نگه داری و ذخیره سازی گونه ها

با استفاده از SPE می توان آنالیت های مورد نظر را در محل نمونه برداری بر روی فاز جامد جذب نمود، سپس نمونه های ذخیره شده را جهت آنالیز به آزمایشگاه منتقل نموده و یا برای مدت چند روز گونه های فلزی را نگهداری کرد [۶۰-۶۲، ۶۶-۶۷]. این کاربرد SPE برای اندازه گیری مقداری بسیار کم عناصر بسیار حائز اهمیت است. زیرا انتقال مستقیم نمونه به آزمایشگاه و نگهداری آن تا زمان آنالیز مشکلاتی را بهمراه خواهد داشت از جمله اینکه ممکن است آنالیت در طی این زمان دستخوش تغییراتی شود. بعلاوه فضای اشغال شده توسط جاذب های جامد بسیار کم است و از نگهداری ظروف حجیم اجتناب می شود.

۲-۵-۳- گزینش پذیری بالا

گاهی اوقات SPE استخراج گزینش پذیر و پیش تغليط یک عنصر خاص را امکان پذیر می سازد. به عنوان مثال در هنگام آشکار سازی اسپکترومتری فلزات سنگین درآبهای سطحی باید فلزات غیر سمی همانند آهن و روی حذف شوند در صورتی که این عناصر در غلظت های بالایی در این آب ها وجود دارند [۶۸]. همچنین ممکن است بعضی از گونه های یک فلز بر روی فاز جامد بازداری شده و سایر گونه های آن عبور کنند، در نتیجه گونه شناسی با استفاده از SPE میسر می شود [۶۹]. علاوه از این گزینش پذیری بالا می توان در جهت حذف ترکیبات مزاحم در تعیین فلزات (همانند ترکیبات چربی در نمونه های بیولوژیکی) استفاده نمود [۷۰].

۲-۵-۴- اتوماسیون و امکان اتصال بر-خط به تکنیک های تجزیه ای

می تواند به آسانی بصورت خودکار درآید و اخیرا سیستم های خودکار شده متعددی به صورت تجاری ارائه شده اند.

علاوه بر این، SPE می تواند بصورت بر-خط به تکنیک های تجزیه ای متصل شود. در روش بر-خط از دستکاری کردن نمونه در بین مراحل پیش تغليط و آنالیز ممانعت به عمل می آید. در نتیجه خطر از دست دادن آنالیت و آلوده شدن نمونه به حداقل رسیده و تکرار پذیری بالا میسر می شود. در سیستم های بر-خط چون تمام حجم آنالیز می شود، لذا حجم نمونه مورد نیاز برای SPE کاهش می یابد. با وجود این برای نمونه های پیچیده، سیستم های بر-خط SPE ترجیح داده می شوند. زیرا انعطاف پذیری این روش بالا بوده و امکان آنالیز نمونه استخراج شده با روش های مختلف آنالیزی وجود دارد [۷۱].

۶-۱-۲- اتصال بر - خط به اسپکترومتری جذب اتمی

اولسن و همکارانش [۷۲] و فانگ و همکارانش [۷۳ ، ۷۴] برای اولین بار سیستم پیش تغليظ تزریق جریان بر - خط متصل به اسپکترومتری جذب اتمی شعله (F-AAS) را گزارش کردند. آن ها از میکروستون های پر شده با مبادله کننده کاتیونی استفاده کردند. بعدها این محققین همین سیستم را به دستگاه ET-AAS متصل کردند [۷۱]. از آن به بعد مقالات متعددی در زمینه پیش تغليظ بر - خط با اسپکترومتری جذب اتمی با سیستمهای تجزیه ای تزریق در جریان^{۶۷} گزارش شده است. جاذب‌هایی که در سیستم پیش تغليظ تزریق پیوسته استفاده می‌شوند باید آنالیتها را سریعاً جذب کرده و به دنبال آن فرایند و اجذبشان نیز سریع باشد. به علاوه گزینش‌پذیری جاذب‌ها باید به اندازه کافی بالا باشد. در عمل جاذب C_{18} - Silica یکی از پر استفاده ترین جاذب‌های مورد استفاده در این سیستم است. معمولاً برای شستشو از حللهای آلی (همانند متانول) استفاده می‌شود. همچنین برای بالا بردن کارایی بازداری فلزات، عوامل کمپلکس دهنده به محلول نمونه اضافه می‌شوند. در این سیستم‌ها مبنای انتخاب عوامل کمپلکس دهنده واکنش سریع آنها با فلزات است.

^{۶۷} - Flow injection analysis

۲-۲- آنالیز با تزریق در جریان (FIA)

در چندین سال گذشته یکی از پیشرفتهای مهم در شیمی تجزیه که تحول زیادی در تجزیه مواد مختلف ایجاد کرده است، ابداع سیستمهای تجزیه خود کار بوده است. این سیستمهای قادرند نتایج تجزیه ای زیادی را با کمترین دخالت نیروی انسانی فراهم آورند در ابتدا برای استفاده در آزمایشگاههای تشخیص طبی طراحی شدند در این آزمایشگاهها باید تعداد بسیار زیاد تجزیه با قیمت ارزان انجام شود در واقع دو عامل کثرت تعداد نمونه و نیاز به کاهش هزینه، سبب تکمیل و پیشرفت تدریجی روشهای تجزیه خودکار شدند. امروزه دستگاههای تجزیه خودکار، کاربردهای زیادی در زمینه های مختلف پیدا کرده اند. در کنترل کیفی فرآیندهای صنعتی و برای اندازه گیری روزمره انواع مختلفی از ذرات و گونه های شیمیایی موجود درهوا، خاک و محصولات دارویی و کشاورزی از روشهای تجزیه خودکار استفاده می شود^[۷۵].

روش تجزیه ای تزریق در جریان یکی از انواع روشهای تجزیه خودکار می باشد که در سالهای اخیر مقالات مختلفی در این باره به چاپ رسیده است. در اینجا سعی شده است توضیحات مختصراً برای آشنایی کلی با این روش ارائه شود.

۲-۱- تاریخچه

روش تجزیه ای تزریق در جریان برای اولین بار در سال ۱۹۷۵ توسط روزیکا و هانسن و با انتشار مقاله ای معرفی شد^[۷۶]، این روش از روشهای آنالیز جریانی قطعه قطعه^{۶۸} که در سالهای ۱۹۶۰ تا ۱۹۷۰ رایج شده بودند، منتج شد. در سیستمهای جریانی قطعه قطعه، نمونه ها بوسیله جریان یک محلول حاوی حبابهای حاوی هوا تا آشکار ساز حمل می شوند. در این سیستمهای حبابهای هوا دو نقش مهم دارند: اول اینکه وجود حبابها، مانع از آلودگی جانبی نمونه ها می شوند و دیگر اینکه حبابها از پخش نمونه ها جلوگیری می کنند. طراحان سیستم تزریق در جریان نشان دادند که در صورتیکه

⁶⁸ - Segmented continuous analysis

یک سیستم از این نوع به خوبی طراحی شود، بدون استفاده از حباب نیز، دو مزیت فوق به دست می آید. علاوه بر این، عدم استفاده از حباب هوا مزایای دیگری نیز برای این روش ایجاد می کند، از جمله این مزایا می توان به چند مورد زیر اشاره کرد:

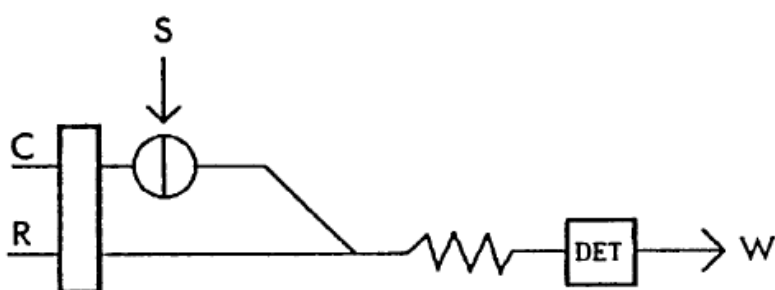
الف- سرعت تجزیه بیشتر (تا ۱۰۰ نمونه در ساعت)

ب- ساده و انعطاف پذیر بودن قسمتهای سیستم (به جز قسمت تزریق نمونه)

ج- اختلاط تکرار پذیر نمونه و واکنشگر (به دلیل عدم حضور هوا) [۷۵]

۲-۲-۲- دستگاه‌های ^{۶۹}

طرحی از یک سیستم بسیار ساده تجزیه‌ای تزریق در جریان در شکل (۳-۲) نشان داده شده است.



شکل (۳-۲) - طرح کلی یک سیستم FIA، C: حامل، R: واکنشگر، S: نمونه، DET: آشکار ساز، W: پساب

در اینجا نمونه از طریق یک سیستم تزریق، به سیال غیر واکنشگر که نقش حامل را دارد، وارد می شود. معمولاً حامل ممکن است محلول بافر، محلولی از یک نمک و یا آب باشد. توده نمونه درون لوله حرکت کرده و در محل لوله T شکل (ناحیه اختلاط) با محلول واکنشگر، که از طریق لوله دیگری و توسط یک پمپ (ممکن است پمپ پریستالتیک^{۷۰}) به طرف ناحیه اختلاط^{۷۱} انتقال می یابد، ترکیب

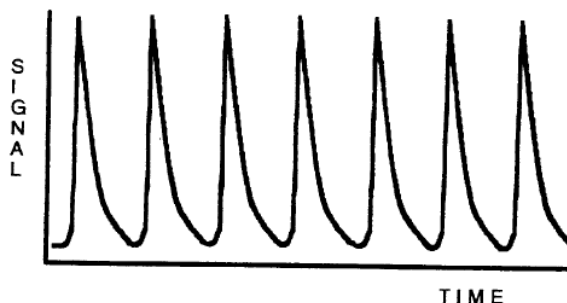
⁶⁹ - Instrumentation

⁷⁰ - Peristaltic pump

⁷¹ - Mixing coil

می‌شود. مخلوط نمونه و واکنشگر از درون لوله مارپیچی مخلوط کننده گذشته و به آشکارساز می‌رسد، تا علامت خاص مربوط به واکنش بین نمونه و واکنشگر ثبت گردد. در مدت عبور نمونه و واکنشگر از مارپیچ مخلوط کننده توده نمونه به تدریج به درون سیال واکنشگر نفوذ کرده و در ضمن این عمل واکنش مورد نظر انجام می‌گیرد و نتیجه حاصل در آشکارساز مشخص می‌شود. محلول پس از عبور از آشکارساز به طرف فاضلاب هدایت می‌شود [۷۷].

همچنان که در بخش (۲-۱) بیان شد یکی از مزایای FIA تکرارپذیری بالای این سیستم تجزیه‌ای است. شکل (۴-۲) پاسخ یک آشکارساز نوعی را در یک سیستم FIA، برای یک محلول رنگی که به صورت تکرار پذیر به سیستم تزریق شده نشان می‌دهد. از روی این شکل تکرار پذیری بسیار عالی سیستمهای FIA به خوبی مشخص است [۷۷].



شکل (۴-۲) - پاسخ یک آشکارساز نوعی به محلول رنگی که به طور متوالی به سیستم تزریق شده است

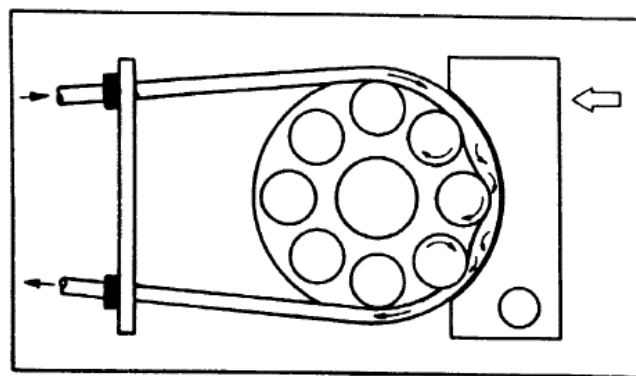
۳-۲-۲-۱- اجزای اساسی در سیستم FIA

در این قسمت اجزای متفاوت بکار رفته در یک سیستم معمولی FIA را معرفی می‌کنیم.

۳-۲-۲-۱-۱- وسایل انتقال دهنده نمونه و واکنشگرهای

انتقال محلول در سیستم تجزیه‌ای تزریق در جریان، دارای اهمیت زیادی است. محلولها باید در یک سرعت جریان ثابت و با کمترین ضربان، در سیستم جریان یابند. روش‌های گوناگونی برای انتقال

محلولها در سیستمهای جریانی وجود دارند. استفاده از پمپ پریستالتیک معمولی ترین روش انتقال نمونه و واکنشگرها در این سیستم‌ها می‌باشد. پمپ پریستالتیک، وسیله‌ای است که با غلطکهای خود سیال را در داخل لوله‌های پلاستیکی فشرده و به جلو می‌راند. اساس کاریک پمپ پریستالتیک در شکل (۲-۵) نشان داده شده است. همان طوریکه در شکل دیده می‌شود، در هر لحظه حداقل سه غلطک با لوله‌ها در تماس بوده و فشار ناشی از آنها می‌تواند جریان پیوسته‌ای از سیالها را درون لوله‌ها ایجاد کند



شکل(۵-۲) - نمایش اثر متقابل غلطکهای پمپ پریستالتیک و لوله‌های آن

پمپ‌های جدید معمولاً ۸ تا ۱۰ غلطک دارند که در یک آرایش دایره‌ای قرار گرفته‌اند و هر لحظه نیمی از غلطکها با لوله‌ها در تماس هستند، این امر باعث می‌شود که جریان ایجاد شده در داخل لوله‌ها تقریباً فاقد ضربان باشد. سرعت جریان محلولها را می‌توان با تنظیم سرعت موتور و انتخاب قطر داخلی لوله‌ها کنترل کرد امروز لوله‌هایی با قطرهای داخلی متنوع از ۴۰/۲۵ میلی‌متر در دسترس هستند که امکان ایجاد جریانهایی از ۵۰۰۰/۰ - ۴۰ میلی‌لیتر بر دقیقه را فراهم می‌کنند، در پمپ‌های پریستالتیک معمولاً غلطکها دارای طول کافی هستند و می‌توانند به طور همزمان در چندین لوله جریان ایجاد کنند.

لوله‌های مورد استفاده در پمپ پریستالتیک از جنس‌های مختلفی ساخته می‌شوند. معمولاً لوله‌ها از جنس پلی و ینیل کلراید، سیلیکون و دیگر مواد پلاستیکی ساخته می‌شوند. نوع لوله مورد استفاده

با توجه به سیال جاری باید انتخاب شود. برای سیالهای آبی و الکلی، می‌توان از لوله‌های پلی وینیل کلراید^{۷۲} استفاده کرد ولی برای حلالهای خیلی اسیدی و یا قلیایی و همچنین محلولهای آلی، باید از لوله‌های مخصوص استفاده کرد [۷۵].

۲-۳-۲-۲- مارپیچ واکنش^{۷۳}

همچنان که در شکل (۳-۲) نشان داده شده است، در اغلب سیستمهای تزریق در جریان، یک لوله مارپیچی وجود دارد که به مارپیچ مخلوط کننده یا مارپیچ واکنش معروف است و هدف از آن، افزایش اختلاط شعاعی نمونه و واکنشگر با همدیگر می‌باشد تا علامت ایجاد شده از این اختلاط بزرگتر و مشخص‌تر باشد [۷۵].

۳-۲-۳- سیستمهای تزریق نمونه^{۷۴}

سیستمهای تزریق نمونه در روش‌های تجزیه‌ای تزریق در جریان، مشابه سیستمهای تزریقی کروماتوگرافی مایع به خصوص HPLC می‌باشند. برای یک تجزیه موفق لازم است که محلول نمونه با سرعت و به صورت یک توده واحد از مایع تزریق شده و در هنگام تزریق در جریان حاصل اغتشاش ایجاد نکند، به همین دلیل مطمئن‌ترین راه تزریق نمونه در جریان پیوسته استفاده از شیر تزریق چرخان^{۷۵} و مدار نمونه برداری^{۷۶} است. شکل ساده‌ای از یک سیستم تزریق شش قسمتی در شکل (۶-۲) نشان داده شده است. در این شکل، دو مرحله پر شدن مدار نمونه برداری و سپس تزریق نمونه مشخص شده است. حجم مدار نمونه برداری بسته به حجم تزریق قابل تغییر است و معمولاً در محدوده ۲۰۰-۵ میکرو لیتر قرار دارد [۷۵].

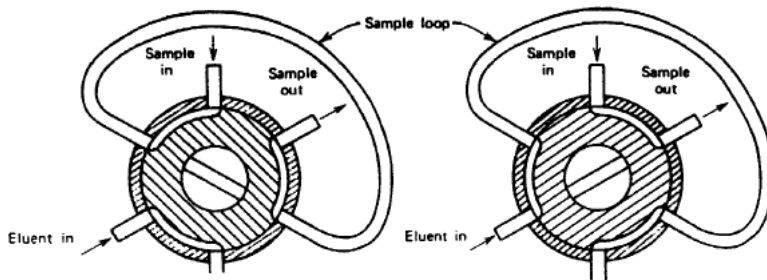
⁷² - Poly vinyl chloride

⁷³ - Reaction coil

⁷⁴ - Injectors

⁷⁵ - Rotatory injection valve.

⁷⁶ - Sampling loop



شکل (۶-۲) - سیستم تزریق شش قسمتی [۷۷]

۴-۳-۲-۲ - آشکار سازها

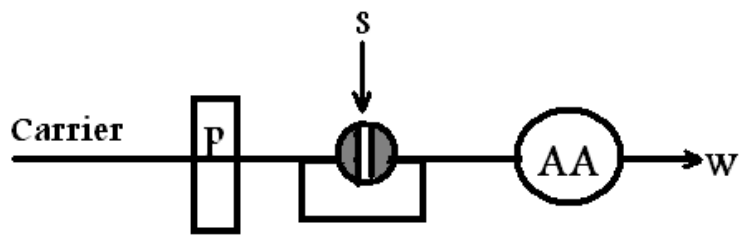
آشکارسازهایی که در سیستم‌های تزریق جریانی استفاده می‌شوند، مشابه آشکارسازهای HPLC می‌باشند. انواع آشکارسازهایی که مورد استفاده قرار گرفته‌اند عبارتند از : جذب و نشر اتمی، جذب ملکولی، فلوئورسانس ملکولی، روش‌های الکتروشیمیایی، شکست سنجی، کدرسننجی، طیف سنجی زیرقرمز با تبدیل فوریه، طیف سنجی رامان، طیف سنجی جرمی و روش‌های رنگ سنجی می‌باشند [۷۵].

۴-۲-۲ - FIA و سیله‌ای برای انتقال دقیق و تکرارپذیر نمونه

یکی از کاربردهای روش FIA استفاده از آن به منظور انتقال دقیق و تکرارپذیر نمونه به سمت یک آشکارساز ویژه است. در استفاده از FIA این اطمینان وجود دارد که تمامی شرایط در چرخه اندازه‌گیری به خوبی ثابت نگه داشته می‌شود.

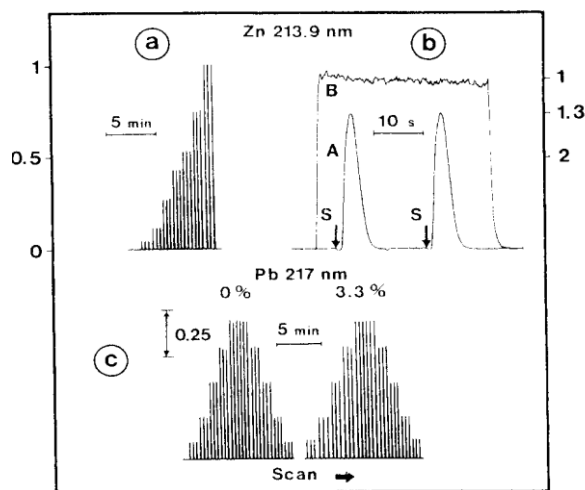
مثالی از کاربرد FIA در انتقال نمونه، ترکیب آن با اسپکترومتری جذب اتمی است. اسپکترومتری جذب اتمی یکی از چندین دستگاههای تجزیه‌ای است که کارآیی آن در ترکیب با FIA بسیار افزایش می‌یابد. شکل (۷-۲) یک سیستم شامل یک خط اتصال ساده بین پمپ و تزریق کننده و اسپکترومتری جذب اتمی شعله را نشان می‌دهد.

^{۷۷} - Detectors



شکل (۷-۲) - یک سیستم شامل یک خط اتصال ساده بین پمپ و تزریق کننده و اسپکترومتری جذب اتمی شعله

طرح نشان داده شده در شکل (۷-۲) امکان دستیابی به انتقال تکرارپذیر و مکرر نمونه را فراهم می کند که این امر در شکل (۸-۲) نشان داده شده است.



شکل (۸-۲) - از سیستم ساده تزریق در جریان پیوسته با آشکار ساز اسپکترومتری جذب اتمی برای تعیین یون های فلزات استفاده می شود. آزمایش در شرایط : سرعت جریان ۴/۹ میلی لیتر بر دقیقه و حجم تزریقی نمونه ۱۵۰ میکرو لیتر انجام شده است. a - منحنی درجه بندی فلز روی در گستره ۰/۰ - ۲/۰ میکرو گرم بر میلی لیتر b - پاسخ ثبت شده به ازای ۱/۵ میکرو گرم بر میلی لیتر روی c - منحنی درجه بندی مربوط به سرب در گستره ۲-۲ میکرو گرم بر میلی لیتر

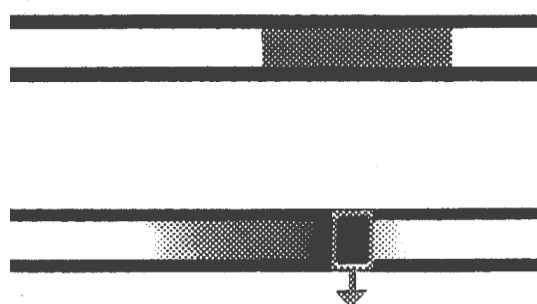
از دیگر مزایای این ترکیب روش FIA با روش جذب اتمی افزایش فرکانس نمونه برداری است. آنچه که دارای اهمیت است این است که در طی زمان لازم برای تزریق یک نمونه به روش تزریق معمولی، با روش FIA امکان تزریق دو نمونه جداگانه وجود دارد. بعلاوه همانگونه که در شکل (۸-۲) قابل مشاهده است روش FIA دقیق و صحیح روش را بالا می برد.

مزیت دیگر این روش این است که آشکارساز نیاز به مدت زمان کوتاهی برای نمایش سیگنال نمونه دارد و در بقیه‌ی زمان آشکارساز، توسط محلول حاصل تمیز می‌شود، بنابراین نسبت زمان شستشو به نمونه گذاری بسیار بالا بوده و در نتیجه امکان مسدود شدن شعله به واسطه میزان نمک بالا بسیار کاهش یافته یا به صفر می‌رسد.

یکی دیگر از کاربردهای FIA استفاده از آن برای انتقال و پیش تغليظ نمونه به صورت بر - خط است. این هدف هنگامی قابل دستیابی است که FIA باراکتورهای ستونی مناسب همراه شود. با توجه به اینکه در این پروژه از روش FIA برای پیش تغليظ و وارد سازی نمونه و AAS به صورت برخط استفاده شده است لذا در بخش‌های بعدی مروری بر این کاربرد FIA می‌کنیم [۷۸].

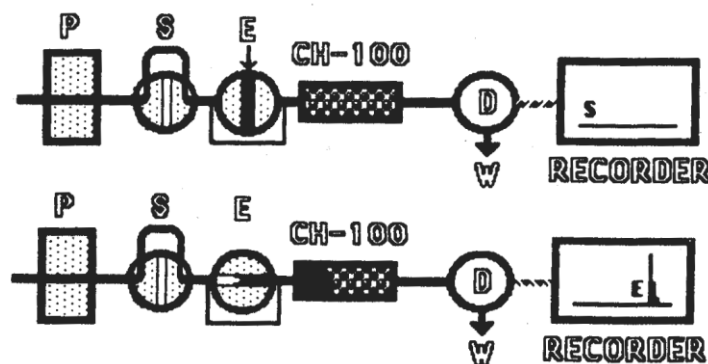
۳-۵-۲- روشن پیش تغليظ بر - خط نمونه به روش FIA

قواعد تکنیک پیش تغليظ بوسیله روش FIA در شکل (۹-۲) نشان داده شده است. همانگونه که در شکل مشاهده می‌شود به وسیله‌ی یک ستون کوچک پر شده غلظت آنالیت در ستون افزایش می‌باید و سپس به وسیله‌ی حجم کوچکی از محلول شسته می‌شود. بعلاوه چگونگی ایجاد پراکندگی کمتر برای نمونه با وارد کردن مقدار نسبتاً زیاد محلول نمونه نشان داده شده است.



شکل (۹-۲) – قاعده روش پیش تغليظ توسط FIA

این روش برای دست یابی به حساسیت در اندازه‌گیری مقدار خیلی کم کاتیون عناصر در محلول‌های خیلی رقیق با آشکارسازی توسط اسپکتروفوتومتری جذب اتمی شعله استفاده می‌شود. هر چرخه نمونه گیری شامل دو عملیات جداگانه است: پیش تغییض و شویش.



شکل(۱۰-۲) - سیستم ساده تک کanalه با دو دریچه FIA برای پیش تغییض بر - خط مقدار بسیار کم یونهای فلزی

ساده‌ترین روش، سیستم FIA تک کanalه که دارای دو دریچه است، می‌باشد. در ابتدا حجم زیادی از نمونه (مثلاً ۵ میلی‌لیتر) توسط دریچه‌ی (S) به درون جریان حامل تزریق می‌شود و به جلو رانده می‌شود. سپس حجمی کوچک از شوینده (همانند ۵۰ میکرولیتر از نیتریک اسید ۱ مولار) توسط دریچه‌ی دوم (E) تزریق می‌شود و آنالیتی را که در حدود ۱۰۰ برابر پیش تغییض شده است به سمت آشکارساز می‌برد. مهمترین مزیت پیش تغییض به صورت بر - خط این است که نمونه و استانداردها متحمل رفتار مشابهی از زمان تزریق تا زمان آشکارسازی می‌شوند و ستون تبادلگر یون صورت مشابه برای همهی نمونه‌ها و استانداردها استفاده می‌گردد و در نتیجه هندسهی جریان و واکنش‌هایی که به دنبال آن رخ می‌دهد در سیستم FIA به صورت دقیق و تکرارپذیر انجام می‌شود. در این روش جذب کمی آنالیت از محلول شرط لازم نمی‌باشد اما شستشوی پس از آن بایستی به صورت کمی انجام شود.

افراد دیگر طرح موجود در شکل (۱۰-۲) را اصطلاح کردند و سیستمی با دو پمپ پیش تغییض ارائه دادند که به طور متناوب کار می‌کنند. مزیت این طرح این است که هنگامی که یک ستون در

مرحله‌ی پیش تغليظ است ستون دیگر در مرحله شويش است يا برعکس. همان‌گونه که چرخه‌ی عملکرد هر يك از ستون‌ها شامل مرحله بارگيري (زمانی که نمونه به درون حلقة داخلی نمونه تزریق می‌شود)، مرحله تبادل یون و مرحله شويش می‌باشد. مرحله شويش بسيار سريعتر از مرحله بارگذاري است. در نتیجه با اين طرح تنها هدف دست یافتنی اصلاح فرکانس نمونه گذاري می‌باشد. نمی‌توان اصلاحاتی در مرحله شويش انجام داد زيرا مراحل تعبيين کننده سرعت مراحل بارگيري و تبادل یون است.^[79]

۳-۲- طیف جذب اتمی

۱-۳-۲- تاریخچه طیف سنجی جذب اتمی

تجزیه‌ی مقادیر کم با پیشرفت علم و تکنولوژی روز به روز اهمیت بیشتری پیدا کرده و روش‌ها و دستگاه‌های ویژه‌ای را برای تجزیه‌ی سریع و حساستر غلظت‌های پایین فلزات در محلول‌های آبی می‌طلبد. روش جذب اتمی با شعله و یا کوره گرافیتی یکی از این تکنیک‌ها بوده و می‌تواند برای تجزیه‌ی حدود ۷۰ عنصر با دقت و حساسیت عالی و انحراف استاندارد بهتر از ۱٪ به کار رود.

تاریخچه‌ی طیف سنجی نوری به سال ۱۶۷۲ بر می‌گردد. در آن زمان نیوتن مشاهده نمود وقتی که نور خورشید از داخل منشور عبور می‌کند به رنگ‌های گوناگونی تجزیه می‌گردد. در سال‌های ۱۸۰۲ و ۱۸۱۷ به ترتیب ولاستون^{۷۸} و فرانهوفر^{۷۹} خطوط جذبی سیاهی را در طیف خورشید مشاهده کردند. اصول بنیادی طیف‌های جذب اتمی توسط بونزن^{۸۰} و کیرشهف^{۸۱} در سال ۱۸۶۰ توصیف گردید. در طی نیمه‌ی اول قرن بیستم روش‌های جذب به طورگستردگی توسعه یافتند. کاربرد واقعی جذب اتمی برای تجزیه‌ی برای مطالعه‌ی فلزات در ستاره‌ها به کار گرفته شد. کاربرد واقعی جذب اتمی برای تجزیه‌ی شیمیابی اولین بار در سال ۱۹۵۵ توسط والش^{۸۲}، آلکیمید^{۸۳}، میلاتز^{۸۴} انجام گرفت. والش طرح جذب اتمی را در سال ۱۹۵۳ ارائه داد و این دستگاه به صورت تجاری در سال ۱۹۵۹ وارد بازار شد[۸۰].

۲-۳-۲- دستگاه‌های جذب اتمی

اجزای سازنده‌ی دستگاه‌های اسپکتروسکوپی جذب اتمی عبارتند از :

۱. منبع تابش

۲. نگهدارنده‌ی نمونه

⁷⁸ - Welaston

⁷⁹ - Fraunhofer

⁸⁰ - Bunsen

⁸¹ - Kirchoff

⁸² - Walsh

⁸³ - Alkemade

⁸⁴ - Milatz

۳. طول موج گزین

۴. آشکار ساز

۵. تقویت کننده

۶. پردازشگر علامت

۲-۳-۳- منابع تابش اولیه

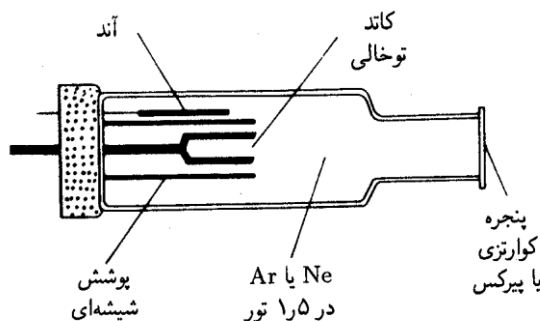
متداولترین منابع تابش مقدماتی مورد استفاده لامپ کاتدی تو خالی^{۸۵} (HCL) و لامپ تخلیه بدون الکترود (EDL)^{۸۶} هستند. هر دو این لامپ‌ها بر اساس تخلیه در فشار پایین می‌باشند. لامپ‌های کاتدی تو خالی (HCL_s) متداولترین منبع برای اندازه گیری‌های جذب اتمی، است. تصویر این لامپ در شکل (۱۱-۲) نشان داده شده است. این لامپ متشکل از یک لوله شیشه‌ای با دیواره‌ی ضخیم است که در یک سر آن پنجره‌ای شفاف تعبیه شده است. دو سیم تنگستن در داخل سر دیگر لوله لحیم شده‌اند. یکی از این سیم‌ها به عنوان آند عمل می‌کند. به انتهای سیم دیگر یک استوانه‌ی تو خالی فلزی وصل شده است. این استوانه به عنوان کاتد عمل کرده و از جنس فلزی است که طیف آن مورد نظر است و یا برای نگهداری لایه‌ای از این فلز عمل می‌کند. لوله با گاز خالص نئون و یا آرگون پر می‌شود. یونش گازی بی اثر هنگامی اتفاق می‌افتد که پتانسیلی به بزرگی ۳۰۰ ولت بین دو الکترود اعمال و جریانی در حدود ۱۵-۵ میلی‌آمپر در اثر مهاجرت یونها و الکترونها تولید شود. اگر پتانسیل به اندازه‌ی کافی بزرگ باشد، کاتیون‌های گازی انرژی جنبشی کافی برای کندن بعضی از اتم‌های فلزی از سطح کاتد را کسب و یک ابر اتمی تولید می‌کنند. این فرایند را بیرون اندازی^{۸۷} می‌نامند. بخشی از اتم‌های فلزی بیرون انداخته شده در حالت‌های برانگیخته اند و بنابراین تابش ویژه

^{۸۵} - Hollow Cathod Lamp(HCL)

^{۸۶} - Electrodeless Discharge Lamp

^{۸۷} - Sputtering

ی خود را هم چنان که به حالت پایه بر می گردند نشر می کنند. در نهایت اتم های فلزی مجدداً به سطح کاتد یا دیواره های شیشه ای لوله نفوذ می کنند و ته نشین می شوند [۸۱].



شکل(۱۱-۲) – سطح مقطع شماتیک یک لامپ کاتدی تو خالی [۸۱]

۴-۳-۲- اتم سازها در جذب اتمی

در یک تجزیه اتمی عناصر موجود در نمونه باید به صورت ذرات اتمی و خنثی کاهیده شده و تبخیر گردد و به طریقی در مسیر پرتو تابش پاشیده شوند که تعداد اتم ها به نحو تکرار پذیری متناسب با غلظت آنها در نمونه باشد. انواع اتم سازها در جدول (۱-۲) فهرست شده است. از بین اتم سازهای ذکر شده در این جدول ، اتم سازهای شعله ای به دلیل کاربرد در اینجا توضیح داده می شود [۸۱].

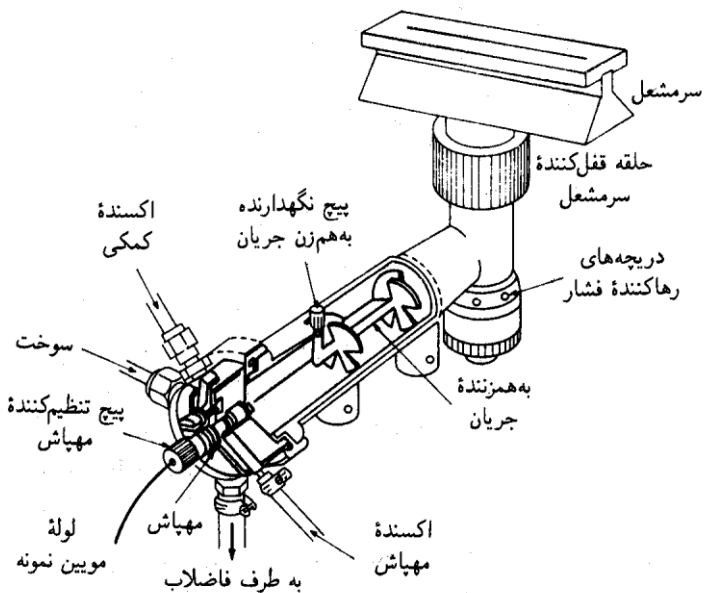
جدول (۱-۲) – انواع اتم سازهای به کار گرفته شده برای اسپکتروفتوometری اتمی

نمای اتم سازی نوعی (C)	نوع اتم ساز
۳۱۵۰ تا ۱۷۰۰	شعله
۳۰۰۰ تا ۱۲۰۰	تبخیر الکترو گرمایی
۶۰۰۰ تا ۴۰۰۰	پلاسمای جفت شده ای القایی
۶۰۰۰ تا ۴۰۰۰	پلاسمای آرگون با جریان مستقیم
۳۰۰۰ تا ۲۰۰۰	پلاسمای آرگون القایی ریز موج
نا گرمایی	پلاسمای تخلیه ای افزوشی
۵۰۰۰ تا ۴۰۰۰	قوس الکتریکی
۴۰۰۰	جرقه ای الکتریکی

۲-۳-۴-۱- اتم سازهای شعله ای

اتم سازهای شعله ای در اسپیکتروفوتومتری جذب اتمی، فلوئورسانی و نشری به کار گرفته می شوند. از نظر رفتار تکرار پذیری، به نظر میرسد که اتم سازی با شعله بر روش هایی مانند تبخیر الکتروگرمایی، قوس الکتریکی، جرقه الکتریکی و ... به استثنای پلاسمای جفت شده القایی برتری دارد. از نظر کارایی نمونه برداری و بنابراین حساسیت، سایر روش های اتم سازی خیلی بهترند. علت این عیب روش های شعله ای کوتاه بودن زمان توقف اتم های آزاد در مسیر جذب بوده در نتیجه موجب بازده پایین سیستم مشعل - مه پاش می شود. عامل دیگر رقیق سازی اتم های آن با گازهای احتراقی می باشد.

در جذب اتمی بیشتر، از دو نوع مشعل تمام مصرف کن و پیش مخلوط کن استفاده می شود. در مشعل تمام مصرف کن محلول نمونه، سوخت و اکسیدان از داخل کانال های جدا انتقال داده می شود. سپس در دهانه پایه مشعل شعله با یکدیگر مخلوط می شوند. در مشعل پیش مخلوط کن نمونه به داخل یک محفظه بزرگ به وسیله جریانی از اکسیده مکیده می شود (اثر برنولی) ^{۸۸} سپس مه رقیق نمونه، اکسیده و سوخت مخلوط می شوند و سپس به طرف دهانه مشعل رانده می شوند. مشعل های پیش مخلوط کن، مشعل هایی با جریان آرام، شعله ای نسبتاً بی صدا و با طول مسیر بلند فراهم می کنند. این خواص سبب بهتر شدن حساسیت و تکرار پذیری می شوند. در این نوع مشعل محفظه پیش مخلوط کن حاوی مخلوطی از گازهای منفجره است. که اگر سرعت های جریان کافی نباشند، ممکن است با پس زدن شعله مشتعل شود. به همین دلیل سیستم به دریچه رها کننده ی فشار مجهر شده است. در عمل به دلیل حساسیت و تکرار پذیری بالا و مسدود شدن کمتر دهانه شعله و غیره مشتعل پیش مخلوط کن بر مشعل تمام مصرف کن ترجیح داده می شود [۸۱]. تصویر یک مشعل پیش مخلوط کن در شکل (۱۲-۲) نشان داده شده است [۸۱].



شکل (۱۲-۲) - تصویر یک مشعل پیش مخلوط کن [۸۱]

۳-۴-۳-۲- مه پاش

تشکیل اتم های آزاد در شعله و پلاسمما به خصوصیات سیستم انتقال دهنده مه پاش - اتمی کننده وابسته است. نوع مه پاش استفاده شده بر روی بازده مه پاشی، حلال زدایی و تبخیر تاثیر می گذارد. در اینجا متدائل ترین انواع مه پاش های مورد استفاده در اسپکترومتری اتمی ذکر شده و به جهت کاربرد وسیع مه پاش های بادی این نوع مه پاش ها توضیح داده می شوند [۸۱].

۱- مه پاش های بادی^{۸۹}

۲- مه پاش متخلخل^{۹۰}

۳- مه پاش مافق صورت^{۹۱}

۴- مه پاش برای مواد جامد معلق زیاد^{۹۲}

۵- مه پاش مولد قطرات مجزا^{۹۳}

⁸⁹ - Pneumatic Nebulizer

⁹⁰- Frit Nebulizer

⁹¹- Ultrasonic Nebulizer

⁹²- High Solid Nebulizer

⁹³- Isolated Droplet Generator Nebulizer

۳-۴-۳-۲- مه پاش بادی

متداولترین مه پاش ها، مه پاش بادی است. این مه پاش ها به دو صورت مه پاش های بادی متحدالمرکز^{۹۴} و مه پاش های بادی عمومی^{۹۵} وجود دارند. در این مه پاش ها یک جریان متراکم گاز (اکسیدان)، محلول را به صورت مه یا افشاره در می آورد [۸۱].

سرعت و راندمان مه پاشی به پارامترهای زیر وابسته است :

۱. میزان افت فشار در طول لوله های موئینه نمونه
۲. قطر لوله موئینه (سرعت مکش با عکس توان چهارم قطر لوله ی موئینه ارتباط دارد.)
۳. ویسکوزیته محلول (اثر معکوس)

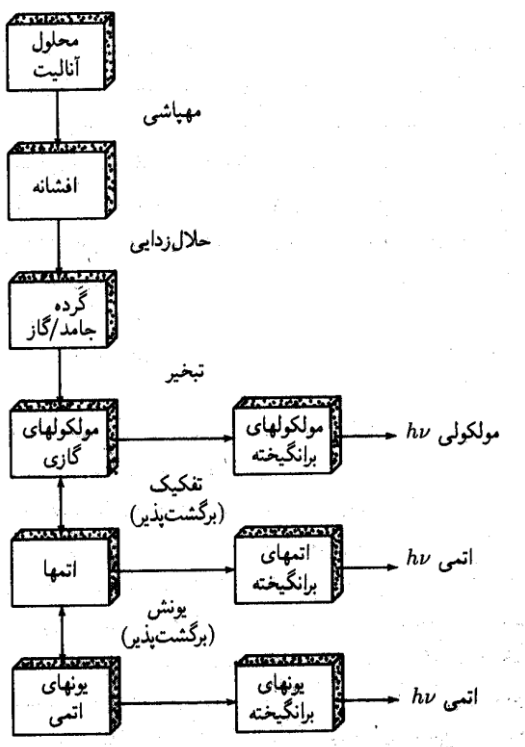
۳-۵- فرآیندهای لازم برای تشکیل گونه های اتمی

فرآیندهای لازم برای تبدیل محلول نمونه به بخار اتمی با وارد کردن پیوسته نمونه به اتم ساز، در شکل (۱۴-۲) نشان داده شده است.

همانطور که مشاهده می شود سیستم وارد کننده نمونه، نمونه را به صورت افشاره ای با قطرات بسیار ریز به محیط شعله وارد می کند. چنین فرآیندی به اصطلاح مه پاشی نامیده می شود. دمای بالای شعله باعث تبخیر حلال و سپس تبخیر آتروسل خشک باقیمانده می شود. هنگامی که اتم های آزاد شکل می گیرند می توانند توسط برخورد با تابش برانگیخته شوند تا خطوط طیفی حاصل شود و با اینکه با تشکیل اتم های آزاد این اتم ها در معرض تابش منبع برانگیخته شده و باعث کاهش در شدت تابش منبع می شوند [۸۱].

^{۹۴} - Concentric Pneumatic Nebulizer

^{۹۵} - Angular or Cross Flow Pnumatic Nebulizer



شکل (۱۳-۲) - فرایند های انجام شده طی اتمسازی

۶-۳-۲- اصول اندازه گیری در اسپکتروسکوپی جذب اتمی

فرآیند تجزیه ای در اسپکتروسکوپی جذب اتمی شامل تبدیل مولکول ها با یون ها به اتم های آزاد و سپس اندازه گیری میزان جذب تابش به وسیله این اتم های آزاد می باشد .

بر اساس رابطه ای (۱-۱) جذب در اتم ها از قانون بیر پیروی می کند :

$$I_1 = I_0 e^{-a \cdot b \cdot c}$$

در این رابطه I_1 مقدار نور خارج شده از یک محلول، I_0 شدت نور وارد شده به محلول a ضریب جذب، b طول مسیر نور، C غلظت محلول می باشند.

اگر چه اصول پایه ای قانون بیر - لامبرت در اسپکتروسکوپی جذب اتمی به کار برده می شود، در عمل به کار بردن این رابطه به صورتی که هست برای اندازه گیری غلظت آنالیت، امکانپذیر نمی باشند. این بدان جهت است که در اسپکتروسکوپی مولکولی محلول های مورد تجزیه یکنواخت بوده و غلظت مولکولی در تمام طول مسیر جذب نور ثابت می باشد. لیکن در یک سیستم از اتم های

آزاد، غلظت اتم های آزاد در طول مسیر جذب نور ثابت نمی ماند. به این دلیل قانون بیر - لامبرت را نمی توان مستقیما برای تعیین غلظت اتم های آزاد از محلول نمونه به کار برد. تعداد اتم ها در مسیر نور در حالت تعادل ترمودینامیکی با محلول نمونه و با محصولات احتراق می باشد. این تعداد اتم های آزاد، به غلظت فلزی که در نمونه تعیین می شود، بستگی دارد. بنابراین می توان یک منحنی استاندارد که میزان جذب را به غلظت ارتباط می دهد رسم کرد. در درجه حرارت هایی که معمولا در اتم کننده های شعله ای با آن مواجه هستیم، قسمت اعظم اتم های آزاد در حالت پایه به سر می بند. حتی اگر تعداد اتم های برانگیخته شدیدا افزایش یابد، تعداد کل اتم های غیر برانگیخته تقریبا به طور غیر قابل محسوسی تغییر می کند. برای یک مجموعه داده شده از اتم ها، حالت پایه پر جمعیت ترین حالت بوده و در محدوده خطای تجربی مستقل از درجه حرارت می باشد. همچنین هیچ عاملی که ارتباط طول موج جذب را به جذب کل نشان دهد ، وجود ندارد . برخلاف نظر ، مقدار کل جذب مستقل از طول موج جذب می باشد. [۸۲]

فصل سوم

تجربی

پیش تغليظ و اندازه گيري پيوسته مقادير بسيار کم کادميوم به روش جذب اتمي

با توجه به اينکه کادميوم عنصری سمى است و حتی در مقادير بسيار کم آن هم ايجاد سمييت مى نماید اندازه گيري دقيق و صحيح آن در نمونه هاي مختلف محيطی از اهميت زياطي برخوردار است. در اين پروژه يك روش بسيار حساس برای اندازه گيري کادميوم بر اساس پیش تغليظ جريان پيوسته و اسپکترومتری جذب اتمي ارائه خواهد شد.

۳-۱- مواد شيميايي و محلول هاي مورد استفاده و طرز تهيه ي آنها

جدول (۱-۳) – مواد شيميايي مورد نياز در تهيه محلولها و مواد استفاده شده

شرکت	فرمول	ماده
مرک	$Cd(NO_3)_2 \cdot 3H_2O$	کادميوم نيترات سه آبه
مرک	HNO_3	نيتريلك اسيد
مرک	$K_2HPO_4 \cdot 7H_2O$	دي پتانسيم هيدروژن فسفات
مرک	$NaH_2PO_4 \cdot 2H_2O$	سديم دى هيدروژن فسفات
مرک	$C_8H_{11}O_2$	۲ - هيdroكسي نفتالدهيد
مرک	$C_4H_{13}N_3$	دي اتيلن ترى آمين
مرک	C_9H_9Cl	پلي استيرن كلرو متيله
مرک	C_4H_8O	دي اكسان
مرک	CH_3OH	متانول

در تهيه ي تمام محلول ها از آب دو بار نقطير و مواد شيميايي با خلوص تجزيه اي استفاده شد.
محلول کادميوم با غلظت ۱۰۰۰ ميلى گرم بر ليتر از انحلال ۰/۲۷۴۸ گرم از نمک کادميوم (II) نيترات سه آبه ۹۹/۰ درصد در بالن حجمي ۱۰۰ ميلى ليتر تهيه شد. محلول هاي با غلظت کمتر در هر روز از محلول غليظ تهيه مى شد.

محلول نيتريک اسيد ۱/۰ مولار از انحلال ۰/۷۶ ميلى ليتر نيتريک اسيد غليظ در بالن حجمي ۱۰۰ ميلى ليتری تهيه شد.

محلول بافر با $pH=7/0$ از اختلاط حجم های معین از محلول های $1/15$ مولار سدیم دی هیدروژن فسفات و $1/15$ مولار دی پتاسیم هیدروژن فسفات و تنظیم pH محلول به کمک pH متر تهیه شد.

۳-۲- تهیه لیگاند N,N -بیس (نفتیلیدن ایمینو) دی اتیلن تری آمین

لیگاند طبق روش ذکر شده در مراجع [۸۳-۸۴] تهیه شد. $17/2$ گرم ($0/1$ مول) 2 -هیدروکسی نفتالدهید در $75/0$ میلی لیتر متانول حل شده و قطره قطره به محلول حاوی $5/15$ گرم ($0/050$ مول) دی اتیلن تری آمین حل شده در $25/0$ میلی لیتر متانول در یک بالن رفلaksن $250/0$ میلی لیتری اضافه گردید. سپس مخلوط واکنش به مدت یک ساعت رفلaksن گردید. بعد از کاهش حجم محلول به 50 میلی لیتر، اضافی حلال تحت جریان هوا تبخیر شد. در نهایت مایع ویسکوز زرد رنگ حاصل شده در شرایط خلأ خشک گردید. نتایج حاصل از طیف IR و UV-Vis به صورت زیر می باشد:

$750, 845, 1045, 1145, 1215, 1280, 1460, 1583, 1635, 2885, 2950, 3450$ IR(KBr) :

cm^{-1}

$220, 247, 285, 310, 400_{\text{max}}(\text{nm})$: λ UV-Vis,

۳-۳- واکنش لیگاند N,N -بیس (نفتیلیدن ایمینو) دی اتیلن تری آمین با پلی

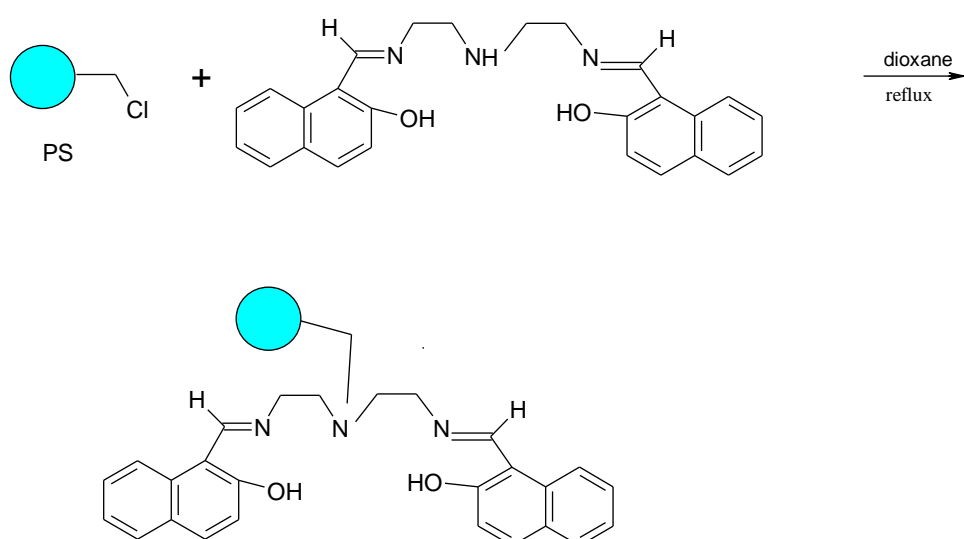
استیرن کلرو متیله

در یک بالن 100 میلی لیتری مقدار $5/0$ گرم از پلی استیرن کلرومتبیله به 50 میلی لیتر دی اکسان اضافه شد. سپس مقدار $2/0$ گرم از لیگاند N,N -بیس (نفتیلیدن ایمینو) دی اتیلن تری آمین اضافه گردید. مخلوط واکنش به مدت دو روز رفلaksن شد. پس از آن محتوی بالن را دکانته کرده و ابتدا چند بار با دی اکسان و سپس چندین بار با متانول شستشو داده شد و جهت خشک

کردن به مدت دو ساعت در آون 100°C قرارداده شد. مقدار نیتروژن بر اساس آنالیز عنصری برابر ۳/۴۵٪ بدست آمد. نتایج حاصل از طیف IR و به صورت زیر می باشد:

IR(KBr): ۳۴۲۵, ۳۰۲۵, ۲۹۱۵, ۱۶۳۵, ۱۵۸۶, ۱۴۷۷, ۱۴۵۲, ۱۴۲۶, ۱۳۴۹, ۱۲۸۰, ۱۲۱۰, ۱۱۵۰, ۱۰۷۰, ۱۰۵۰, ۹۸۵, ۹۰۵, ۸۶۵, ۸۴۵, ۷۵۰, ۶۹۷, ۵۶۳, ۴۹۰ cm^{-1}

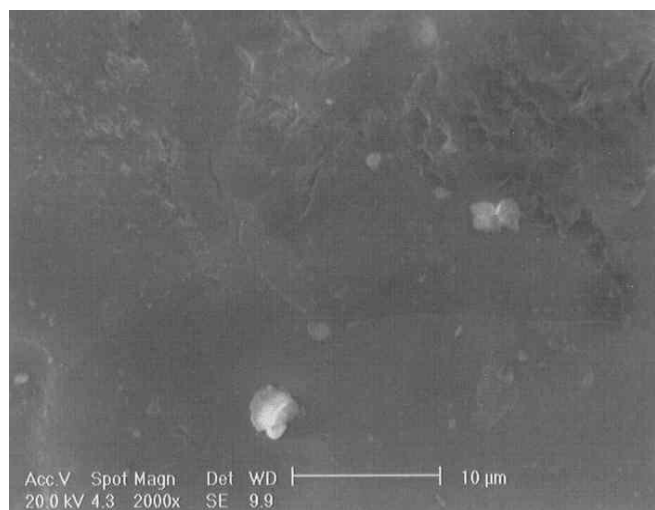
واکنش لیگاند N,N-بیس (نفتیلیدن ایمینو) دی اتیلن تری آمین با پلی استیرن در شکل (۱-۳) نشان داده شده است.



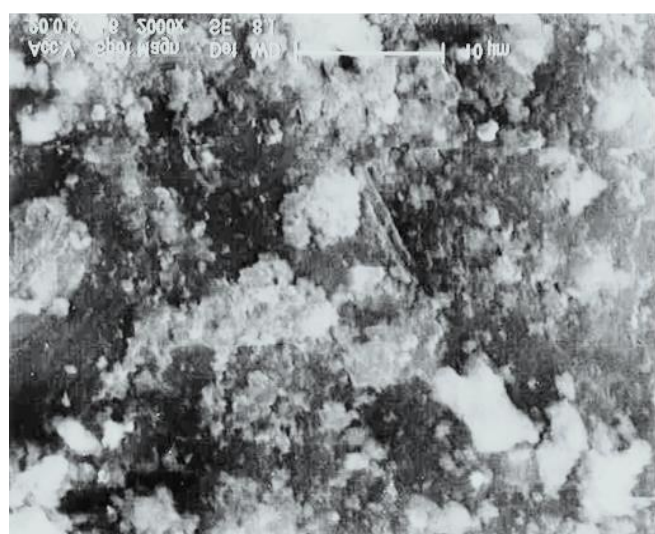
شکل (۱-۳)- واکنش لیگاند N,N-بیس (نفتیلیدن ایمینو) دی اتیلن تری آمین با پلی استیرن

به منظور تأیید اتصال لیگاند برروی پلیمر طیف IR آن در نواحی $4000-400\text{cm}^{-1}$ ثبت شد. پیک مربوط به C-Cl گروه های CH_2Cl پلیمر در ناحیه 1264 cm^{-1} ظاهرمی گردد و بعد از اتصال لیگاند به پلی استیرن این پیک حذف می گردد و همچنین پیک در نواحی 1635cm^{-1} مربوط به پیوند ایمینی $\text{C}=\text{N}$ - لیگاند در طیف IR پلیمر اصلاح شده با لیگاند ظاهر می شود در حالیکه این پیک در طیف IR پلیمر به تنها یی ظاهر نمی گردد. این شواهد بیانگر اتصال کمپلکس برروی پلیمر است. تصاویر میکروسکوپ پویشی الکترونی^۶ لیگاند آن در شکل (۲-۳) نشان می دهد که وجود ناهمواری سطح در پلیمر اصلاح شده در مقایسه با پلی استیرن افزایش یافته است که حاکی از اتصال لیگاند آزاد

به پلیمر می باشد. بر اساس آنالیز عنصری مقدار نیتروژن برابر $3/45\% / 82\%$ میلی مول بر گرم) به دست آمده است، که نشان می دهد تنها ۵۸ درصد از کل اتم های کلر در پلیمر توسط اتم های آمین لیگاند استخلاف شده است.



(الف)



(ب)

شکل (۲-۳)- تصویر SEM: (الف) پلی استایرن کلرومتیله (ب) لیگاند متصل به پلی استایرن

۴-۳- تهیه ستون پیش تغليظ

برای تهیه ستون پیش تغليظ از لوله های پلی اتيلنی با قطر داخلی ۲ میلی متر استفاده شد. مقدار معینی از پلی استيرن اصلاح شده توسط ليگاند N,N-بيس (نتيليدين ايمينو) دی اتيلن تری آمين برای پر کردن ستون به طول ۵/۰ سانتی متر به روش خشك استفاده شد. به منظور خارج نشدن ماده پر کننده ستون دو انتهای آن توسط پشم شيشه مسدود شد. پس از پر کردن و آماده سازی ستون، ابتدا به مدت ۱ دقيقه آب دوبار تقطير و سپس به مدت ۳۰ ثانية نيتريک اسيد ۲/۰ مولار برای شستشو عبود داده شد. مقدار اضافي اسيد با عبور آب دوبار تقطير تا نزديك به خنثی شدن شسته شد.

۵-۳- وسائل و دستگاه های لازم

تمامی اندازه گيري ها توسط دستگاه اسپکترومتر جذب اتمی شعله اي شيمادزو AA-670 مجهرز به لامپ كاتدی تو خالي كادميوم و شعله اي هوا- استيلن انجام شد. پaramترهاي دستگاهی مطابق با شرایط مطابق با جدول (۲-۳) تنظيم گردید.

جدول (۲-۳) - تنظيمات دستگاهی اسپکترومتر جذب اتمی شعله

عنصر	كادميوم
طول موج (nm)	۲۲۸/۸
جريان لامپ (mA)	۴
پهنه اي شكاف (nm)	۰/۳
سرعت جريان استيلن (L/min)	۱/۸
سرعت جريان هوا (L/min)	۸
ارتفاع شعله (mm)	۶
طول مشعل (cm)	۱۰

برای تنظیم pH محلول های بافری از دستگاه pH متر مدل ۷۴۴ ساخت شرکت متراهم^{۹۷} مجهز به الکترود شیشه‌ی ترکیبی استفاده شد. برای پمپ محلول نمونه از یک پمپ پریستالتیک مدل

۵۲۰۱

(شرکت هایدولف^{۹۸}) مجهز به لوله‌های با جنس تایگون^{۹۹} با قطرهای داخلی متفاوت و سرعت چرخش موتور قابل تنظیم استفاده گردید. سرعت جریان موردنظر از نمونه با بکارگیری لوله‌های تایگون با قطر مناسب و تنظیم سرعت چرخش موتور پمپ تنظیم گردید. شیر انتخاب^{۱۰۰} شش راهه رئوداین^{۱۰۱} مدل ۱۱۵ ساخت شرکت سابلکو برای مراحل پیش تغليظ و شويش استفاده شد. لوله‌های پلی اتيلنی با قطر ۲ میلی متر برای تهيه‌ی ستون فاز جامد استفاده گردید. تصاویر SEM بوسيله‌ی شيمادزو مدل XL ۳۰ ساخت شرکت فيليپس به دست آمد. طيف UV-Vis بوسيله‌ی اسپکتروفوتومتر شيمادزو IR-۴۷۰ و طيف‌های IR بوسيله‌ی اسپکتروفوتومتر شيمادزو مدل UV-۱۶۰ به دست آمد.

۶-۳- طراحی سیستم پیش تغليظ جريان پيوسته

سيستم پیش تغليظ پيوسته که برای اندازه‌گيري مقادير ناچيز کادميوم مورد استفاده قرار گرفت سعی شد تا حد ممکن ساده و بدون پيچيدگی باشد. در شکل (۳-۳) طرح کلي اين سیستم به در دو حالت پیش تغليظ و شويش به صورت جداگانه نشان داده شده است.

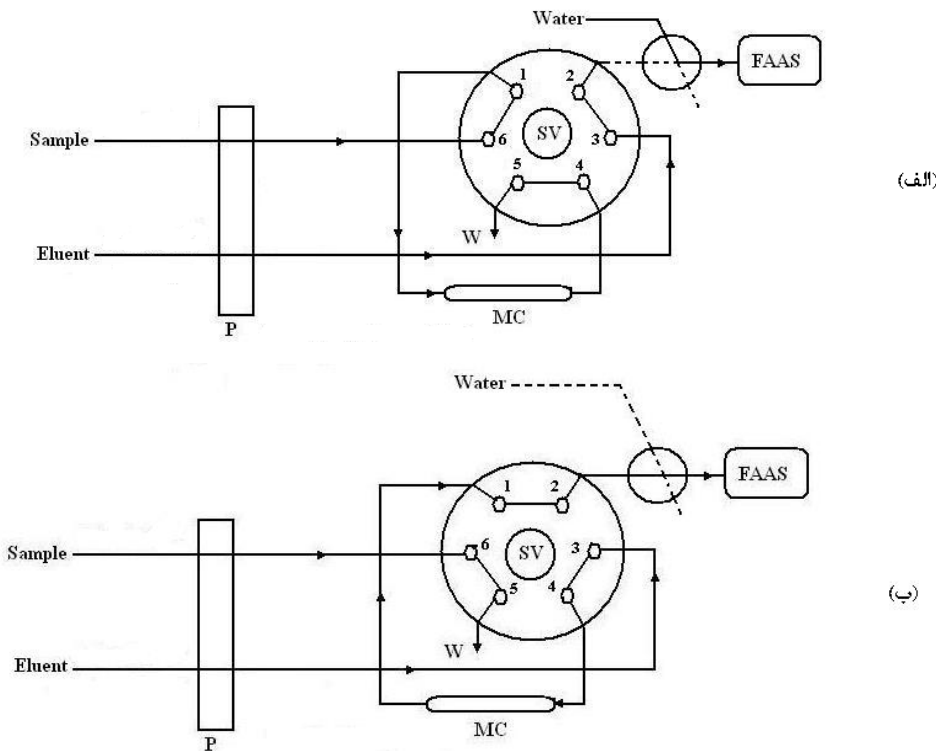
⁹⁷ - Metrohm

⁹⁸ - Hidolph

⁹⁹ - Tygon

¹⁰⁰ - Selection Valve (SV)

¹⁰¹ - Rheodyne



شکل (۳-۳) - طرح شماتیک سیستم مورد استفاده در این پروژه. الف) طرح شیر انتخاب در حالت پیش تغليظ (Elution). ب) طرح شیر انتخاب در حالت شویش ستون (Preconcentration)

بر اساس سیستم طراحی شده ستون پیش تغليظ مستقیماً به شیر انتخاب متصل شده و مقدار نمونه مورد نظر برای پیش تغليظ بر اساس زمان عبور نمونه از ستون تنظیم می شود. به اين صورت که ابتدا شیر انتخاب در حالت پیش تغليظ قرار می گيرد و نمونه به کمک پمپ و تحت سرعت جريان مشخصی از ستون عبور داده می شود تا اينکه کادميوم موجود در نمونه بر روی ستون جذب شود. پس از گذشت زمان معينی (بسته به حجم مورد نظر برای پیش تغليظ) با چرخش شیر انتخاب محلول شوينده از ستون عبور می کند و کادميوم بازداری شده توسط ستون، بوسيله جريانی از شوينده شسته شده و وارد مهپاش دستگاه جذب اتمی می شود و سيگنالهای تجزيه اى نمونه در اين حالت بوسيله دستگاه جذب اتمی ثبت می شود. در اين سیستم همانطور که مشاهده می شود نمونه گيری با استفاده از جريان تولید شده به وسیله پمپ صورت می گيرد. مزیت اين حالت اتلاف زمان کم بين دو تزریق متوالی نمونه و سرعت بیشتر آنالیز است.

۷-۳- روش بهینه سازی عوامل مؤثر بر سیستم

کلیه روش‌های تجزیه ای تابعی از عوامل مختلفی هستند که هر کدام به نحوی در مکانیزم عمل و در پاسخ دخالت دارند. در بهینه سازی این عوامل در یک سیستم تجزیه ای از روش‌های مختلفی می‌توان استفاده کرد. ساده‌ترین آنها روش تک عاملی می‌باشد. در این روش کلیه عوامل دخیل، به جز یکی از آنها ثابت در نظر گرفته می‌شوند و تغییرات یک عامل روی پاسخ سیستم بررسی می‌شود و با انتخاب پاسخ بهینه در این حالت، بقیه عوامل به همین ترتیب بهینه می‌شوند.

روش تک عاملی نیاز به زمان، امکانات و تعداد آزمایشات کمتری دارد و به همین دلیل در این تحقیق برای بهینه سازی سیستم از روش تک عاملی استفاده شده است. در این کار به منظور فراهم نمودن بهترین حساسیت و در نتیجه بهترین حد تشخیص، پارامترهای مختلف شیمیایی و دستگاهی مؤثر بر روی عملکرد سیستم که مورد بررسی قرار گرفتند که به ترتیب عبارتند از :

۱- pH نمونه

۲- حجم بافر

۳- نوع شوینده

۴- غلظت شوینده

۵- سرعت جریان نمونه و شوینده در حجم پیش تغليظ ثابت

۶- حجم پیش تغليظ

۷- طول ستون (مقدار مواد پر کننده ی ستون)

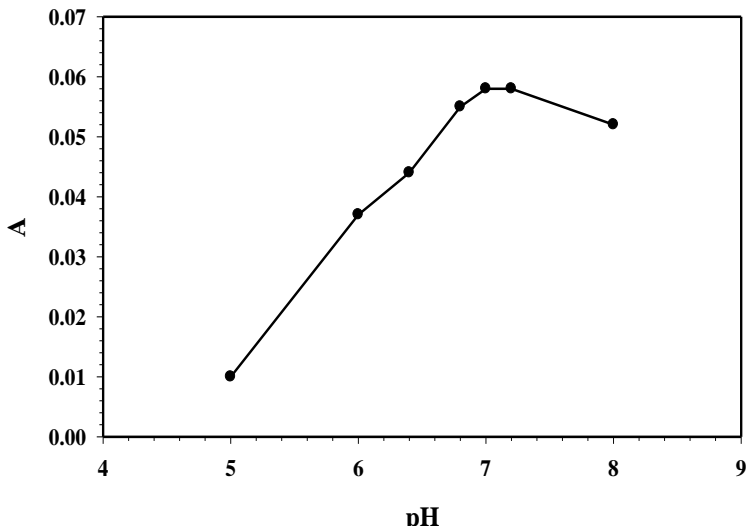
۸- قدرت یونی (اثر نمک)

۳-۷-۱- بررسی و بهینه سازی pH محیط

در این بررسی ابتدا محلولهای بافر، شامل بافر استاتی $pH = 4.0 - 6.0$ و فسفاتی در محدوده $8.0 - 10.0$ pH تهیه شد. در مرحله اندازه‌گیری 10 میلی لیتر از محلول 0.1 میلی گرم بر لیتر کادمیوم که توسط هر یک از بافرهای تهیه شده ($1/10 \text{ میلی لیتر}$ بافر در بالن حجمی 100 mL) در pH مورد نظر بافری شده است با عبور از ستون $5/0 \text{ سانتی متری}$ در سرعت جريان $3/3 \text{ میلی لیتر}$ بر دقیقه پيش تغليظ شد. پس از گذشت 180 ثانية زمان پيش تغليظ، مطابق با سيسitem طراحی شده در شكل (۳-۳) با چرخش شير انتخاب در موقعیت عبور شوينده، هيدروکلریك اسید $2/0 \text{ مولار}$ با سرعت $3/3 \text{ میلی لیتر}$ بر دقیقه از ستون عبور داده شد و خروجی ستون که شامل کادمیوم بازداری شده در ستون است وارد مهپاش دستگاه جذب اتمی گردید. سیگنال های تجزیه ای برای محلول های نمونه با pH های مختلف توسط FAAS اندازه گیری و ثبت شدند. سیگنالهای حاصل در جدول (۳-۳) گزارش شده و نمودار حاصل از تغییرات جذب با pH در شکل (۴-۳) نشان داده شده است. همان طور که مشاهده می شود در محدوده $pH = 6.8 - 7.2$ مقدار سیگنال بیشتر بوده و تقریباً ثابت می باشد که شرایط به عنوان pH بهینه برای مطالعات بعدی در نظر گرفته شد.

جدول (۳-۳) - نتایج حاصل از بررسی اثر pH نمونه

جذب	pH
0.010	5.0
0.037	6.0
0.044	6.4
0.055	6.8
0.058	7.0
0.058	7.2
0.052	8.0



شکل (۴-۳) - بررسی اثر pH نمونه. شرایط : حجم محلول پیش تغليظ ۱۰ میلی لیتر ، غلظت کادمیوم ۱۰/۰ میلی گرم بر لیتر، ۱ میلی لیتر بافر مورد نظر در بالن حجمی ۱۰۰ میلی لیتری ، سرعت جريان آناليت $\frac{2}{3}$ میلی لیتر بر دقيقه ، سرعت جريان شوينده $\frac{3}{2}$ ميلی لیتر بر دقيقه ، طول ستون ۵/۰ سانتي متر و هيدرو كلريک اسيد ۲/۰ مولار به عنوان شوينده ، زمان پیش تغليظ ۱۸۰ ثانيه و زمان شويش ۳۰ ثانيه

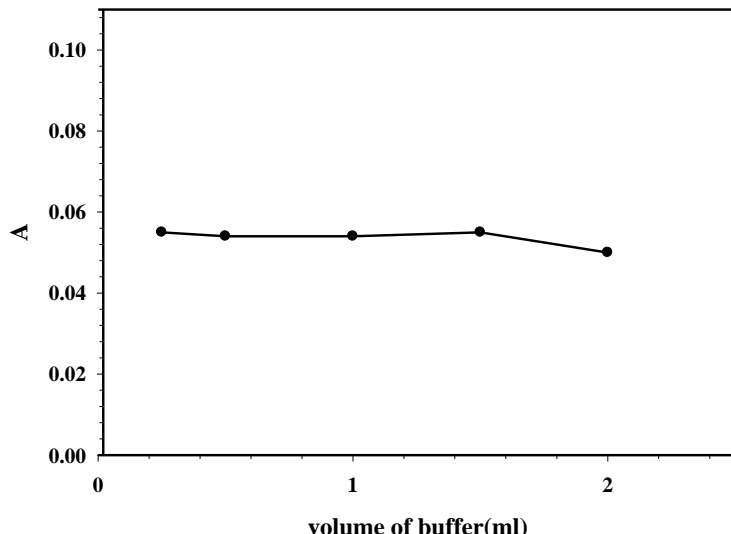
۲-۷-۳- بررسی و بهينه سازی حجم بافر

در اين مطالعه، با اضافه کردن بافر با $pH=7/0$ در محدوده حجمی ۲۵-۲۰/۰ میلی لیتر به ۱۰۰ میلی لیتر محلول ۱۰/۰ میلی گرم بر لیتر کادمیوم، تاثير حجم بافر بر روی سيگنال تجزيه اى بررسی شد. روش کار به اين صورت بود:

۱۰ ميلی لیتر از هر يك از محلول هاي تهييه شده که حاوي حجم هاي متفاوتی از محلول بافر $pH=7/0$ بودند با سرعت جريان $\frac{3}{2}$ ميلی لیتر بر دقيقه از ستون ۵/۰ سانتي متری عبور داده شد. پس از گذشت ۱۸۰ ثانие زمان پیش تغليظ با چرخش شير انتخاب، هيدرو كلريک اسيد ۲/۰ مولار با سرعت $\frac{3}{2}$ ميلی لیتر بر دقيقه از ستون عبور داده شد و خروجی ستون وارد مهپاش دستگاه جذب اتمى شده و سيگنال جذب هر يك از محلولها ثبت شد. نتایج و نمودار حاصل از اين بررسی در جدول (۴-۳) و شکل (۴-۵) نشان داده شده است. نتایج نشان می دهد که حجم بافر تاثير زيادي بر سيگنال تجزيه اى به دست آمده ندارد. لذا حجم بافر ۱/۰ ميلی لیتر در بالن حجمی ۱۰۰ ميلی لیتری به عنوان مقدار بهينه انتخاب شد.

جدول (۴-۳) - نتایج حاصل از بررسی حجم بافر فسفاتی $pH=7/0$

جذب (میلی گرم بر لیتر)	حجم بافر (میلی لیتر)
۰/۰۵۵	۰/۲۵
۰/۰۵۴	۰/۵۰
۰/۰۵۴	۱/۰
۰/۰۵۵	۱/۵
۰/۰۵۰	۲/۰



شکل (۵-۳) - بررسی اثر حجم بافر. شرایط: حجم پیش تغليظ 10 میلی لیتر، غلظت آنالیت $۰/۰۱۰$ میلی گرم بر لیتر، سرعت جريان آنالیت $۳/۳$ میلی لیتر بر دقیقه، سرعت جريان شوينده $۳/۳$ میلی لیتر بر دقیقه، طول ستون $۵/۰$ سانتي متر، هيدرو كلريک اسيد $۲/۰$ مولار به عنوان شوينده، زمان پیش تغليظ ۱۸۰ ثانيه و زمان شویش ۳ ثانيه

۳-۷-۳- بررسی و بهینه سازی نوع شوینده

در بررسی نوع شوینده، محلولهای هيدروكلريک اسيد $۲/۰$ مولار، نيتريک اسيد $۲/۰$ مولار و سولفوريك اسيد $۲/۰$ مولار را تهيه کرده و از هریک از آنها به صورت جداگانه برای مرحله شویش کادميوم بازداری شده در ستون در مرحله پیش تغليظ استفاده شد. ۱۰ میلی لیتر محلول $۰/۰۱۰$ میلی گرم بر لیتر کادميوم در شرایط $pH=7/0$ (۰/۵۰ میلی لیتر بافر در بالن حجمی $۵/۰$ میلی لیتر) و سرعت جريان $۳/۳$ میلی لیتر بر دقیقه آنالیت در ستون $۵/۰$ سانتي متر پیش تغليظ شد. پس از

گذشت زمان پیش تغليط (۱۸۰ ثانیه) شیر انتخاب در موقعیتی قرار گرفت که امكان عبور شوینده از ستون فراهم شود. در اين حالت خروجی ستون حاصل از شويش به وسیله هر يك از محلولهای شوینده در سرعت جريان $\frac{3}{3}$ ميلی ليتر بر دقيقه وارد مه پاش دستگاه جذب اتمی شده و سيگنال های حاصل ثبت شدند. نتایج ثبت شده در جدول (۳-۵) نشان می دهد که قدرت شویندگی نيتريک اسيد نسبت به دو شوینده ديگر بيشتر بوده و در نتيجه سيگنال تجزيه اي حاصل از آن بيشتر است. لذا، نيتريک اسيد به عنوان شوینده مورد استفاده قرار گرفت.

جدول(۳-۵)- نتایج حاصل از بررسی نوع شوینده

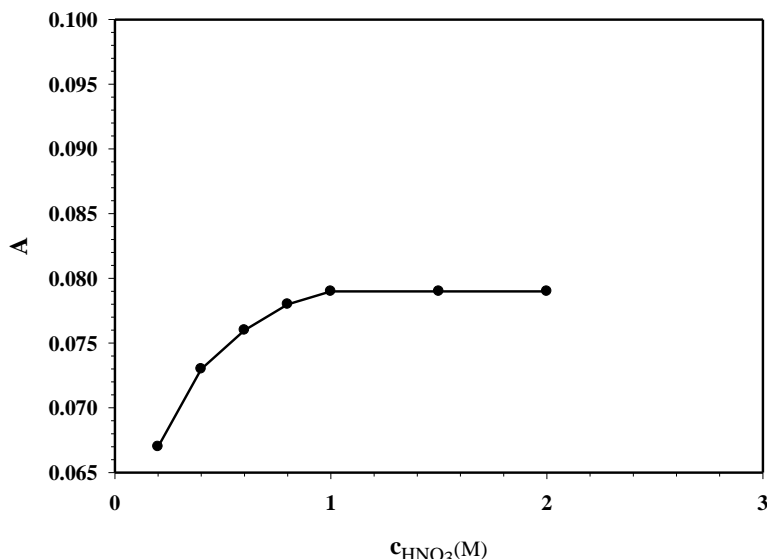
نوع شوینده	جذب
HCl (۲M)	۰/۰۵۶
HNO _۳ (۲M)	۰/۰۷۸
H _۲ SO _۴ (۱M)	۰/۰۶۳

۴-۷-۳- بررسی و بهينه سازی غلظت شوینده

در اين مرحله غلظتهای مختلف از نيتريک اسيد در محدوده غلظتی $۰/۰$ تا $۲/۰$ مولار تهيه شد. سپس ۱۰ ميلی ليتر محلول $۱۰/۰$ ميلی گرم بر ليتر کادميوم در محيط بافر فسفاتي با $pH=۷/۰$ ($۰/۵۰$ ميلی ليتر بافر در بالن حجمی ۵۰) در ستون $۵/۰$ سانتی متری و سرعت جريان $\frac{3}{3}$ ميلی ليتر بر دقيقه را در مدت زمان ۱۸۰ ثانیه پیش تغليط شد. سپس با قراردادن شير انتخاب در موقعیت عبور شوینده، کادميوم بازداری شده بواسیله محلولهای نيتريک اسيد با غلظتهای مختلف و با سرعت جريان $\frac{3}{3}$ ميلی ليتر بر دقيقه از شوینده شسته شده و وارد مهپاش دستگاه جذب اتمی شد و جذب حاصل از شويش توسط هر يك از محلولها اندازه گيري و ثبت شد. نتایج حاصل در جدول (۳-۶) و شکل (۳-۶) آورده شده است. همانطور که مشاهده می شود در غلظت $۰/۶$ مولار به بالا از اسيد نيتريک سيگنال تقریباً ثابت شده است و لذا غلظت $۱/۰$ مولار نيتريک اسيد به عنوان بهينه در نظر گرفته می شود.

جدول (۶-۳)- نتایج حاصل از بررسی غلظت شوینده

جذب	غلظت شوینده (مولار)
۰/۰۶۷	۰/۲۰
۰/۰۷۳	۰/۴۰
۰/۰۷۶	۰/۶۰
۰/۰۷۸	۰/۸۰
۰/۰۷۹	۱/۰
۰/۰۷۹	۱/۵
۰/۰۷۹	۲/۰



شکل (۶-۳) - بررسی اثر غلظت شوینده نیتریک اسید بر حساسیت. شرایط: حجم محلول پیش تغليظ ۱۰ میلی لیتر، غلظت آنالیت ۰/۰۱۰ میلی گرم بر لیتر، ۰/۵۰ میلی لیتر بافر فسفاتی pH=۷/۰ در بالن حجمی ۵۰ میلی لیتری، سرعت جريان ۳/۳ میلی لیتر بر دقيقه آنالیت، سرعت جريان شوينده ۳/۳ میلی لیتر بر دقيقه، طول ستون ۵/۰ سانتی متری، زمان پیش تغليظ ۱۸۰ ثانیه و زمان شويش ۳۰ ثانیه

۶-۵-۷-۳- بررسی و بهينه سازی سرعت جريان نمونه

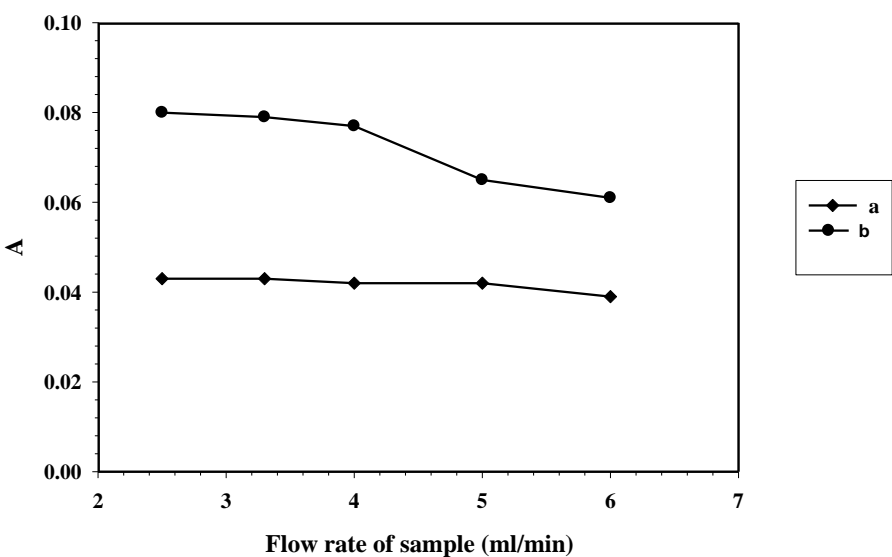
در اين بررسی، سرعت جريان عبور نمونه از ستون در محدوده ۲/۵ تا ۶/۰ میلی لیتر بر دقيقه تنظيم شده و سرعت جريان شويش ثابت و برابر با ۳/۳ میلی لیتر در نظر گرفته شد. اين بررسی بر روی حجم ۱۰ میلی لیتر از محلولهای با غلظت های ۰/۰۱۰ و ۰/۰۵۰ میلی گرم بر لیتر کادمیوم، در

محیط با بافر فسفاتی $pH = 7/0$ میلی لیتر در بالن 50 میلی لیتری) و با استفاده از ستون $5/0$ سانتی متری پیش تغلیظ انجام گرفت.

در این مطالعه با توجه به سرعت در نظر گرفته شده برای عبور نمونه، مدت زمان لازم برای پیش تغلیظ حجم 10 میلی لیتر از نمونه محاسبه گردید و پس از گذشت زمان محاسبه شده شیر انتخاب در موقعیت عبور شوینده نیتریک اسید $1/0$ مولار، با سرعت جریان ثابت $3/3$ میلی لیتر بر دقیقه قرار گرفته و خروجی ستون وارد مهپاش دستگاه جذب اتمی شد. سیگنالهای حاصل از نمونه اندازه گیری و ثبت شد که نتایج و نمودارهای حاصل از هر دو غلظت در جدول (۷-۳) و شکل (۷-۳) نشان داده شده است. همانطور که مشا هده می شود با افزایش سرعت جریان آنالیت میزان سیگنال تجزیه ای کاهش می یابد.اما به دلیل اینکه در سرعت جریان های خیلی پایین فرکانس نمونه برداری کاهش می یابد، سرعت جریان $4/0$ میلی لیتر در دقیقه به عنوان سرعت جریان بهینه برای مراحل بعدی در نظر گرفته شد.

جدول (۷-۳)- نتایج حاصل از بررسی سرعت جریان نمونه

سرعت جریان آنالیت (میلی لیتر بر دقیقه)	جذب (میلی گرم بر لیتر)	جذب (۰/۰۵۰ میلی گرم بر لیتر)	جذب
$2/5$	$0/043$	$0/043$	$0/080$
$3/3$	$0/043$	$0/043$	$0/079$
$4/0$	$0/043$	$0/043$	$0/077$
$5/0$	$0/042$	$0/042$	$0/065$
$6/0$	$0/039$	$0/039$	$0/061$



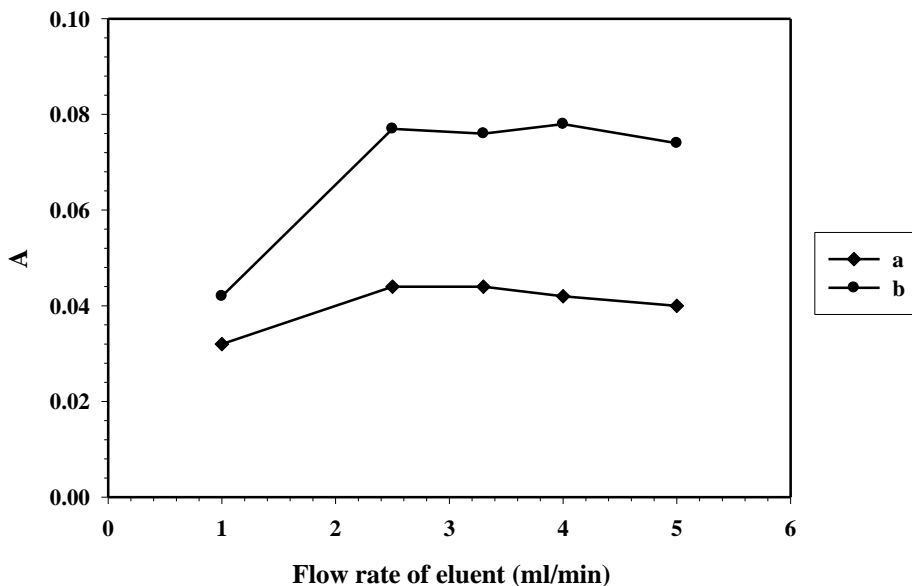
شکل (۷-۳)- بررسی اثر سرعت جریان نمونه در حجم پیش تغليظ ثابت. شرایط: حجم پیش تغليظ ۱۰ میلی لیتر، بافر فسفاتی $pH=7.0$ (۰.۵ میلی لیتر در بالن حجمی ۵۰ میلی لیتری)، ستون پیش تغليظ ۵/۰ سانتی متری، سرعت جریان شوینده $3/۳$ میلی لیتر بر دقیقه، زمان شویش ۳۰ ثانیه (a) غلظت ۰.۰۵ میلی گرم بر لیتر کادمیوم (b) غلظت ۰.۱ میلی گرم بر لیتر کادمیوم

۷-۶-۳- بررسی و بهینه سازی سرعت جریان شوینده

در این مطالعه، سرعت جریان نمونه در مقدار بهینه ۰.۴ میلی لیتر بر دقیقه تنظیم شده و سرعت جریان شوینده در محدوده ۰.۱ - ۰.۵ میلی لیتر بر دقیقه تغییر داده شد. روش کار مشابه بهینه سازی سرعت جریان نمونه بود و در دو غلظت ۰.۱ و ۰.۰۵ میلی گرم بر لیتر بررسی صورت گرفت. نتایج حاصل در جدول (۸-۳) و شکل (۷-۳) نشان داده شد. با توجه به نتایج سرعت جریان ۰.۳ میلی لیتر بر دقیقه که حداقل سیگنال را ایجاد می کند و با سرعت مکش مهپاش دستگاه تطابق دارد مورد استفاده قرار گرفت.

جدول(۳)- نتایج حاصل از بررسی اثر سرعت شوینده

سرعت جریان شوینده (میلی لیتر بر دقیقه)	جذب (۰.۰۵۰ میلی گرم بر لیتر)	جذب (۰.۱۰ میلی گرم بر لیتر)
۱/۰	۰/۰۳۲	۰/۰۴۲
۲/۵	۰/۰۴۴	۰/۰۷۷
۳/۳	۰/۰۴۴	۰/۰۷۶
۴/۰	۰/۰۴۲	۰/۰۷۸
۵/۰	۰/۰۴۰	۰/۰۷۴



شکل(۳)- بررسی اثر سرعت جریان شوینده در حجم پیش تغليظ ثابت. شرایط: حجم پیش تغليظ ۱۰ میلی لیتر، بافر فسفاتی $pH=7.0$ (میلی لیتر در بالن حجمی ۵۰ میلی لیتری)، ستون پیش تغليظ ۵/۰ سانتی متری، سرعت جریان آنالیت ۴/۰ میلی لیتر بر دقیقه، زمان پیش تغليظ ۱۸۰ ثانیه و زمان شویش ۳۰ ثانیه. (a) غلظت ۰/۰۰۵۰ میلی گرم بر لیتر کادمیوم (b) غلظت ۰/۰۱۰ میلی گرم بر لیتر کادمیوم

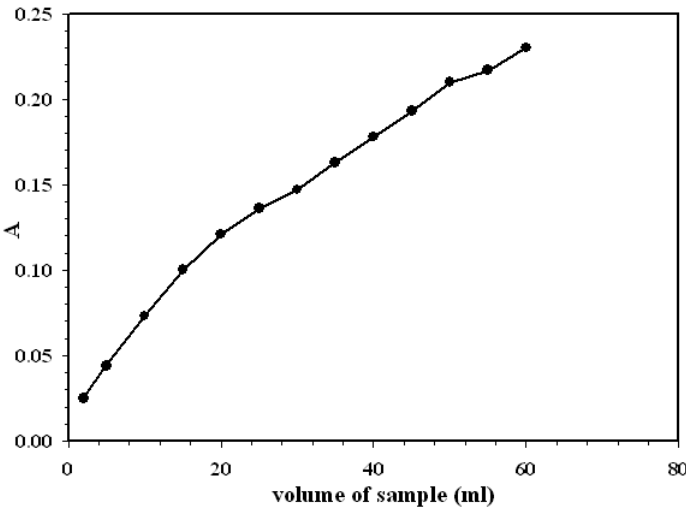
۷-۷-۳- بررسی و بهینه سازی حجم پیش تغليظ

در اين مرحله به منظور بهینه کردن حجم پیش تغليظ، با ثابت نگه داشتن تمامی پارامترهاي بهینه شده در مراحل قبل، در سرعت جریان ثابت عبور نمونه از ستون و با تنظيم زمان، اجازه عبور حجم هاي مشخص و متفاوتی از محلول نمونه از ستون فراهم شد.

در این بررسی محلول ۰/۰۱۰ میلی گرم بر لیتر از کادمیوم در محیط با بافر فسفاتی pH=۷/۰ ۰/۵۰ میلی لیتر بافر در بالن حجمی ۵۰ میلی لیتری) با سرعت ۴/۰ میلی لیتر بر دقیقه از ستون ۵/۰ سانتی متری عبور داده شد. پس از گذشت زمان لازم برای عبور حجم در نظر گرفته شده، با تغییر موقعیت شیر انتخاب محلول نیتریک اسید ۱/۰ مولار از ستون عبور داده شد. خروجی ستون در این حالت وارد مهپاش دستگاه جذب اتمی شده و سیگنال تجزیه ای ثبت شد. نتایج و نمودار حاصل از این بررسی به ترتیب در جدول (۳-۹) و شکل (۳-۹) گزارش شده است. بنابراین در بررسی های بعدی برای کاهش زمان پیش تغليظ و افزایش زمان نمونه گذاری حجم ۰ میلی لیتر (زمان پیش تغليظ ۱۵۰ ثانیه) برای پیش تغليظ استفاده شد.

جدول (۳-۹)- نتایج حاصل از حجم نمونه پیش تغليظ

جذب (۰/۰۱۰ میلی گرم بر لیتر)	حجم پیش تغليظ (میلی لیتر)
۰/۰۲۵	۲/۰
۰/۰۴۴	۵/۰
۰/۰۷۳	۱۰
۰/۱۰۰	۱۵
۰/۱۲۴	۲۰
۰/۱۳۶	۲۵
۰/۱۴۳	۳۰
۰/۱۶۳	۳۵
۰/۱۷۸	۴۰
۰/۱۹۳	۴۵
۰/۲۱۰	۵۰
۰/۲۱۷	۵۵
۰/۲۳۰	۶۰



شکل (۹-۳)- بررسی اثر حجم نمونه پیش تغلیظ شده. شرایط : بافر فسفاتی $pH=7/0$ (۵ میلی لیتر در بالن حجمی ۵۰ میلی لیتری)، سرعت جریان $4/0$ میلی لیتر بر دقیقه آنالیت و $۳/۳$ میلی لیتر بر دقیقه شوینده، ستون پیش تغلیظ $۵/۰$ سانتی متری و زمان شویش ۳۰ ثانیه

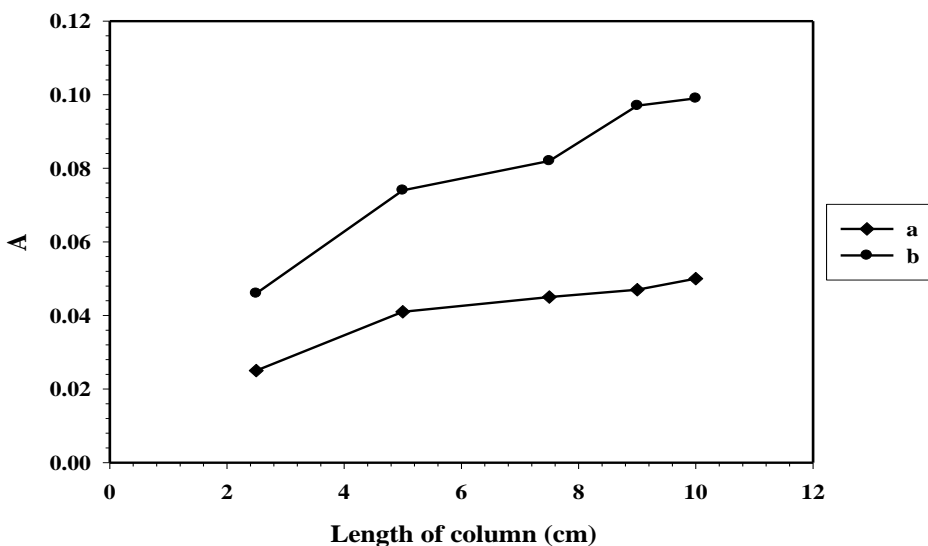
۳-۷-۸- بررسی و بهینه سازی طول ستون (مواد پر کننده ستون)

برای بهینه سازی طول ستون، ستون هایی در محدوده طولی $۲/۵$ تا ۱۰ سانتی متری که شامل مقادیر مختلف برای ماده پر کننده بودند تهیه شد و با شرایط بهینه شده قبل، اثر مقدار ماده پر کننده (طول ستون) بر سیگنال تجزیه ای در دو غلظت متفاوت از کادمیوم بررسی شد. در این بهینه سازی به صورت زیر عمل شد:

حجم ۱۰ میلی لیتر از هر یک از محلولهای $۰/۰۱۰$ و $۰/۰۰۵۰$ میلی گرم بر لیتر کادمیوم، بافری شده در محیط فسفاتی با $pH=7/0$ با سرعت جریان $۴/۰$ میلی لیتری بر دقیقه از هر یک از ستون های تهیه شده عبور داده شد. پس از گذشت زمان پیش تغلیظ (۱۵۰ ثانیه) با چرخش شیر انتخاب محلول نیتریک اسید $۱/۰$ مولار با سرعت جریان $۳/۳$ میلی لیتر بر دقیقه به مدت زمان ۳۰ ثانیه از ستون عبور داده شد و خروجی ستون وارد مهپاش دستگاه جذب اتمی گردید. جذب محلول شسته شده بوسیله FAAS اندازه گیری و ثبت شد. نتایج حاصل در جدول (۱۰-۳) و شکل (۱۰-۳) گزارش شده است با بررسی نتایج به دست آمده مقدار بهینه طول ستون $۹/۰$ سانتی متری با ۱۳۵ میلی گرم از جاذب انتخاب شد.

جدول(۳-۱۰)- نتایج حاصل از بررسی طول ستون

جذب (۰/۰۱۰ میلی گرم بر لیتر)	جذب (۰/۰۵۰ میلی گرم بر لیتر)	طول ستون (سانسی متر)
۰/۰۴۶	۰/۰۲۵	۲/۵
۰/۰۷۴	۰/۰۴۱	۵/۰
۰/۰۸۲	۰/۰۴۵	۷/۵
۰/۰۹۷	۰/۰۴۷	۹/۰
۰/۰۹۹	۰/۰۵۰	۱۰



شکل(۳-۱۰)- بررسی اثر طول ستون. شرایط : بافر فسفاتی $pH=7/0$ /۰ میلی لیتر در بالن حجمی ۵۰ میلی لیتری)، سرعت جریان ۴/۰ میلی لیتر بر دقیقه آنالیت و ۳/۰ میلی لیتر بر دقیقه شوینده، زمان پیش تغليظ ۱۵۰ ثانیه و زمان شویش ۳۰ ثانیه. (a) غلظت ۰/۰۵۰ میلی گرم بر لیتر کادمیوم با حجم پیش تغليظ ۱۰ میلی لیتر (b) غلظت ۰/۰۱۰ میلی لیتر کادمیوم با حجم پیش تغليظ ۱۰ میلی لیتر

۳-۷-۶-۳- بررسی قدرت یونی (اثر نمک)

در این بررسی برای تهیه محیط هایی با قدرت یونی مختلف از نمک پتاسیم نیترات ۲/۰ مولار

استفاده شد. روش کار به این صورت می باشد:

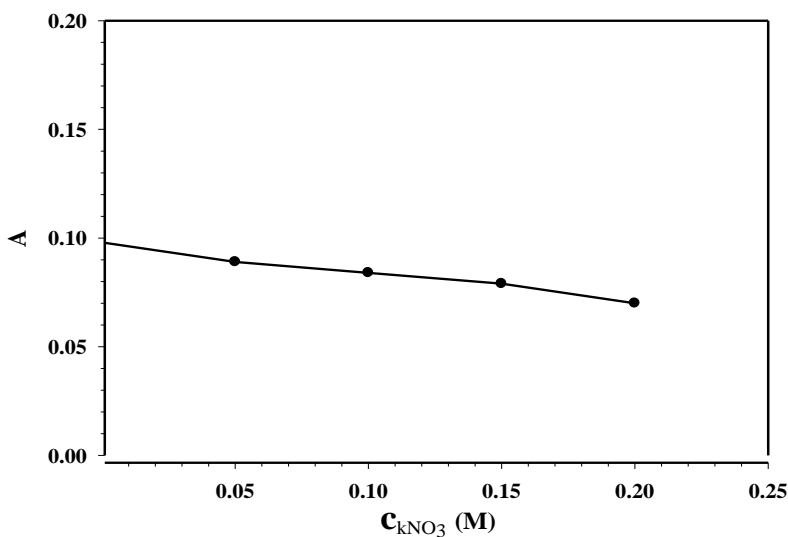
محلولهای کادمیوم با غلظت ۱۰/۰ میلی گرم بر لیتر با فرای شده بوسیله بافر فسفاتی در

pH=۷/۰ که قدرت یونی آنها بوسیله پتاسیم نیترات در محدوده غلظتی ۰/۰۰-۰/۲۰ مولار تنظیم

شده است تهیه شد. سپس ۱۰ میلی لیتر از محلولها در سرعت جریان ۴/۰ میلی لیتر بر دقیقه آنالیت با عبور از ستون ۹/۰ سانتی متری پیش تغلیظ شد. پس از گذشت زمان پیش تغلیظ (۱۵۰ ثانیه) با تغییر موقعیت شیر انتخاب محلول نیتریک اسید ۲/۰ مولار با سرعت جریان ۳/۳ میلی لیتر بر دقیقه از ستون عبور کرده و خروجی ستون شامل شوینده و کادمیوم باز داری شده وارد مهپاش دستگاه جذب اتمی شد و سیگنال جذب حاصل از آنها اندازه گیری و ثبت شد. نتایج حاصل در جدول (۱۱-۳) و شکل (۱۱-۳) گزارش شده است. این بررسی نشان می دهد که تغییر قدرت یونی، میزان کادمیوم باز داری شده در ستون و در نتیجه سیگنال جذبی ایجاد شده در ستون را کاهش می دهد.

جدول (۱۱-۳)- بررسی اثر قدرت یونی

جذب (۰/۰۱۰ میلی گرم بر لیتر)	غلظت پتابسیم نیترات (مولار)
۰/۰۹۸	۰/۰۰
۰/۰۸۹	۰/۰۵
۰/۰۸۴	۰/۱۰
۰/۰۷۹	۰/۱۵
۰/۰۶۹	۰/۲۰



شکل(۱۱-۳)- بررسی اثر قدرت یونی برای محلول $10 \text{ میلی گرم بر لیتر کادمیوم، حجم پیش تغليظ } 10 \text{ میلی لیتر کادمیوم، بافر فسفاتی } 7/\text{pH}=5/\text{میلی لیتر در بالن حجمی } 50 \text{ میلی لیتری)$ ، ستون پیش تغليظ $9/\text{سانتی متری؛ سرعت جريان آناليت } 4/\text{میلی لیتر بر دقیقه، زمان پیش تغليظ } 150 \text{ ثانية و زمان شویش } 30 \text{ ثانية.}$

۸-۳- شرایط بهینه

با توجه به نتایج به دست آمده در بررسی و بهینه سازی پارامترهای موثر بر عملکرد سیستم شرایط بهینه زیر در رسم منحنی کالیبراسیون مورد استفاده قرار گرفت:

- ۱ - $10 \text{ میلی لیتر بافر فسفاتی با } \text{pH}=7/\text{در بالن حجمی } 100 \text{ میلی لیتری}$
- ۲ - نیتریک اسید $1/\text{مولار به عنوان شوینده}$
- ۳ - سرعت جريان $4/\text{میلی لیتر بر دقیقه نمونه برای و } 3/3 \text{ میلی لیتر بر دقیقه برای شوینده}$
- ۴ - حجم پیش تغليظ 10 میلی لیتر
- ۵ - طول ستون $9/\text{سانتی متری}$

۹-۳- کالیبراسیون

کالیبراسیون مهمترین مرحله در توسعه یک روش تجزیه ای می باشد. با استفاده از کالیبراسیون، می توان رابطه ای مناسب بین غلظت نمونه مورد آنالیز و سیگنال ثبت شده در آشکار ساز را به دست

آورده. ارزش و کارایی یک روش آنالیز با توجه به گستره دامنه خطی آن و حساسیت و تکرار پذیری نتایج در آن قابل ارزیابی می باشد. این پارامترها با توجه به منحنی کالیبراسیون برای یک روش قابل استخراج می باشد.

برای کالیبراسیون این روش غلظتهای مختلفی از محلول کادمیوم در محدوده غلظتی ۰/۰۰۱۰ تا ۰/۰۳۰ میلی گرم بر لیتر تهیه شدند. سپس به صورت متواالی از غلظتهای کم تا زیاد با استفاده از سیستم طراحی شده در شکل (۳-۳) و در شرایط بهینه غلظتی و دستگاهی، سیگنال تجزیه ای برای ۱۰ میلی لیتر از هر محلول ثبت گردید. برای هر غلطت سه اندازه گیری تکراری انجام شد. جدول (۱۲-۳) و نمودار شکل (۱۲-۳) تغییرات شدت سیگنالهای ثبت شده توسط دستگاه جذب اتمی برای غلظتهای متفاوت را نشان می دهد.

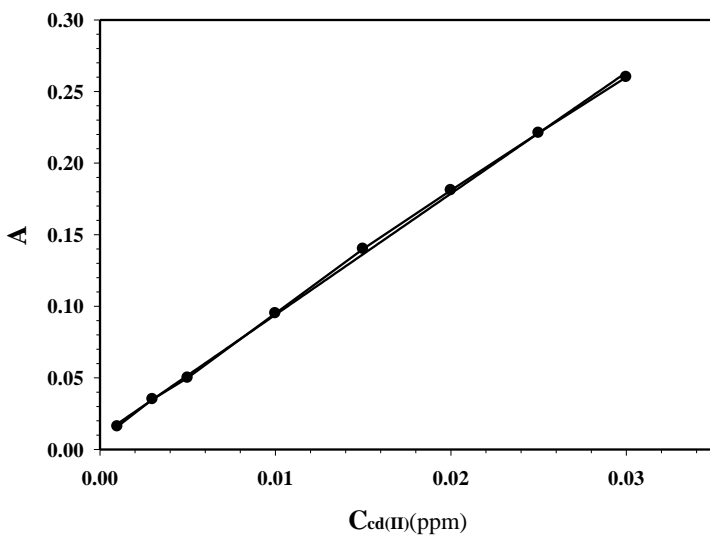
با پردازش داده ها به روش حداقل مربعات، معادله $y = 8/46 C_{Cd(II)} + 0/009$ میلی لیتر در محدوده غلظتی ۰/۰۰۱۰ - ۰/۰۳۰ میلی گرم بر لیتر کادمیوم به صورت زیر به دست آمد

$$A = 8/46 C_{Cd(II)} + 0/009 \quad r = 0/9994 \quad (n=7)$$

که در آن A سیگنال جذب و $C_{Cd(II)}$ غلظت کادمیوم بر حسب میلی گرم بر میلی لیتر است.

جدول (۱۲-۳)- نتایج حاصل از بررسی منحنی کالیبراسیون برای حجم پیش تغییض ۱۰ میلی لیتر

جذب	غلظت کادمیوم (میلی گرم بر لیتر)
۰/۰۱۶	۰/۰۰۱
۰/۰۳۵	۰/۰۰۳
۰/۰۵۰	۰/۰۰۵
۰/۰۹۵	۰/۰۱۰
۰/۱۴۰	۰/۰۱۵
۰/۱۸۱	۰/۰۲۰
۰/۲۲۱	۰/۰۲۵
۰/۲۵۰	۰/۰۳۰



شکل (۱۲-۳)- منحنی کالیبراسیون. شرایط: حجم پیش تغليظ ۱۰ میلی لیتر کادمیوم، بافر فسفاتی $pH = ۷/۰$ میلی لیتر در بالن حجمی ۵۰ میلی لیتری)، ستون پیش تغليظ ۹/۰ سانتی متری، سرعت جريان آنالیت ۴/۰ میلی لیتر بر دقیقه، سرعت جريان شوینده $۳/۳$ میلی لیتر بر دقیقه، زمان پیش تغليظ ۱۵۰ ثانیه

۱۰-۳- دقت و صحت روش

برای محاسبه درصد انحراف معیار نسبی (RSD) روش، محلولهایی با غلظت های متفاوت در دامنه خطی به دست آمده برای منحنی کالیبراسیون، تهیه شدند. برای ۱۰ میلی لیتر از محلول های تهیه شده ۷ بار اندازه گیری تکراری در شرایط بهینه شده انجام شده و سیگنالهای حاصل ثبت گردید. با استفاده از سیگنالهای به دست آمده و با توجه به منحنی کالیبراسیون، غلظت معادل هر سیگنال به دست آمد و سپس مقدار انحراف استاندارد نسبی برای هر غلظت طبق رابطه زیر محاسبه گردید.

$$S = \sqrt{\frac{\sum (c_i - \bar{c})^2}{n-1}} \quad \text{رابطه (۱-۳)}$$

$$RSD = \frac{S}{\bar{C}} \times 100 \quad \text{رابطه (۲-۳)}$$

که نتایج حاصل از این بررسی در جدول (۱۳-۳) نشان داده شده است.

جدول (۳-۱۳)- بررسی دقت و صحت

درصد بازیابی	% RSD	مقدار کادمیوم اندازه گیری شده (میلی گرم بر لیتر)	مقدار کادمیوم موجود (میلی گرم بر لیتر)
۹۸	۵	۰/۰۰۱۹۷ ± ۰/۰۰۰۱*	۰/۰۰۲۰
۹۸	۴	۰/۰۰۴۹ ± ۰/۰۰۰۲	۰/۰۰۵۰
۱۰۰	۳	۰/۰۱۰ ± ۰/۰۰۰۳	۰/۰۱۰
۱۰۱	۲	۰/۰۲۰۳ ± ۰/۰۰۰۴	۰/۰۲۰

* انحراف استاندارد ۷ بار اندازه گیری تکراری

۱۱-۳- حد تشخیص روش

حد تشخیص تئوری با استفاده از رابطه (۳-۳) محاسبه می شود

$$L.O.D = \frac{kS_b}{m} \quad \text{رابطه (۳-۳)}$$

که در این رابطه k ضریب اطمینان، S_b انحراف استاندارد سیگنالهای تکرار اندازه گیری شده برای شاهد و m شب منحنی کالیبراسیون است. کیزرن شان داد که مقدار منطقی برای k برابر ۳ است [۸۵].

برای به دست آوردن حد تشخیص روش، شاهد آب دو باره تقطیر در محیط بافر فسفاتی استفاده شد و سیگنال جذبی آن ۱۰ بار به صورت تکراری با حجم پیش تغليظ ۱۰ میلی لیتر و شویش تحت شرایط بهینه اندازه گیری شده و انحراف استاندارد حاصل از این ۱۰ اندازه گیری تکراری محاسبه شد. با توجه به انحراف استاندارد $7/0 \times 10^{-4}$ بدست آمده برای شاهد و شب منحنی کالیبراسیون، مقدار حد تشخیص روش برای این حجم پیش تغليظ، ۰/۲۵ میکرو گرم بر لیتر کادمیوم به دست آمد.

۱۲-۳- بررسی اثر مزاحمت یونها

علیرغم گزینش پذیری ذاتی در اندازه گیری توسط FAAS، با انتخاب نمونه با غلظت $0/0\text{ }10$ میلی گرم بر لیتر مزاحمت احتمالی کاتیون ها و آنیون ها توسط روش پیش تغليظ بر- خط و اندازه گیری با FAAS بررسی شد. روش کار به صورت زیر بود:

ابتدا میزان جذب اتمی نمونه در غیاب گونه ی مزاحمت در شرایط بهینه برای ۵ بار تکراری اندازه گیری شد و انحراف استاندارد جذب های حاصل محاسبه گردید. محدوده اطمینان با توجه به رابطه $\bar{A} \pm 3S$ به دست آمد که در این محدوده \bar{A} میانگین سیگنالهای به دست آمده برای غلظت $0/0\text{ }10$ میلی گرم بر لیتر کادمیوم و S انحراف استاندارد آنها می باشد. سپس برای بررسی اثر مزاحمت هر یون، یون موردنظر به میزان 1000 برابر وزنی - وزنی نسبت به کادمیوم (II) به محلول اضافه شد. جذب اتمی محلول حاصل پس از پیش تغليظ به صورت بر- خط اندازه گیری شد. اگر مقدار جذب در فاصله اطمینان $\bar{A} \pm 3S$ قرار داشت به این معنا بود که یون مورد نظر با نسبت موجود مزاحمت نیست در غیر این صورت نسبت گونه ی مزاحمت به یون کادمیوم مرتباً کم می شد تا دیگر مزاحمت مشاهده نشود. نتایج حاصل از این بررسی در جدول (۱۴-۳) آمده است. با توجه به نتایج به دست آمده معلوم گردید که تعداد زیادی از کاتیونها و آنیونهای بررسی شده در این روش مزاحمتی نداشته اند (۱۰۰۰ تا ۲۵ برابر غلظتی برای کادمیوم $0/0\text{ }10$ میلی گرم بر لیتر). بیشترین اثر مزاحمت برای عناصری مانند روی (II) و جیوه (II) می باشد. مزاحمت یون جیوه (II) در 1000 برابر وزنی - وزنی کادمیوم (II) با افزایش محلول سیترات با غلظت $6/00$ میلی گرم بر لیتر (600 برابر وزنی - وزنی کادمیوم) بر طرف شد. مزاحمت یون روی (II) نیز تا حد 50 برابر وزنی - وزنی کادمیوم (II) با استفاده از یون سیترات و با غلظت $6/0$ میلی گرم بر لیتر (600 برابر وزنی - وزنی کادمیوم) رفع شد.

جدول(۱۴-۳)- بررسی اثر مزاحمت گونه های مزاحم و حد مجاز آنها نسبت به کادمیوم (۰/۱۰ میلی گرم بر لیتر)

حد مجاز گونه مزاحم	گونه مزاحم
۱۰۰ برابر	K^+ , Na^+ , Al^{3+} , Pb^{2+} , Co^{2+} , Cr^{3+} , As^{3+} , NH_4^+ , F^- , Cl^- , Br^- , I^- , SCN^- , $C_2O_4^{2-}$ تارتارات و استات
۶۰۰ برابر	Mn^{2+} , سیترات و تیوسولفات
۲۰۰ برابر	Ba^{2+} , Mg^{2+} , Ca^{2+} , Sr^{2+} , Ag^+ , SO_4^{2-}
۱۰۰ برابر	Fe^{2+}
۵۰ برابر	Ni^{2+} , Fe^{3+}
۲۵ برابر	Cu^{2+}
۵ برابر	Hg^{2+} , Zn^{2+} , EDTA

۱۳-۳- فاکتور پیش تغليظ ^{۱۰۲}

فاکتور تغليظ برای یک گونه به صورت زير تعریف می شود:

نسبت غلظت دو آنالیت که اولی بدون پیش تغليظ و دومی با پیش تغليظ عدد جذب یکسانی داشته

باشند [۸۶].

برای بررسی توانایی ستون استفاده شده در روش پیشنهادی در میزان پیش تغليظ یون کادمیوم به روش زير عمل شد:

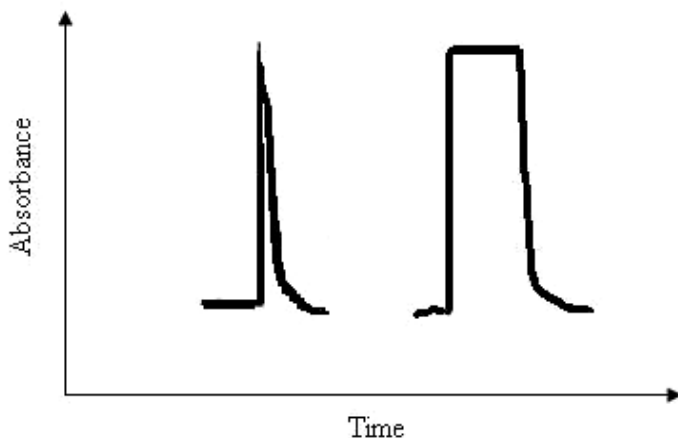
محلول هایی با غلظت های معین و متفاوت از کادمیوم در محیط با فر فسفاتی $pH=7/0$ تهیه شد.
ابتدا میزان جذب هر یک از محلول ها بدون انجام عمل پیش تغليظ و توسط مکش مستقیم با سیستم FAAS اندازه گیری شد و سیگنال های مورد نظر توسط ثبات، ثبت شد. سپس حجم های ۱۰/۰ میلی لیتری از محلول های تهیه شده تحت شرایط بهینه پیش تغليظ شد. پس از گذشت زمان پیش تغليظ (۱۵۰ ثانیه) با چرخش شیر انتخاب محلول شوینده ی نیتریک اسید از داخل ستون عبور داده

¹⁰² - Preconcentration factor

شد. سپس جذب محلول حاصل از شویش توسط سیستم تزریق در جریان پیوسته- اسپکترومتری جذب اتمی به صورت بر- خط اندازه گیری شد. در این مرحله نیز سیگنال ها توسط ثبات، ثبت گردید. با مقایسه ارتفاع پیک های به دست آمده در دو مرحله مشخص شد که ارتفاع پیک محلول ۰/۵۵ میلی گرم بر لیتر کادمیوم بدون انجام پیش تغليظ با ارتفاع پیک محلول ۱۰/۰ میلی گرم بر لیتر کادمیوم پیش تغليظ شده تحت شرایط بهینه با یكديگر برابرند.

با اين توضيحات فاكتور پیش تغليظ توسط رابطه C_1 (۴-۳)، برابر با ۵۵ به دست آمد. در اين رابطه غلظت کادمیوم بدون انجام فرآيند پیش تغليظ و C_2 غلظت کادمیوم تحت فرآيند پیش تغليظ می باشد. نتایج حاصل در شکل (۱۳-۳) نشان داده شده است.

$$PF = \frac{C_1}{C_2} \quad \text{رابطه (۴-۳)}$$



شکل (۱۳-۳)- تعیین فاكتور پیش تغليظ. مقایسه سیگنال های حاصل از محلول ۰/۵۵ میلی گرم بر لیتر کادمیوم در اندازه گیری با مکش مستقیم مه پاش و محلول ۱۰/۰ میلی گرم بر لیتر کادمیوم با استفاده از پیش تغليظ بر- خط تحت شرایط بهینه.

فاكتور پیش تغليظ را همچنین می توان از نسبت شيبهای منحنی های کالibrاسيون به دست آمده، با پیش تغليظ و بدون پیش تغليظ محاسبه کرد [۸۷].

با توجه به اینکه معادله‌ی خط به دست آمده بدون پیش تغليظ و با اندازه‌گيري مستقيم با دستگاه جذب اتمي به صورت $A = 0.17 \text{ Cd(II)} - 0.001$ مي باشد، نسبت بين شيب اين خط با شيب منحنى کالibrasiون به دست آمده برای روش، فاكتور پیش تغليظ روش ۵۰ به دست مي آيد.

۱۴-۳- درصد بازیابی^{۱۰۳} روش

درصد بازیابی يك روش به صورت نسبت مقدار آناليت شسته شده از ستون پس از پیش تغليظ به مقدار آناليت موجود در محلول اوليه (قبل از پیش تغليظ) تعريف مي شود. درصد بازیابی که برای يك روش طراحی شده انتظار مي رود توسط رابطه (۳-۵) بيان مي شود:

$$\% R = \frac{V_{eluent}}{V_{sample}} \times PF \times 100 \quad \text{رابطه (۳-۵)}$$

که در آن PF فاكتور پیش تغليظ روش، V_{sample} حجم نمونه پیش تغليظ شده و V_{eluent} حجم شوينده مصرفی مي باشد.

با توجه به اينکه زمان مورد نياز برای شوبيش کامل آناليت بازداری شده در ستون با سرعت جريان ۳/۳ ميلی ليتر بر دقيقه شوينده، ۳ تا ۴ ثانية مي باشد، حجم شوينده مصرفی محاسبه شده ۰/۱۹۰ ميلی ليتر است و در حجم پیش تغليظ ۱۰/۰ ميلی ليتر و فاكتور پیش تغليظ ۵۰ درصد بازیابی با توجه به رابطه (۳-۴)، ۹۵٪ به دست آمد.

همچنانين برای بدست آوردن درصد بازیابی تجربی در اين روش به صورت زير عمل شد: محلولهایی با غلظتهای معین و متفاوت از کادمیوم در محیط با بافر فسفاتی $pH=7/0$ تهیه شد. ابتدا میزان جذب هر يك از محلولها بدون انجام عمل پیش تغليظ و توسط مکش مستقيم با سیستم FAAS اندازه گيري شد و سیگنالهای مورد نظر توسط ثبات ثبت شده و با توجه به اين سیگنالها منحنی کالibrasiون حاصل رسم شد. سپس ۱۰ ميلی ليتر محلول ۰/۰۲۰ ميلی گرم بر ليتر کادمیوم

¹⁰³ - Recovery factor

(۰/۲۰ میکروگرم کادمیوم) تحت شرایط بهینه پیش تغليظ شد و در مرحله شویش، کادمیوم بازداری شده در ستون توسط نیتریک اسید و با تنظیم زمان شویش (با توجه به سرعت ۳/۳ میلی لیتر بر دقیقه شوینده) در ۲/۰ میلی لیتر از شوینده جمع آوری شد.

سیگنال محلول جمع آوری شده از ستون در این حالت توسط مکش مستقیم با سیستم FAAS اندازه گیری شد. با توجه به سیگنال ۰/۰ ۱۵ بدست آمده برای محلول جمع آوری شده و قرار دادن آن در منحنی کالیبراسیون در حالت اندازه گیری مستقیم کادمیوم و بدون تغليظ، میزان کادمیوم موجود در محلول حاصل از پیش تغليظ ۱۰ میلی لیتر محلول ۰/۰ ۲۰ میلی گرم بر لیتر کادمیوم در ۲/۰ میلی لیتر نیتریک اسید ۰/۱۸۸ میکرو گرم به دست آمد. نسبت بین مقدار به دست آمده با مقدار واقعی کادمیوم در محلول اولیه درصد بازیابی ۹۴٪ را برای روش نشان می دهد.

۳-۱۵- بررسی ظرفیت ستون

ظرفیت ستون پر شده با پلی استیرن اصلاح شده با لیگاند N-N-بیس (نفتیلیدین ایمینو) دی اتیلن تری آمین به صورت دستی محاسبه گردید. به این منظور ۱۰۰ میلی گرم از این رزین که ابتدا به مدت ۵ دقیقه با نیتریک اسید شسته شده و در آب دو بار تقطیر خنثی شده بود، با ۲۵ میلی لیتر محلول با غلظت ۱/۰ میلی گرم بر لیتر از کادمیوم (II) و در محیط با بافر فسفاتی $pH=7/0$ در یک بشر همزده شد. پس از گذشت ۱ ساعت، میزان کادمیوم موجود در محلول توسط مکش مستقیم با دستگاه جذب اتمی اندازه گیری شد. از اختلاف کادمیوم موجود در محلول اولیه و کادمیوم موجود در محلول پس از جذب روی رزین، ظرفیت ستون محاسبه گردید. با توجه به نتایج ظرفیت ستون ۱۷۵ میکروگرم کادمیوم به ازای هر گرم رزین به دست آمد.

۱۶-۳- سرعت نمونه گیری^{۱۰۴}، ضریب مصرف^{۱۰۵} و غلظت موثر^{۱۰۶} روش [۸۷]

سرعت نمونه گیری، تعداد اندازه گیری های قابل انجام توسط روش را در یک ساعت نشان می دهد. بیشتر بودن تعداد اندازه گیریها نشان دهنده کارایی بیشتر روش است. در این روش با توجه به زمان پیش تغليظ ۱۵۰ ثانیه و زمان شویش ۳۰ ثانیه در حجم پیش تغليظ ۱۰ میلی لیتر از محلول نمونه، سرعت نمونه گیری روش، ۲۰ نمونه بر ساعت است.

ضریب مصرف (CI) در یک روش پیش تغليظ به صورت حجمی از محلول در میلی لیتر تعریف می شود که فاکتور پیش تغليظ را یک واحد افزایش می دهد. کمتر بودن این ضریب در یک روش پیش تغليظ، کارایی بیشتر روش را نشان می دهد. با توجه به اینکه در حجم پیش تغлиظ ۱۰ میلی لیتر، فاکتور پیش تغليظ روش ۵۰ به دست آمده است، ضریب مصرف این روش ۰/۲۰ بر میلی لیتر محاسبه می گردد.

کارایی غلظت (CE) به صورت حاصل ضرب فاکتور پیش تغليظ در سرعت نمونه گیری روش در دقیقه تعریف می شود. با توجه به فاکتور پیش تغليظ ۵۰ و سرعت نمونه گیری ۲۰ نمونه در ساعت ۰/۳۳ نمونه در دقیقه) برای روش، غلظت موثر این روش ۱۶/۶ بر دقیقه به دست می آید. غلظت موثر بیشتر برای مقایسه روشهای مختلف پیش تغليظ و اندازه گیری بر- خط که فاکتور پیش تغليظ و فرکانس نمو نه گیری متفاوت دارند، بکار برده می شود.

۱۷-۳- اندازه گیری کادمیوم در نمونه های سنتزی

برای بررسی کارایی روش پیشنهادی در اندازه گیری کادمیوم از چند نمونه ی سنتزی استفاده شد. برای تهیه ی نمونه های سنتزی از آب شهر و آب چشمہ ی شاهروod استفاده شد. روش کار به این صورت بود که مقادیر مشخصی از یون کادمیوم به حجم ثابتی از آب شهر و آب چشمہ اضافه گردید تا

¹⁰⁴ - Sampling rate

¹⁰⁵ - Consumption Index

¹⁰⁶ - Concentration efficiency

نمونه های سنتزی به دست آید. نمونه های سنتزی حاصل به روش پیشنهادی پیش تغليظ و اندازه گيري شد. هر اندازه گيري ۳ بار تکرار شد. در اندازه گيري ها از روش افزایش استاندارد استفاده گردید. نتایج حاصل از اندازه گيري ها در جدول های (۱۵-۳) و (۱۶-۳) آمده است. مقدار $t_{critical}$ در سطح اطمینان ۹۵٪ و برای ۳ اندازه گيري $4/30$ گزارش شده است.

جدول (۱۵-۳)- اندازه گيري کادمیوم در نمونه آب شهرشاھروود

%RSD	نتایج آزمون t	درصد بازیابی	مقدار کادمیوم اندازه گيري شده (میلی گرم بر لیتر)	مقدار کادمیوم اضافه شده (میلی گرم بر لیتر)
۵	۲/۵۹	۹۳	$0/0037 \pm 0/0002^*$	۰/۰۰۴۰
۴	۲/۸۸	۹۴	$0/0075 \pm 0/0003$	۰/۰۰۸۰
۷	۱/۷۳	۱۰۸	$0/013 \pm 0/001$	۰/۰۱۲
۵	۱/۴۱	۹۴	$0/017 \pm 0/001$	۰/۰۱۸
۱۰	۰/۸۶	۹۵	$0/019 \pm 0/002$	۰/۰۲۰

* انحراف استاندارد ۳ اندازه گيري تکراری

جدول (۱۶-۳)- اندازه گيري کادمیوم در نمونه های آب چشمہ شاهروود

%RDS	نتایج آزمون t	درصد بازیابی	مقدار کادمیوم اندازه گيري شده (میلی گرم بر لیتر)	مقدار کادمیوم اضافه شده (میلی گرم بر لیتر)
۵	۱/۱۵	۱۰۳	$0/0062 \pm 0/0003^*$	۰/۰۰۶۰
۵	-	۱۰۰	$0/010 \pm 0/0005$	۰/۰۱۰
۲	-	۱۰۰	$0/014 \pm 0/0004$	۰/۰۱۴

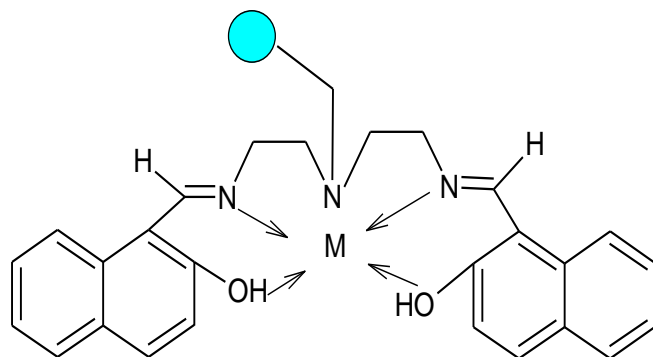
* انحراف استاندارد ۳ اندازه گيري تکراری

فصل چهارم

بحث و نتیجه گیری

۱-۴- سیستم شیمیایی مورد استفاده

در این پروژه از پلی استیرن که به عنوان یک فاز جامد پلیمری در استخراج فاز جامد مورد استفاده قرار می‌گیرد برای پر کردن ستون پیش تغليظ استفاده شده است. برخی از مزیتهای استفاده از فازهای جامد پلیمری شامل هزینه پایین، آماده سازی آسان، تخلخل بالا و در نتیجه سطح تماس مناسب، و پایداری در محیط‌های اسیدی و بازی می‌باشد. هنگام استفاده از پلی استیرن به عنوان فاز جامد افزایش یک عامل کمپلکس دهنده با آنالیت به محلول نمونه، یا به صورت ثبیت شده بر روی پلیمر مورد نیاز می‌باشد. عامل کمپلکس دهنده استفاده شده در این پروژه لیگاند N,N -بیس(نفتیلیدین ایمینو)دی‌اتیلن تری آمین است که توسط پیوندهای شیمیایی بر روی پلی استیرن قرار گرفته است. لیگاند N,N -بیس(نفتیلیدین ایمینو) دی‌اتیلن تری آمین یک لیگاند شیف باز و چهار دندانه است که توانایی زیادی برای تشکیل کمپلکس با تعدادی از فلزات واسطه از جمله کبات، مس و کادمیوم دارد [۸۸، ۸۹]. این لیگاند دارای ۲ گروه اکسیژن و ۳ گروه نیتروژن دهنده است. ساختار احتمالی کمپلکس کادمیوم- لیگاند با نسبت استوکیومتری $M:L = 1:1$ در شکل (۱-۴) آورده شده است.



شکل (۱-۴)- ساختار پیشنهادی کمپلکس لیگاند N,N - بیس(نفتیلیدین ایمینو) دی‌اتیلن تری آمین با کادمیوم(II)

۴-۲- بهینه سازی متغیر های تجربی

ظرفیت تشکیل کمپلکس توسط گروههای کی لیت دهنده جاذب پلیمری به pH محیط وابسته است. لذا اثر pH در محدود ۰/۸-۵/۰ و بوسیله بافرهای تهیه شده مورد بررسی قرار گرفت. نتایج بدست آمده در جدول (۳-۳) و شکل (۳-۵) نشان می دهد که در محدوده pH=۶/۸-۷/۲ سیگنال تجزیهای حاصل از شویش شویش ستون بیشتر بوده و در pH های کمتر و بیشتر از این ناحیه سیگنال تجزیهای کمتر می باشد. این پدیده را به این صورت می توان توجیه کرد که پروتونه شدن گروههای کی لیت دهنده لیگاند N,N-بیس (نفتیلیدین ایمینو) دی اتیلن تری آمین در محیط اسیدی زیاد بوده ، در نتیجه احتمال تشکیل کمپلکس کم می شود و در نتیجه بازداری کادمیوم در محیط های اسیدی کامل نمی باشد. در pH های بالاتر از این ناحیه نیز رقابت بین گروههای هیدروکسیل موجود در محیط و لیگاند برای تشکیل کمپلکس با کادمیوم وجود دارد و در نتیجه بازداری این فلز بر روی لیگاند کاهش می یابد. لذا pH خنثی (pH=۷/۰) بهترین محیط برای تشکیل کمپلکس کادمیوم با لیگاند مورد نظر است.

اثر حجم بافر فسفاتی pH=۷/۰ بر حساسیت روش در گستره حجمی ۰/۲۵-۰/۲۵ میلی لیتر بررسی شد. نتایج حاصل در جدول (۴-۳) و شکل (۴-۳) نشان می دهد که حجم بافر اضافه شده تاثیر زیادی بر سیگنال به دست آمده ندارد و در خجم بافر اضافه شده بیشتر از ۱/۵ سیگنال به مقدار بسیار کمی کاهش می یابد.

انتخاب یک شوینده مناسب برای بهبود عملکرد سیستم پیش تغلیظ بر خط کوپل شده با اسپکترومتری جذب اتمی شعله به سه دلیل مورد بررسی قرار می گیرد. ۱- توانایی آن در شویش کامل آنالیت بازداری شده در ستون ۲- گزینش پذیری در شویش آنالیت مورد نظر ۳- سازگاری شوینده با تکنیک تجزیه ای بکار گرفته شده در اندازه گیری آنالیت پیش تغلیظ شده. علاوه بر این دلایل شوینده مناسب بایستی توانایی شویش کامل آنالیت جذب شده در ستون با حجم کمتر را دارا باشد تا فاکتور پیش تغلیظ بزرگتری حاصل شود.

در این روش از شوینده اسیدی استفاده گردید تا پروتونهای آن با زوج الکترونهاشان غیر پیوندی لیگاند برهمن کنش داده، پیوند لیگاند و فلز شکسته شود و فلز از ستون خارج شود. به این منظور شوینده‌های هیدروکلریک اسید ۲/۰ مولار، نیتریک اسید ۲/۰ مولار و سولفوریک اسید ۱/۰ مولار برای بررسی میزان بازیابی روش مورد استفاده قرار گرفتند. که نتایج آن در جدول (۳-۵) نشان داده شده است. با توجه به این نتایج، نیتریک اسید ۲/۰ مولار به عنوان شوینده بهینه انتخاب گردید. زیرا با توجه به سیگنالهای بدست آمده توانایی شویش کادمیوم بازداری شده با این شوینده بیشتر از هیدروکلریک اسید است و سولفوریک اسید نیز سیگنال آن با نیتریک اسید برابر است. ولی به علت اینکه توانایی انجام واکنشهای جانبی توسط نیترات کمتر بوده و از دیدگاه سازگاری شوینده با تکنیک تجزیه‌ای بکار گرفته شده، یون نیترات یک بافت پذیرفته شده برای بررسی‌های جذب اتمی شعله است. لذا نیتریک اسید بعنوان شوینده انتخاب گردید. اثر غلظت شوینده‌ی نیتریک اسید بر حساسیت در ناحیه غلظتی ۰/۲ تا ۲/۰ مولار نیتریک اسید مورد بررسی قرار گرفت. در نتایج حاصل در جدول (۳-۶) و شکل (۳-۶) نشان می‌دهد که میزان شویش و در نتیجه سیگال تجزیه‌ای کادمیوم تا غلظت ۰/۸۰ مولار نیتریک اسید افزایش یافته و پس از آن تقریباً ثابت می‌شود. لذا غلظت ۰/۱۰ مولار از این اسید به عنوان شوینده انتخاب گردید تا از شویش کامل آنالیت بازداری شده در ستون اطمینان حاصل شود. غلظتهاش بالاتر از شوینده بعلت اثرات تخریبی آن بر دستگاه جذب اتمی مورد استفاده قرار نگرفت.

بهینه سازی سرعت جریان نمونه به منظور کسب اطمینان از بازداری کمی کامل نمونه بر روی فاز جامد صورت می‌گیرد. مقدار بهینه این پارامتر باید به گونه‌ای انتخاب شود که حداقل زمان مورد نیاز برای این میزان بازداری در حجم مورد نظر تعیین شود و دستیابی به فرکانس نمونه برداری بیشتر امکان پذیر گردد. لذا به این منظور در حالیکه همه شرایط بهینه قبلی ثابت نگه داشته شده، سرعت جریان نمونه در محدوده ۰/۱۰-۰/۲۵ میلی لیتر بر دقیقه، برای دو غلظت ۰/۵۰ و ۰/۱۰ میلی گرم بر لیتر و در حجم پیش تغليظ ثابت ۱۰ میلی لیتر، تغییر داده شد و اثر آن بر حساسیت روش مورد بررسی قرار گرفته است که نتایج آن در جدول (۳-۷) و شکل (۳-۷) آورده شده است. همان طور که

مشاهده می شود برای غلظت ۰/۱۰ میلی گرم بر لیتر کادمیوم در محدوده سرعت جریان ۴/۰ - ۲/۵ میلی لیتر بر دقیقه میزان مورد بررسی میزان جذب تقریباً ثابت می باشد. این نتایج نشان می دهد، سینتیک واکنش کادمیوم با لیگاند N-N - بیس (نفتیلیدین ایمینو) دی اتیلن تری آمین سریع می باشد. از طرفی افزایش حساسیت روش با بکارگیری سرعت جریان های کمتر باعث افزایش زمان نمونه گیری و در نتیجه کاهش فرکانس نمونه برداری روش می گردد. در نتیجه سرعت جریان ۴/۰ میلی لیتر بر دقیقه به عنوان سرعت جریان بهینه برای عبور نمونه از ستون انتخاب شد.

در سیستم پیش تغییلیت بکار گرفته شده سرعت جریان شوینده باید به اندازه کافی بالا باشد تا از شویش اضافی ستون جلوگیری شود و از طرفی سرعت باید به اندازه کافی پایین باشد تا از شویش کامل آنالیت بازداری شده در سطح جاذب اطمینان حاصل شود. به این منظور، برای غلظت ۰/۰۵۰ و ۰/۰۱۰ میلی گرم بر لیتر در حالیکه سرعت جریان آنالیت در ۴/۰ میلی لیتر بر دقیقه ثابت بود، سرعت جریان شوینده در محدوده ۱/۰ تا ۵/۰ میلی لیتر بر دقیقه تغییر داده شد و اثر این تغییر در سیگنال تجزیه ای به دست آمده بررسی شد. همان طور که در جدول (۸-۳) و شکل (۸-۳) مشاهده می شود، در سرعت جریان های کمتر از ۲/۵ میلی لیتر بر دقیقه و سرعت جریان بالا (۵/۰ میلی لیتر بر دقیقه) برای شوینده، میزان سیگنال تجزیه ای پایین است و در محدوده ۲/۵ تا ۴ میلی لیتر بر دقیقه این سیگنال بالا بوده و تقریباً ثابت است. با توجه به این مشاهدات می توان نتیجه گرفت در سرعت جریان پایین به دلیل عدم تطابق سرعت جریان شوینده با سرعت مکش مهپاش دستگاه جذب اتمی، میزان ورود نمونه به داخل مهپاش کم بوده و در نتیجه سیگنال تجزیه ای کم است. کاهش سیگنال در سرعت جریان بالا به دلیل کافی نبودن زمان برای شویش کامل کادمیوم جذب شده در سطح لیگاند است. بنابراین سرعت جریان ۳/۳ میلی لیتر بر دقیقه از شوینده به عنوان بهینه انتخاب شد زیرا در این شرایط بیشترین تطابق با سرعت مکش مهپاش وجود دارد. از طرفی در این سرعت جریان حجم کمتری از شوینده برای شویش کامل کادمیوم بازداری شده به کار گرفته می شود و در

نتیجه فاکتور پیش تغليظ بهتری به دست می آید (چون با افزایش سرعت جريان شوينده حجم مورد نياز برای شويش كامل افزایش می يابد).

اثر حجم نمونه پیش تغليظ شده در سرعت جريان ۴/۰ ميلی لیتر بر دقیقه نمونه بر روی حساسیت واکنش در دامنه حجمی ۶۰-۲/۰ ميلی لیتر (بازه زمانی ۱۵-۵/۰ دقیقه) بررسی شد. نتایج حاصل در جدول (۳-۹) و شکل (۳-۹) نشان می دهد که با افزایش حجم پیش تغليظ، ميزان انتقال جرم آنالیت از فاز مایع به فاز جامد افزایش یافته و مطابق با آن سیگنال تجزیه ای نیز افزایش می يابد. از اين رو به منظور کاهش زمان آنالیز و افزایش سرعت نمونه گيري حجم ۱۰ ميلی لیتر نمونه برای پیش تغليظ در مراحل بعد انتخاب گردید. در مواردی که نياز به حد تشخيص خيلي پايین باشد می توان از حجم های پیش تغليظ بالاتر استفاده کرد.

اثر طول ستون (مقدار ماده پر کننده) برای دو غلظت ۰/۰۵۰ و ۰/۰۱۰ ميلی گرم بر لیتر مورد بررسی قرار گرفت. همان طور که در جدول (۳-۱۰) و شکل (۱۰-۳) نشان داده شده است برای غلظت ۰/۰۰۵ ميلی گرم بر لیتر کادميوم تا طول ستون ۰/۰۵ سانتي متر سیگنال تجزیه ای افزایش می يابد و در طول ستونهای بيشتر سیگنال تقریباً ثابت می شود و برای غلظت ۰/۰۱۰ ميلی گرم بر لیتر، افزایش سیگنال تا طول ستون ۰/۰۹ سانتي متر وجود دارد و بعد از آن ثابت می شود. افزایش سیگنال را می توان به دليل افزایش عوامل کی ليت دهنده و ثابت شدن آن را به دليل افزایش ميزان پخش نمونه در طول های بيشتر توجيه کرد. لذا برای افزایش دامنه خطی منحنی كالibrاسيون و همچنین برای جلوگیری از پرشدن سريع ستون، ستون ۰/۰۹ سانتي متری به عنوان طول ستون بهينه انتخاب شد.

اثر قدرت یونی بر حساسیت در ناحیه غلظتی ۰/۰-۰/۲۰ مولار پتابسیم نیترات مورد بررسی قرار گرفت. نتایج حاصل از اين بررسی در جدول (۳-۱۱) و شکل (۳-۱۱) نشان می دهد که با افزایش قدرت یونی ميزان بازداری کادميوم توسط ليگاند مورد نظر کاهش می يابد.

۴-۳-۴- ارقام شایستگی روش

بررسی ها نشان داد در محدوده غلظتی $30/0 - 1/00$ میکرو گرم بر لیتر کادمیوم برای حجم پیش تغليظ $10/0$ میلی لیتر، بين غلظت کادمیوم و سیگنال تجزیه ای رابطه خطی وجود دارد. معادله مربوطه و ضریب همبستگی در بخش (۸-۳) آمده است.

مقادیر انحراف استاندارد نسبی برای ۷ اندازه گیری تکراری برای غلظت های $0/0050$ ، $0/0020$ ، $0/0010$ و $0/0020$ میلی گرم بر لیتر کادمیوم با حجم پیش تغليظ $10/0$ میلی لیتر به ترتیب $5/0\%$ ، $4/0\%$ ، $3/0\%$ و $2/0\%$ می باشد که نشان دهنده دقیقیت خوب روش است. مقادیر درصد بازیابی نشان داده شده در جدول (۱۳-۳) بيانگر صحیحیت روش است.

نتایج نشان داده شده در جدول (۱۴-۳) بيان می کند که بیشتر کاتیون ها و آنیونها در اندازه گیری کادمیوم مزاحم نیستند و روش نسبت به بیشتر روش های ارائه شده در بخش (۶-۱) از گزینش پذیری بالایی برخوردار است.

مقدار حد تشخیص برای حجم پیش تغليظ $10/0$ میلی لیتر، $25/0$ میکرو گرم بر لیتر به دست آمد. نتایج و محاسبات نشان می دهد که ستون حاوی 100 میلی گرم پلیمر عامل دار شده قادر به بازداری $17/5$ میکرو گرم کادمیوم بوده، بنابراین ظرفیت بازداری ستون 175 میکرو گرم کادمیوم به ازای هر گرم پلیمر به دست می آید. از طرفی ستون مورد نظر، کارایی حداقل 1000 اندازه گیری را دارد. فاکتور پیش تغليظ و درصد بازیابی روش تحت شرایط بهینه به ترتیب 50 و 95% به دست آمد.

فرکانس نمونه برداری برای حجم پیش تغليظ $10/0$ میلی لیتر (با زمان پیش تغليظ 150 ثانیه و زمان شویش 30 ثانیه) 20 نمونه در ساعت به دست آمده است. نتایج حاصل از اندازه گیری در نمونه های سنتزی تهیه شده از آب شهر و آب چشمه شاهروod در جدول های (۱۵-۳) و (۱۶-۳) آمده است. این نتایج نشان می دهد که روش پیشنهادی دقیق و صحیح خوبی در اندازه گیری کادمیوم در نمونه های حقیقی دارد.

۴-۴- مقایسه روش با سایر روشهای انجام شده

این روش کارایی سیستم پیش تغییظ بر- خط کوپل شده با اسپکترومتری جذب اتمی شعله با استفاده از یک ستون پر شده با پلی استیرن اصلاح شده با لیگاند N،N-بیس(نتیلیدین ایمینو) دی اتیلن تری امین که از طریق پیوندهای شیمیایی بر روی پلی استیرن ثبیت شده است را برای اندازه گیری کادمیوم در نمونه های مختلف آبی نشان می دهد. رزین سنتز شده جدید در تمامی بررسی های انجام شده پایداری شیمیایی خوبی را نشان می دهد و مشکلاتی نظریه متورم شدن جاذب و افزایش حجم آن که باعث ایجاد فشار زیادی در ستون می شود را ندارد به طوریکه می توان بدون تعویض ستون یا استفاده از جاذب جدید آزمایشات زیادی را انجام داد. کار انجام شده، یک روش موثر برای بهبود حساسیت جذب اتمی برای اندازه گیری کادمیوم است.

سیستم بکار گرفته شده بسیار ساده، سریع، دارای شرایط استفاده آسان، کاملاً خودکار و دارای حساسیت و انتخاب پذیری خوبی برای اندازه گیری کادمیوم است. در جدول (۱-۴) مقایسه بین روش پیشنهادی با تعدادی دیگر از روشهای موجود که در آنها از جاذب های اصلاح شده با لیگاندهای مختلف که از طریق پیوند شیمیایی بر روی جاذب ثبیت شده اند نشان داده شده است. ویژگیهای تجزیه ای مختلف، نظریه فاکتور پیش تغییظ، حد تشخیص، فرکانس نمونه برداری، ضریب مصرف و غلظت موثر برای مقایسه این روش ها بکار گرفته شده است.

جدول (۱-۴) - روش‌های پیش تغليظ بر- خط کادمیوم با استفاده از جاذب‌های اصلاح شده شیمیابی

جاذب	لیگاند	LOD ($\mu\text{g L}^{-1}$)	EF	CE (min^{-1})	CI (mil^{-1})	Sampling Rate (h^{-1})	ref
XAD-16	PAN	۰/۰۵۶	۲۰۰	-	-	-	[۲۷]
Chitosan	5-Sulphonic acid-8-hydroxy quiniline	۰/۲۰	۱۹/۱	۸/۳	۰/۳۹	۲۶	[۲۸]
Chitosan	8-hydroxy quiniline	۰/۱۰	۲۴/۲	۱۰/۵	۰/۴۵	۲۶	[۳۱]
SiO ₂	Nb ₂ O ₅	۰/۱۰	۳۳	۱۱	۰/۴۲	۴۰	[۳۲]
XAD-2	2-Amino-thio phenol	۰/۱۴	۷۴۰	۲۲/۲	۰/۲۴	۱۸	[۳۷]
Chromosob-106	PAN	۰/۱۹	۲۵۰	۷/۳	۰/۰۸	۱/۷	[۳۸]
XAD-4	2-Amino-thiophenol	۰/۳۰	۹۹	۲۹/۷	۰/۲۱	۱۸	[۴۶]
SiO ₂	2, 4, 6-trimolpholino-1,2,5-triazin	۰/۲۳	-	-	-	-	[۴۸]
Polystyrene	N-N-bis(Naphthilidin-imino) ethylene thriamine	۰/۲۵	۵۰	۱۶/۶	۰/۲	۲۰	کار موجود

با توجه به جدول (۱-۴) حد تشخیص به دست آمده توانایی این روش در اندازه گیری مقادیر

بسیار کم کادمیوم را نشان می دهد. به دلیل سینتیک جذب و واجذب سریع کادمیوم بر روی سطح جاذب سنتز شده روش، دارای فرکانس نمونه برداری خوبی است و با توجه به فاکتور پیش تغليظ به دست آمده، فاکتور غلظت موثر برای روش، قابل مقایسه با روش‌های کار شده قبلی و در بعضی موارد بهتر می باشد.

همانطور که مشاهده می شود ضریب مصرف این روش در مقایسه با بیشتر روش‌های ارائه شده پایین تر و در نتیجه بهتر است، و از آنجاییکه در روش‌های پیش تغليظ بر- خط با تزریق در جریان پیوسته حجم پیش تغليظ پارامتر بسیار مهمی است کمتر بودن این فاکتور کارایی بالای این روش را در پیش تغليظ مقادیر کم کادمیوم را نشان می دهد.

۴-۵- آینده نگری

با توجه به اینکه در برخی مواقع امکان دسترسی سریع به دستگاه جذب اتمی شعله و اندازه گیری دقیق وجود ندارد، همچنین به دلیل جذب سطحی شدید نمونه با مقادیر کم بر دیواره ظرف انتقال نمونه، در چنین مواردی می‌توان پمپ و ستون را به محل نمونه برداری انتقال و عمل پیش تغلیظ تحت شرایط بهینه را انجام داد. بررسی امکان انجام فرایند پیش تغلیظ میدانی با بکار گیری روش ارائه شده پیشنهاد می‌شود.

با توجه به خصوصیات فیزیکی و شیمیایی قابل قبول برای پلی استیرن به عنوان فاز جامد می‌توان با تثبیت عوامل کمپلکس دهنده دیگری بر روی آن کارایی این پلیمر را درسیستم بکار گرفته شده برای اندازه گیری مقادیر کم کادمیوم و تعدادی دیگر از یونهای فلزی بررسی کرد.

[1] – www.cadmium.org

[2] – www.ngdir.com

[3] - Long, X., Chomchoei, R., Ga'a, P., Hansen, E.H., (2004). "Evaluation of a novel PTFE material for use as a means for separation and preconcentration of trace levels of metal ions in sequential injection (SI) and sequential injection lab-on-valve (SI-LOV) systems. Determination of cadmium(II) with detection by electrothermal atomic absorption spectrometry (ETAAS)". *Anal.Chim. Acta* ,523, pp 279–286.

[4] - Xingguang, S., Meijia,W., Yihua, Z., Jiahua, J., Hanqi, Z., Qinhan, J., (2003). "Semi-online preconcentration of Cd, Mn and Pb on activated carbon for GFAAS." *Talanta*, 59, pp 989–997.

[5] - Fernández, F.M., Stripeikis, J.D., Tudino, M.B., Troccoli, O.E., (1997)."Fully automated on-line separation preconcentration system for electrothermal atomic absorption spectrometry: determination of cadmium and lead in sea-water". *Analyst* ,122, pp679–684.

[6] - Xu, Z.R., Pan, H.Y., Kun, S.K., Fang, Z.L., (2000). "A sequential injection on-line column preconcentration system for determination of cadmium by electrothermal atomic absorption spectrometry". *Spectrochim. Acta Part B* , 55, pp 213–219.

[7] - Su, P.G., Huang, S.D., (1998). "Use of 4-(2-pyridylazo)resorcinol or 2- (2-pyridylazo)--dimethylaminophenol as chelating agent for determination of cadmium in sweater by atomic absorption spectrometry with on-line flow-injection sorbent extraction.*Anal. Chim. Acta* , 376,pp 305–311.

[8] - Welz, B, Sperling, M, Sun, X, (1993) "Analysis of high-purity reagents using automatic on-line column preconcentrationseparation and electrothermal atomic absorption spectrometry" *J. Anal. Chem.* 346, pp 550–555.

[9] - Sung, Y.H., Huang, S.D., (2003). "On-line preconcentration system coupled to electrothermal atomic absorption spectrometry for the simultaneous determination of bismuth, cadmium and lead in urine ". *Anal. Chim. Acta* ,495,pp 165–176.

[10] - Cerutti, S., Silva, M.F., Ga'squez, J.A., Olsina, R.A., Martinez, L.D., (2003)." On-line preconcentration/determination of cadmium in drinking water on activated carbon using 8-hydroxyquinoline in a flow injection system coupled to an inductively coupled plasma optical emission spectrometer ". *Spectrochim. Acta Part B* ,58, pp. 43–50

[11] - Acevedo, H.A., Vazquez, F.A., Wuilloud, R.G., Olsina, R.A., Martinez, L.D., (2001). " On-line preconcentration using an Amberlite XAD-16 resin and determination of cadmium by flow-injection inductively coupled plasma atomic emission spectrometry " *Chem. Anal.* 46,pp 59–67.

- [12] - Zougagh, M., Garcia de Tores, A., Cano Pavo' n, J.M., (2002).: " Determination of cadmium in water by ICP-AES with on-line adsorption preconcentration using DPTH-gel and TS-gel microcolumns ". *Talanta* 56,pp 753–761.
- [13] - Menega' rio, A.A., Gine' , M.F., (2001). "Micro-scale flow system for online multielement preconcentration from saliva digests and determination by inductively coupled plasma optical emission spectrometry". *Spectrochim. Acta Part B* ,56,pp 1917–1925.
- [14] - Vassileva, E., Furuta, N., (2003). "Application of iminodiacetate chelating resin Muromac A-1 in on-line preconcentration and inductively coupled plasma optical emission spectroscopy determination of trace elements in natural waters." *Spectrochim.Acta Part B* ,58,pp 1541–1552.
- [15] - Lee, K.H., Oshima, M., Motomizu, S., (2002). " Inductively coupled plasma mass spectrometric determination of heavy metals in sea-water samples after pre-treatment with a chelating resin disk by an on-line flow injection method" . *Analyst* ,127,pp 769–774.
- [16] - Hirata, S., Kajiya, T., Takano, N., Aihara, M., Honda, K., Shikino, O., Nakayama, E., (2003). " Determination of trace metals in seawater by on-line column preconcentration inductively coupled plasma mass spectrometry using metal alkoxide glass immobilized 8-quinolinol" . *Anal. Chim. Acta* ,499, pp 157–165.
- [17] - Yin, J., Jiang, Z., Chang, G., Hu, B., (2005). "Simultaneous on-line preconcentration and determination of trace metals in environmental samples by flow injection combined with inductively coupled plasma mass spectrometry using a nanometer-sized alumina packed micro-column" . *Anal. Chim. Acta* ,540,pp 333–339.
- [18] - Hirata, S., Ishida, Y., Aihara, M., Honda, K., Shikino, O., (2001) ."Determination of trace metals in seawater by on-line column preconcentration inductively coupled plasma mass spectrometry" .*Anal. Chim. Acta* ,438,pp 205–214.
- [19] – Fang, Z., Gua, T . and Welz , B., (1991) *Talanta* , 38 , pp 637
- [20] – Akbar Ali, Xuefeng Yin, Hong Shen, Yingxue Ye, Xue Gu (1999) " 1,10-Phenanthroline as a complexing agent for on-line sorbent extraction/preconcentration for flow injection–flame atomic absorption spectrometry "*Analytica Chimica Acta* ,392³ ,pp 283-389
- [21] - Carlos G. bruhn, Carolina vilches and hernan J. CID (1999) " optimization of flame atomic absorbtion spectrometry with preconcentration by flow-injection on-line sorption extraction of cadmium and head in biologicsl material" *Bolet de la Sociedad Chilena de Qu ca* ,44 ,pp321-335
- [22] - Valfredo A. Lemos, Ricardo E. Santelli, Marcelo S. de Carvalho, Sérgio L. C. Ferreira (2000) " Application of polyurethane foam loaded with BTAC in an on-line preconcentration system: cadmium determination by FAAS "*Spectrochimica Acta Part B: Atomic Spectroscopy* ,55⁹ ,pp1497-1503

- [23] - Maria H. A. Melo, Sérgio L. C. Ferreira, Ricardo E. Santelli (2000) " Determination of cadmium by FAAS after on-line enrichment using a mini column packed with Amberlite XAD-2 loaded with TAM " *Microchemical Journal* ,65, pp 59-65
- [24] - Y. Petit De Peña, W. López, M. Burguera, J. L. Burguera, López-Carrasquero, M. Carrillo (2001) " Flow injection system for cadmium preconcentration on poly(octadecyl diitaconate) (PDI-18) and atomic absorption spectrometry detection " *Analytica Chimica Acta* ,438¹⁻² ,pp259-266
- [25] - M. C. Yebra, A. García, N. Carro, A. Moreno-Cid, L. Puig (2002) " Design of a field flow preconcentration system for cadmium determination in seawater by flow-injection-atomic absorption spectrometry " *Talanta* 56, pp 777-785
- [26] - Madson de Godoi Pereira1 and Marco Aurélio Zezzi Arruda (2003) "Preconcentration of Cd(II) and Pb(II) Using Humic Substances and Flow Systems Coupled to Flame Atomic Absorption Spectrometry " *Microchimica Acta* , 1453-4 ,pp 215-222
- [27] -Narin Ibrahim, Soylack Mustafa, Kayakirilmaz Kadriye, Elci Latif ;Dogan Mehmet (2003) " Preparation of a chelating resin by immobilizing 1-(2-pyridylazo) 2-naphtol on amberlite XAD-16 and its application of solid phase extraction of Ni(II), Cd(II), Co(II), Cu(II), Pb(II), and Cr(III) in natural water samples " *Analytical letters* ,36⁰³ ,pp641-658
- [28] - Amarildo Otavio Martins, Edson Luiz da Silva, Eduardo Carasek, Mauro C.M Laranjeira, Valfredo T de Fávere (2004) " Sulphoxine immobilized onto chitosan microspheres by spray drying: application for metal ions preconcentration by flow injection analysis " *Talanta* ,63² ,pp397-403
- [29] - César Ricardo Teixeira Tarley, Sérgio Luis Costa Ferreira, Marco Aurélio Zezzi Arruda (2004) " natural solid adsorbent of trace metals: characterisation and development of an on-line preconcentration system for cadmium and lead determination by FAAS " *Microchemical Journal* ,77² ,pp163-175
- [30] – pyerreza N.; zavar musavi H. (2004) " Determination of cadmium by flame atomic absorption spectrometry after preconcentration on naphthalene-methyltriocetylammmonium chloride adsorbent as tetraiodocadmate (II) ions " *Analytica chimica acta* ,503⁰² ,pp279-282
- [31] - Amarildo Otavio Martins, Edson Luiz da Silva, Eduardo Carasek, Norberto S. Gonçalves, Mauro C. M. Laranjeira, Valfredo T. de Fávere (2004) " Chelating resin from functionalization of chitosan with complexing agent 8-hydroxyquinoline: application for metal ions on line preconcentration system " *Analytica Chimica Acta* ,521² ,pp157-162
- [32] - Edson Luiz da Silva, Edgard Moreira Ganzarolli, Eduardo Carasek (2004) " Use of Nb₂O₅-SiO₂ in an automated on-line preconcentration system for determination of copper and cadmium by FAAS " *Talanta* ,63⁴ ,pp727-733
- [33] – Soylak Mustafa ; Narin Ibrahim (2005) " On-line preconcentration system for cadmium determination in environmental samples by flame atomic absorption spectrometry " *Chemia analytyczna* ,50⁰⁴ ,pp 705-715

- [34] – Tuzen Mustafa; Soylak Mustafa; ElciLatif· (2005) “ Multi-element pre-concentration of heavy metal ions by solid phase extraction on Chromosorb 108 “*Analytica chimica acta* ,548⁰¹ ,pp101-108
- [35] - Dos Santos Eder José, Herrmann Amanda Beatriz ,Schwingel Ribeiro Anderson ,Curtius Adilson José (2005) “Determination of Cd in biological samples by flame AAS following on-line preconcentration by complexation with O, O-diethyldithiophosphate and solid phase extraction with Amberlite XAD-4 “*Talanta* ,65⁰² ,pp593-597
- [36] - Di Nezio, M.S, Palomeque, M.E , Fernández Band, B.S .(2005) “Automated flow-injection method for cadmium determination with pre-concentration and reagent preparation on-line”*Quimica Nova* 28¹,pp 145-148
- [37] - Valfredo Azevedo Lemos, Patrícia Xavier Baliza (2005) “ Amberlite XAD-2 functionalized with 2-aminothiophenol as a new sorbent for on-line preconcentration of cadmium and copper “*Talanta* ,67³ ,pp564-570
- [38] - Tuzen Mustafa· Parlar Kurban· Soylak Mustafa ·(2005) “Enrichment/separation of cadmium(II) and lead(II) in environmental samples by solid phase extraction “*Journal of hazardous materials* ,121⁰¹ ,pp70-87
- [39] - Walter N.L. dos Santos, Jorge L.O. Costa, Rennan G.O. Araujo, Djane S. de Jesus, Antônio C.S. Costa (2006) “ An on-line pre-concentration system for determination of cadmium in drinking water using FAAS “*Journal of Hazardous Materials* ,137³⁻¹¹,pp1357-1361
- [40] - K. Prasad, P. Gopikrishna, R. Kala, T. Prasada Rao and G.R.K. Naidu (2006) “ Solid phase extraction vis-à-vis coprecipitation preconcentration of cadmium and lead from soils onto 5,7-dibromoquinoline-8-ol embedded benzophenone and determination by FAAS “*Talanta* ,69⁴ ,pp 938-945
- [41] - Gama Ednilton Moreira , da silva lima Adriana , lemos valfredo Azevedo (2006) “ Preconcentration system for cadmium and lead determination in environmental samples using polyurethane foam/Me-BTANC “*Journal of hazardous materials* ,136⁰³ ,pp757-762
- [42] - Zhao-Hui Wang, Zheng-Pu Zhang, Zhi-Peng Wang, Li-Wen Liu, Xiu-Ping Yan (2004) “ Acrylic acid grafted polytetrafluoroethylene fiber as new packing for flow injection on-line microcolumn preconcentration coupled with flame atomic absorption spectrometry for determination of lead and cadmium in environmental and biological samples “*Analytica Chimica Acta* ,514² ,pp151-157
- [43] - Erdal KendÜzler (2006) “ Determination of Cadmium(II) in Water and Soil Samples after Preconcentration with a New Solid Phase Extractor “*Analytical Chemistry* ,418 ,pp1645-1659
- [44] - Lima Borges, E.C . Paiva De Oliveira, A. De Moraes, M, Gomes Neto, J.A , (2006) “Use of sugar cane bagasse as solid phase extractor for cadmium determination by FAAS “27⁵ , pp 139-145

- [45] - Ali A. Ensafi, Ali R. Ghaderi (2007) “ On-line solid phase selective separation and preconcentration of Cd(II) by solid-phase extraction using carbon active modified with methyl thymol blue “*Journal of Hazardous Materials* ,148¹⁻³ ,pp319-325
- [46] - Valfredo Azevedo Lemos, Cleber Galvão Novaes, Adriana da Silva Lima, Daniel Rodrigues Vieira (2007) “ Flow injection preconcentration system using a new functionalized resin for determination of cadmium and nickel in tobacco samples “*Journal of Hazardous Materials* ,155¹⁻² ,pp128-134
- [47] - Érica Silva Souza, Amarildo Otavio Martins, Humberto Vieira Fajardo, Luiz Fernando Dias Probst, Eduardo Carasek (2008) “ Use of Al₂O₃ in an automated on-line pre-concentration system for determination of cadmium(II) by FAAS “*Journal of Hazardous Materials* ,150²⁻³¹ ,pp328-334
- [48] - Tayyebeh Madrakian, Mohammad Ali Zolfigol, Mohammad Solgi (2008) “ Solid-phase extraction method for preconcentration of trace amounts of some metal ions in environmental samples using silica gel modified by 2,4,6-trimorpholino-1,3,5-triazin “*Journal of Hazardous Materials* ,160²⁻³ ,pp 468-473
- [49] - Anthemidis, A.N. Karapatouchas, C.-P.P (2008) . “Flow injection on-line hydrophobic sorbent extraction for flame atomic absorption spectrometric determination of cadmium in water samples “*Microchimica acta* , 160⁴ ,pp 455-460
- [50] – Valerie Camel (2003) “ Solid phase extraction of trace elements “ *Spectrochimica Acta Part B* ,58 , pp 1177 – 1233
- [51] - I. Liska, (2000) “ Fifty years of solid-phase extraction in water analysis-historical development and overview”, *J. Chromatogr.A* 885 ,pp 3 - 16
- [52] - M. Chikuma, M. Nakayama, T. Itoh, H. Tanaka, K. Itoh (1980) ” Chelate-forming resins prepared by modification of anion-exchange resins” , *Talanta* ,27 ,pp 807 - 810.
- [53] - H. Akaiwa, H. Kawamoto, K. Ogura(1981), “ Kinetic studies of ion-exchange of cobalt(II) and nickel(II) on a resin loaded with 5-sulfo-8-quinolinol” , *Talanta* , 28 pp 337 - 339
- [54] - K.S. Lee, W. Lee, D.W. Lee(1978), “ Selective separation of metal ions by a chelating agent-loaded anion exchanger” , *Anal. Chem*, 50,pp 255 - 258
- [55] - K. Kilian, K. Pyrzynska (2001), “ Preconcentration of metal ions on porphyrin-modified sorbents as pretreatment step in AAS determination” , *Fresenius J. Anal. Chem.* 371,pp 1076.
- [56] - M. Pesavento, R. Biesuz, M. Gallorini, A. Profumo(1993), “ Sorption mechanism of trace amounts of divalent metal ions on a chelating resin containing iminodiacetate groups” , *Anal. Chem*, 65,pp 2522 - 2527

- [57] - M. Pesavento, R. Biesuz, J.L. Cortina (1994), "Sorption of metal ions on a weak acid cation-exchange resin containing carboxylic groups", *Anal. Chim. Acta*, 298 pp 225 - 232
- [58] - C.F. Poole(2000), "Solid-phase extraction", *Encyclopedia of Separation Science*, 3 , Academic Press, pp. 1405.
- [59] - E.M. Thurman, K. Snavely (2000), "Advances in solid-phase extraction disks for environmental chemistry", *Trends Anal. Chem*, 19,pp 18–26
- [60] - C.F. Poole(2000), "Solid-phase extraction with disks", *Encyclopedia of Separation Science*, 9, Academic Press, pp 4141.
- [61] - G.A. Junk, M.J. Avery, J.J. Richard (1988), "Interferences in solid-phase extraction using C-18 bonded porous silica cartridges", *Anal. Chem*, 60,pp 1347-1350
- [62] - O. Evans, B.J. Jacobs, A.L. Cohen (1991), "Liquid–solid extraction of tributyltin from marine sediments", *Analyst*, 116,pp 15
- [63] - D.F. Hagen, C.G. Markell, G.A. Schmitt, D.D. Blevins (1990), "Membrane approach to solid-phase extractions", *Anal. Chim. Acta*, 236 ,pp 157-164
- [64] - R.E. Majors (1989), "Sample preparation for HPLC and gas chromatography using solid-phase extraction", *LG-GC* ,4 ,pp 972.
- [65] - R.E. Sturgeon, S.S. Berman, A. Desaulniers, D.S. Russell (1980), "Pre-concentration of trace metals from sea-water for determination by graphite-fumace atomic-absorption spectrometry", *Talanta* ,27 ,pp 85-94
- [66] - D.M. Sanchez, R. Martin, R. Morante, J. Marin, M.L.Munuera, (2000)"Preconcentration speciation method for mercury compounds in water samples using solid phase extraction followed by reversed phase high performance liquid chromatography" , *Talanta* ,52 ,pp 671-679
- [67] - M.C. Yebra, N. Carro, M.F. Enriquez, A. Moreno-Cid, A. Garcia (2001), "Field sample pre-concentration of copper in sea water using chelating minicolumns subsequently incorporated on a flow-injection-flame atomic absorption spectrometry system" , *Analyst* ,126 ,pp 933-937
- [68] - E. Castillo, J.-L. Cortina, J.-L. Beltran, M.-D. Prat, M.Granados(2001), "Simultaneous determination of Cd(II), Cu(II) and Pb(II) in surface waters by solid phase extraction and flow injection analysis with spectrophotometric detection" , *Analyst* ,126 ,pp 1149-1153
- [69] - M. Shamsipur, A.R. Ghiasvand, H. Sharghi, H. Naeimi(2000), "Solid phase extraction of ultra trace copper(II) using octadecyl silica membrane disks modified by a naphthol-derivative Schiff's base", *Anal. Chim. Acta* ,408 ,pp 271-277

- [70] - E. Gonzalez-Toledo, M. Benzi, R. Compano, M. Granados,M.D (2001). “ Prat, Speciation of organotin compounds in shellfish by liquid chromatography–fluorimetric detection”, *Anal. Chim. Acta* ,443 ,pp 183-190
- [71] - O. Keil, J. Dahmen, D.A. Volmer (1999), “ Automated matrix separation and preconcentration for the trace level determination of metal impurities in ultrapure inorganic salts by high-resolution ICP–MS” ,*Fresenius J. Anal. Chem.*,364 ,pp 694.
- [72] - S. Olsen, L.C.R. Pessenda, J. Ruzicka, E.H. Hansen (1983), “ Combination of flow injection analysis with flame atomic absorption spectrophotometry: determination of trace amounts of heavy metals in polluted seawater “ ,*Analyst*,108 ,pp 905.
- [73] - Z. Fang, J. Ruzicka, E.H. Hansen (1984), “ An efficient flowinjection system with on-line ion-exchange preconcentration for the determination of trace amounts of heavymetals by atomic absorption spectrometry” ,*Anal. Chim.Acta* ,164 ,pp 23-39
- [74] - Z. Fang, Z. Zhu, S. Zhang, S. Xu, L. Guo, L. Sun (1988), “ Online separation and preconcentration in flow injection analysis” ,*Anal. Chim. Acta* ,214 ,pp 41-55

[۷۵]- محمد رضا الماسیان (۱۳۷۴) "اندازه گیری تلویریم به روش تزریق در جریان پیوسته " دانشگاه تربیت مدرس، ص ۱-۳۵

- [76] – Ruzika j.and Hansen . E.H . (1975) , “Flow injection analyses : Part I. A new concept of fast continuous flow analysis “ *Anal .chim . Acta* ,78, pp 145 -157
- [77] – Karlberg B., pacey G.E, (1989) “ Flow injection analysis, A partieal guide “ Elsevier science publishers B.V., pp13-90
- [78] – Kellender, R., Mermet, j. –M., Otto, M., Varcalcel, M. and Widmer, H.M., (2004) “ Analytical chemistry “ , WILEY-VCH,
- [79] – Ruzika, j. and Hansen, E. H., (1987) “Flow injection Analysis “ , pp 62

[۸۰]- نوروز اصل، رء. (۱۳۷۲) " مطالعه فلزات سنگین در تالاب انزلی به روش اسپکتروسکوپی جذب اتمی و کروماتو گرافی "، دانشگاه تربیت مدرس، دانشکده علوم پایه، پایان نامه کارشناسی ارشد

[۸۱]- داگلاس ای. اسکوگ، جیمز جی لری، (۱۳۸۰)،" اصول تجزیه دستگاهی "، جلد اول، ترجمه ژیلا آزاد، کارگشا، چاپ اول، مرکز نشر دانشگاهی تهران، ص ۱۵۸-۱۷۰

[۸۲]- رابینسون، ج. د.، (۱۳۷۱) " اسپکتروسکوپی جذب اتمی" ، پوررضا، ن، چاپ اول، دانشگاه شهید چمران اهواز، ص ۹-۱۰

[۸۳] - W.M. Coleman, R.K. Boggess, J.W. Hughes, L.T. Taylor,(1981) " Electrochemical studies of manganese(II) complexes containing pentadentate ligands with O₂N₃, O₃N₂, and O₂SN₂ donor sets", *Inorg. Chem.* 20, pp 700-706

[۸۴] - T. Benabdallah, A.H. Al-taiar and H. Reffas, (2004) " Spectrophotometric studies of the behaviour of multidentate schiff base ligands with copper(II) in methanol solution" *S. Afr. J. Chem.* , 57 ,pp 33-36

[۸۵] - kaisor, (1987), Analytical chemistry, 42, pp100

[۸۶] - Pinto, C. G., Pavon, j. L. P., Cardero, B. M., Beato, E. R. and Sanches, S. S., j. (1996) *Anal. At. Spect.*, 11, pp 37

[۸۷] – Krystyna Pyrzynska, Krzysztof Kilian, (2007) "On line sorption- based systems for derermination of cadmium with atomic spectrometry detectors" *Water research*, 41, pp 2839-2851

[۸۸]- کلوانی نیتلی، س، (۱۳۸۶)، "اندازه گیری همزمان مس (II) و نیکل (II) به روش اسپکترومتری با استفاده از کالیبراسیون چند متغیره PLS و اندازه گیری مقادیر کم مس (II) به روش اسپکترومتری جذب اتمی، دانشکده علوم پایه، دانشگاه صنعتی شاهروд

[۸۹] - شریف رضویان، ل، (۱۳۸۶)، " اندازه گیری مقادیر کم اگزالات به روش اسپکتروفتومتری و اندازه گیری و اندازه گیری مقادیر بسیار کم کبالغ به روش جذب اتمی" ، دانشکده علوم پایه، دانشگاه صنعتی شاهرود

On-line preconcentration and determination of ultra trace amount of cadmium by atomic absorbtion method

Abstract

A simple and sensitive flow injection-flam atomic absorption spectrometric(FI-FAAS) procedure was developed for the on-line preconcentration and determinatiom of trace leveles of cadmium(II). A mini-column packed whit a chloromethylated polystyrene functionalized whit N,N-bis(naphthylideneimino)diethylenetriamine (PS-NAPdein) was used for the on-line ennichment of cadminum(II) from samples at pH=7.0. The cadmium was eluted from the mini-colmn using of 1.0M nitric acid. chemical and flow injection variables were optimized for the quantitative preconcentrationand determination of cadmium(II). Under the optiomum conditions, calibration gragh was linear over the optimum concentration rang of $1.00\text{-}30.0 \mu\text{gL}^{-1}$ for the preconcentration volume of 10.0 ml sample sulution.The detection limit (DL) value for the preconcen tration of 10.0 ml of sample solution were $0.25 \mu\text{gL}^{-1}$. An enrichment factor of 50-fold for a sample volume of 10.0 ml was obtained.The relative standard deviation for 7 replicate determination of cadmium (II) at the 2.00, 5.00, 10.0 and $20.0 \mu\text{gL}^{-1}$ level were 5.0%, 4.0%, 3.0% and 2.0%, respectirely. The effect of the presence of various species commonly associated whit real samples was also investigated.The accuraey of the proposed method was demonstrated by analyzing different water samples.

Keywords:Atomic absorbtion spectrometry; on-line preconcentration; polystyrene; cadmium(II)



Shahrood University of Technology

Faculty of Chemistry

On-line preconcentration and determination of ultra trace amount of cadmium by atomic absorbtion method

Somayeh talebzadeh farugi

Supervisor:

Dr.Mansur arab chamjangali

Fubruary 2009